



appunti
www.centroappunti.it

Corso Luigi Einaudi, 55/B - Torino

Appunti universitari

Tesi di laurea

Cartoleria e cancelleria

Stampa file e fotocopie

Print on demand

Rilegature

NUMERO: 2132A-

ANNO: 2017

A P P U N T I

STUDENTE: Uffreduzzi Francesco

MATERIA: Meccanica del Volo - Prof. Gili

Il presente lavoro nasce dall'impegno dell'autore ed è distribuito in accordo con il Centro Appunti.

Tutti i diritti sono riservati. È vietata qualsiasi riproduzione, copia totale o parziale, dei contenuti inseriti nel presente volume, ivi inclusa la memorizzazione, rielaborazione, diffusione o distribuzione dei contenuti stessi mediante qualunque supporto magnetico o cartaceo, piattaforma tecnologica o rete telematica, senza previa autorizzazione scritta dell'autore.

ATTENZIONE: QUESTI APPUNTI SONO FATTI DA STUDENTI E NON SONO STATI VISIONATI DAL DOCENTE.
IL NOME DEL PROFESSORE, SERVE SOLO PER IDENTIFICARE IL CORSO.

MECCANICA DEL VOLO

Riepilogo: STABILITÀ STATICHE LONGITUDINALE

$$\left. \begin{array}{l} \Delta\alpha (+) \rightarrow M (-) \rightarrow \Delta\alpha \rightarrow 0 \\ \Delta\alpha (-) \rightarrow M (+) \rightarrow \Delta\alpha \rightarrow 0 \end{array} \right\} \begin{array}{l} \text{vi presenta di un disturbo sul} \\ \text{velivolo deve sostenersi un momento} \\ \text{di segno opposto tale da annullare il} \\ \Delta\alpha. \end{array}$$

Esprimiamo la stabilità statica con la relazione:

$$C_{M\alpha} = \frac{\partial C_M}{\partial \alpha} < 0$$

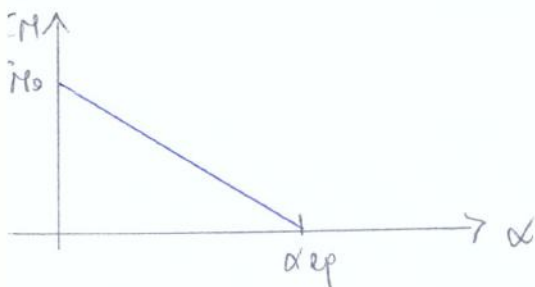
Ipotesi:

- 1) Il velivolo presenta un piano di simmetria (x-z)
- 2) Condizione iniziale con $V = \text{cost}$
- 3) Il vettore \vec{V} è contenuto nel piano X-Z \rightarrow MOTORE LONGITUDINALE
- 4) Angolo traiettoria iniziale $\approx 0 \rightarrow \beta \approx 0^\circ$ $\beta \stackrel{+}{=} \text{ANGOLI DI DERAPATA} = 0^\circ$
(sideslip angle)
- 5) Struttura rigida

Se consideriamo moto rettilineo uniforme orizzontale o sub-orizzontale, le equazioni considerate saranno:

$$L = W, \quad T = D, \quad M = \frac{1}{2} \rho V^2 S c C_M = 0 \rightarrow C_M = 0$$

Trascurando i termini non lineari (WING DRAG TERM), si dimostra che l'andamento di $C_H = f(\alpha) \approx$ retta:



$$\left\{ \begin{array}{l} C_H = f(\alpha) \approx \text{RETTA} \\ C_{M\alpha} < 0 \\ C_{H_0} > 0 \end{array} \right.$$

VELIVOLI COMPLETO

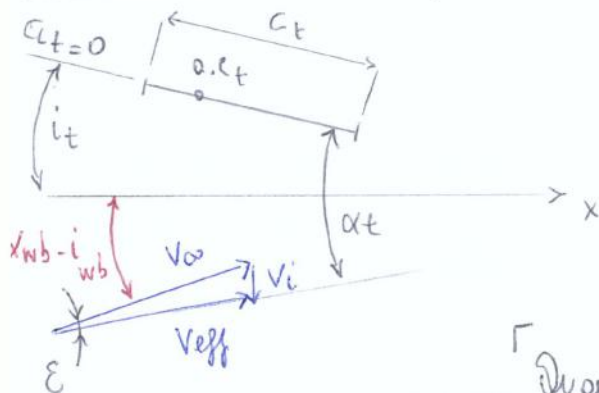
$$C_{M_G} = C_{M_{wb}} + C_{iwb} \frac{X_G - X_a}{c} - C_{L_t} \bar{V} + \frac{S_t}{S} C_{L_t} \frac{X_G - X_a}{c} + C_{H_p} = \\ = C_{M_{wb}} + \underbrace{\left(C_{iwb} + \frac{S_t}{S} C_{L_t} \right)}_{C_r} \frac{X_G - X_a}{c} - C_{L_t} \bar{V} + C_{H_p}$$

Ricordiamoci che: C_r

$$L = L_{wb} + L_t \rightarrow C_L = C_{L_{wb}} + \frac{S_t}{S} C_{L_t}$$

$$\Rightarrow C_{M_G} = C_{M_{wb}} + C_L \frac{X_G - X_a}{c} - C_{L_t} \bar{V} + C_{H_p}$$

Analizziamo il tail più nel dettaglio:



$$x_t = \alpha_{wb} - i_{wb} - \frac{\partial \epsilon}{\partial \alpha_{wb}} \alpha_{wb} + i_t$$

ma:

$$\frac{\partial \epsilon}{\partial \alpha_{wb}} = \frac{\partial \epsilon}{\partial \alpha} \frac{\partial \alpha}{\partial \alpha_{wb}} \approx \frac{\partial \epsilon}{\partial \alpha} \simeq l$$

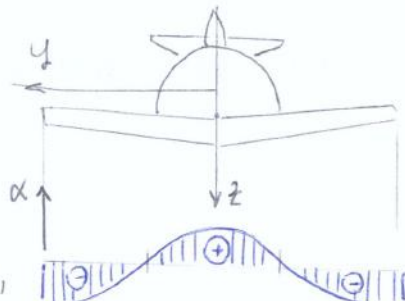
$$\alpha_t = \alpha_{wb} - i_{wb} + i_t - \epsilon$$

$$\epsilon = \epsilon_0 + \frac{\partial \epsilon}{\partial \alpha_{wb}} \alpha_{wb}$$

↳ down-wash angle per $\alpha_{wb} = 0^\circ$

Quando $\alpha_{wb} = 0^\circ$

↳ PORTANTZA COMPLESSIVA NULLA, ma per lo svolgimento dell'ala le posizioni più vicine alla fusoliera è portante, mentre l'estremità è deportante.



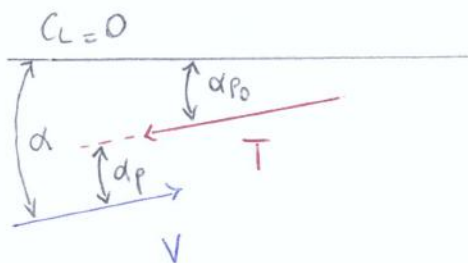
Il tail si trova dietro la posizione di ala portante, che localmente avrà un $\alpha > 0 \rightarrow$ DOWN-WASH FACTOR.

$$\Rightarrow \alpha_t = \alpha_{wb} \left(1 - \frac{\partial \epsilon}{\partial \alpha} \right) - \underbrace{(i_{wb} + \epsilon_0 - i_t)}_i$$

down wash factor colettamento aerodinamico
0.6 ÷ 0.75 ala - coda

$$\Rightarrow \alpha_t = \alpha_{wb} \left(1 - \frac{\partial \epsilon}{\partial \alpha} \right) - i$$

CONTRIBUTO DEL PROPULSORE AL MONTENIO DI BECCHEGGIO



$$\frac{\partial C_{MP}}{\partial \alpha} = \frac{\partial C_{MP}}{\partial \alpha_p} \cdot \frac{\partial \alpha_p}{\partial \alpha}$$

N.F.

$$\Rightarrow \frac{\partial C_{MP}}{\partial \alpha_p} \alpha_p = \frac{\partial C_{MP}}{\partial \alpha} (\alpha - \alpha_{p_0}) = \frac{\partial C_{MP}}{\partial \alpha} \alpha - \underbrace{\frac{\partial C_{MP}}{\partial \alpha} \alpha_{p_0}}$$

cost → C_{MP_0}

Trovando alla relazione del velivolo completo:

$$\begin{aligned} C_{MG} &= C_{M_{0wb}} + C_L \frac{x_G - x_a'}{c} - C_L t \bar{V} + C_{MP} = \\ &= C_{M_{0wb}} + \alpha \frac{x_G - x_a'}{c} - \alpha t \left[\alpha_{wb} \left(1 - \frac{\partial \epsilon}{\partial \alpha} \right) - i \right] \bar{V} + C_{MP} = \\ &= C_{M_{0wb}} + \alpha \frac{x_G - x_a'}{c} - \alpha t \bar{V} \left[\left(\alpha + \frac{\alpha t}{\alpha} \frac{S_t}{S} i \right) \left(1 - \frac{\partial \epsilon}{\partial \alpha} \right) - i \right] + C_{MP} = \\ &= C_{M_{0wb}} + \left[\alpha \frac{x_G - x_a'}{c} - \alpha t \bar{V} \left(1 - \frac{\partial \epsilon}{\partial \alpha} \right) \right] \alpha - \alpha t \bar{V} \frac{\alpha t}{\alpha} \frac{S_t}{S} i \left(1 - \frac{\partial \epsilon}{\partial \alpha} \right) + \alpha t \bar{V} i + C_{MP_0} + \frac{\partial C_{MP}}{\partial \alpha} \alpha \end{aligned}$$

$$\Rightarrow C_{MG} = C_{M_0} + C_{M_\alpha} \alpha$$

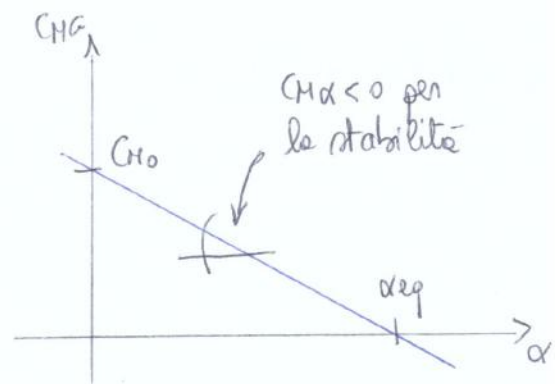
dove:

$$\begin{aligned} C_{M_0} &= C_{M_{0wb}} + \alpha t \bar{V} i \left[1 - \frac{\alpha t}{\alpha} \frac{S_t}{S} \left(1 - \frac{\partial \epsilon}{\partial \alpha} \right) \right] + C_{MP_0} = \\ &\quad \hookrightarrow \alpha_{wb}(1+F) \\ &= \boxed{C_{M_{0wb}} + \alpha t \bar{V} \frac{i}{1+F} + C_{MP_0}} \Rightarrow (C_{MG})_{\alpha=0} \end{aligned}$$

$$C_{M_\alpha} = \alpha \left[\frac{x_G - x_a'}{c} - \frac{\alpha t \bar{V} \left(1 - \frac{\partial \epsilon}{\partial \alpha} \right)}{\alpha} + \frac{1}{\alpha} \frac{\partial C_{MP}}{\partial \alpha} \right]$$

$C_{M_\alpha} = 0 \rightarrow C.G \equiv$ FUOCO DEL VELIVOLO
(aircraft aerodynamic center)

$$\left(\frac{x_G}{c} \right)_{C_{M_\alpha}=0} = \frac{x_N}{c} = \frac{x_a'}{c} + \frac{\alpha t \bar{V} \left(1 - \frac{\partial \epsilon}{\partial \alpha} \right)}{\alpha} - \frac{1}{\alpha} \frac{\partial C_{MP}}{\partial \alpha}$$



(3) VARIAZIONE DI C_{L0} → METODO CLASSICO PER DEFINIRE deg

Significa variare T , che ha bisogno rispetto a C.G.

$L_T \left\{ \begin{array}{l} \text{VARIAZIONE MANETTA (solo in emergenza)} \\ \text{VARIAZIONE DIREZIONE DELLA SPINTA (tecnica usata nei VTOL e STOL)} \end{array} \right.$

↳ utilizzati motori classici

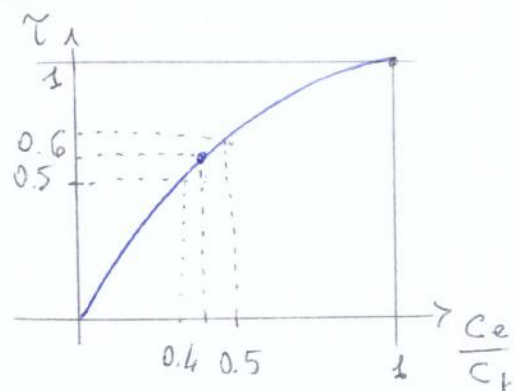
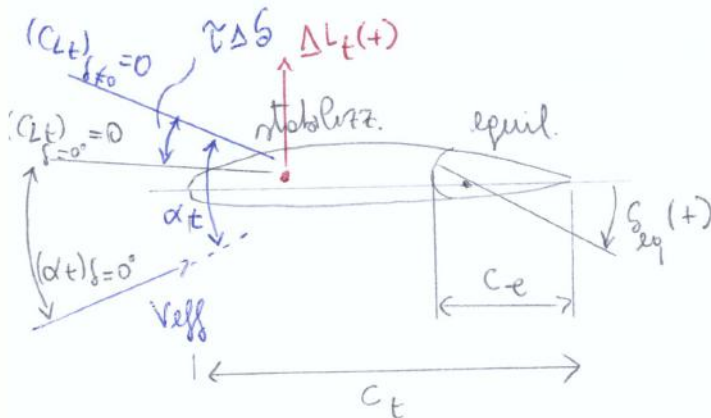
Vertical and short take off and landing

(4) VARIAZIONE DI X_G

Si sposta la posizione del baricentro a bordo

$L_T \left\{ \begin{array}{l} \text{DELTA PLANO} \\ \text{CONCORDE (nel passaggio da subsonico a supersonico)} \end{array} \right.$

Analizziamo più nel dettaglio il modo 2:



$$\gamma = \frac{\partial \alpha_t}{\partial S} \quad \left\{ \begin{array}{l} \alpha_t = \alpha_w b \left(1 - \frac{\partial \epsilon}{\partial \alpha} \right) - i \text{ no equilibrio} \\ \alpha_t = \alpha_w b \left(1 - \frac{\partial \epsilon}{\partial \alpha} \right) - i + \gamma S \text{ con equilibrio} \end{array} \right.$$

$$\Delta \alpha_t = \gamma \Delta S = \frac{\partial \alpha_t}{\partial S} \Delta S \rightarrow \left\{ \begin{array}{l} \alpha_t = \alpha_w b \left(1 - \frac{\partial \epsilon}{\partial \alpha} \right) - i + \gamma S \text{ con equilibrio} \end{array} \right.$$

$$C_{L_t} = \alpha_t \alpha_t = \alpha_t \left[\alpha_w b \left(1 - \frac{\partial \epsilon}{\partial \alpha} \right) - i + \gamma S \right]$$

$$C_L = (C_L)_{S=0^\circ} + \frac{\partial C_L}{\partial S} S = C_{L\alpha} \alpha + C_{L\beta} \beta$$

$$C_{M_G} = (C_{M_G})_{S=0^\circ} + \frac{\partial C_{M_G}}{\partial S} S = (C_{M_G})_{S=0^\circ} + C_{M\alpha} \alpha + C_{M\beta} \beta \quad \left\{ \begin{array}{l} < 0 \end{array} \right.$$

→ ELEVATOR POWER: quanto la code è in grado di variare il C_{M_G}

$$C_{Mg} = C_{M_{wb}} + C_L \frac{x_G - x_a'}{c} - C_{L_t} \bar{V} + C_{Mp}$$

$$\rightarrow \frac{\partial C_{Mg}}{\partial S} = C_{Ms} = \frac{\partial C_{M_{wb}}}{\partial S} + \frac{\partial C_L}{\partial S} \frac{x_G - x_a'}{c} - \frac{\partial C_{L_t}}{\partial S} \bar{V} + \cancel{\frac{\partial C_{Mp}}{\partial S}} \approx 0$$

VELIVOLO CONVENZIONALE

$$C_{Ms} = \frac{S_t \alpha_t \tilde{v}}{S} \frac{x_G - x_a'}{c} - \alpha_t \tilde{v} \bar{V}$$

VELIVOLO TUTT'ALA

$$C_{Ms} = \frac{\partial C_{M_{wb}}}{\partial S} + \frac{\partial C_{L_{wb}}}{\partial S} \frac{x_G - x_a'}{c}$$

$\hookrightarrow S = \delta_{elevator}$

Ricaviamo i valori di $\Delta = C_{L\alpha} C_{Ms} - C_{N\alpha} C_{LS}$

VELIVOLO CONVENZIONALE

$$\Delta = C_{L\alpha} \left(\frac{S_t \alpha_t \tilde{v}}{S} \frac{x_G - x_a'}{c} - \alpha_t \tilde{v} \bar{V} \right) - C_{L\alpha} \frac{x_G - x_N}{c} \frac{S_t \alpha_t \tilde{v}}{S} =$$

$$= - C_{L\alpha} \alpha_t \tilde{v} \bar{V} + C_{L\alpha} C_S \frac{x_N - x_a'}{c} \rightarrow$$

$$\Delta = - C_{L\alpha} \alpha_t \tilde{v} \bar{V} + C_{L\alpha} C_S \frac{x_N - x_a'}{c}$$

$$\Rightarrow \Delta < 0, \Delta \neq f(x_G)$$

$$(1) \gg (2)$$

VELIVOLO TUTT'ALA

$$x_a' \equiv x_N$$

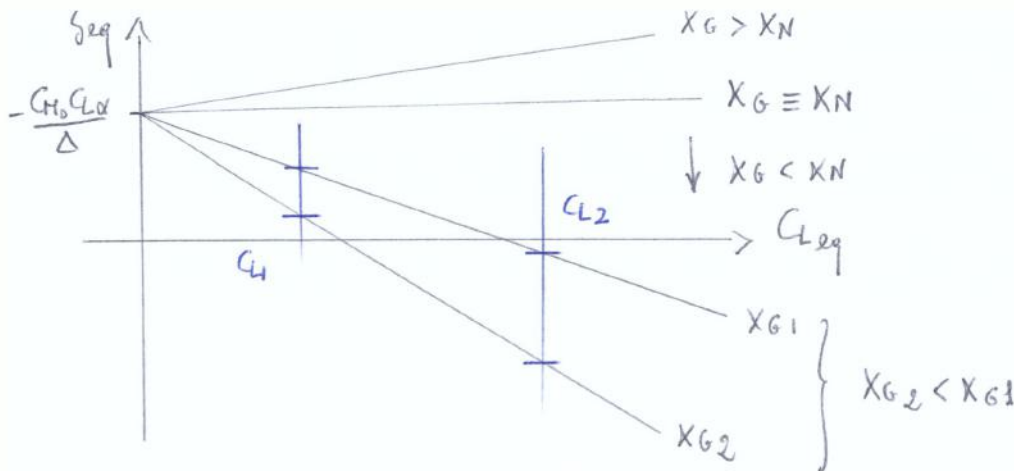
$$\Delta = C_{L\alpha} \left(\frac{\partial C_{M_{wb}}}{\partial S} + \frac{\partial C_{L_{wb}}}{\partial S} \frac{x_G - x_a'}{c} \right) - C_{L\alpha} \frac{x_G - x_N}{c} C_{LS} = C_{L\alpha} \frac{\partial C_{M_{wb}}}{\partial S}$$

$$\rightarrow \Delta = C_{L\alpha} \frac{\partial C_{M_{wb}}}{\partial S} \Rightarrow \Delta < 0 \text{ perché } \frac{\partial C_{M_{wb}}}{\partial S} < 0 \text{ e } \Delta \neq f(x_G)$$

\hookrightarrow rotazione $\delta_e (+)$

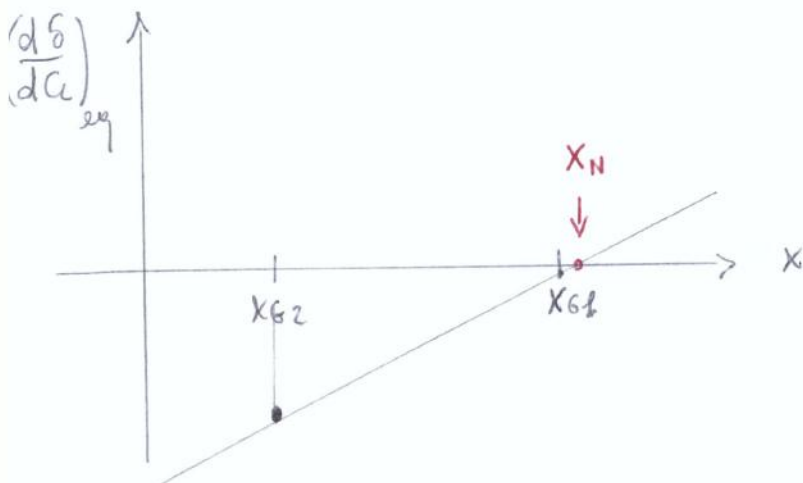
\Rightarrow aumento incremento

$\Rightarrow C_{M_{wb}}$ incremento negativamente.



Sperimentalmente, mediante un potenziometro collegato all'asse di rotazione dell'equilibratore, si misura il S_{eq} a due differenti C_L , per due diverse posizioni del balaustro.

Avere a disposizione due punti, si ricava la pendenza $\left(\frac{dS}{dC_L}\right)_{eq}$ delle rette che li congiunge.



Ricaviamo la relazione $S_{eq} = f(V_{eq})$:

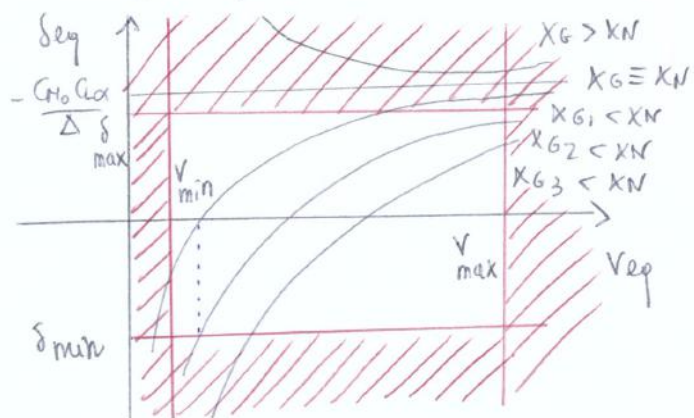
$$W = L \rightarrow W = \frac{1}{2} \rho_0 V_e^2 C_{eq} S \Rightarrow C_{eq} = \frac{W/S}{\frac{1}{2} \rho_0 V_{eq}^2}$$

$$\Rightarrow S_{eq} = -\frac{C_{M0} C_{L0}}{\Delta} - \frac{C_{M0}}{\Delta} \left(\frac{W/S}{\frac{1}{2} \rho_0 V_{eq}^2} \right)$$

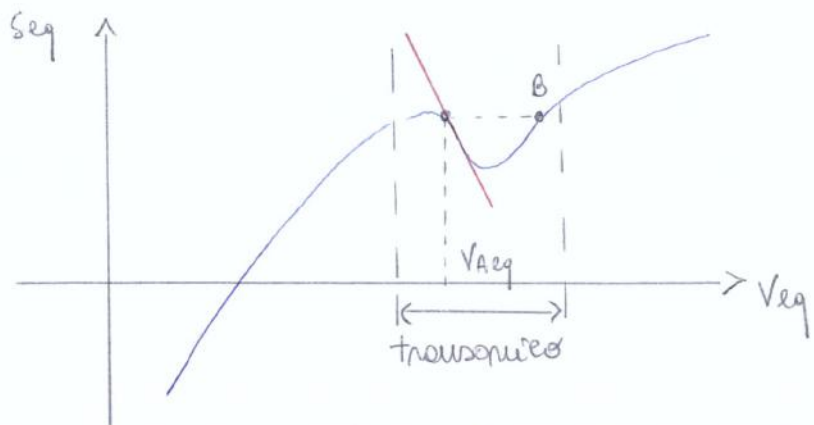
In questo caso:

- per $X = X_{G2} \rightarrow$ mom è raggiunto l'ep. alla velocità min
- per $X = X_{G1} \rightarrow$ mom è raggiunto l'ep. alla velocità max

Estrapoland le rette passante per i due punti del grafico, si determina X_N , che è tale per cui $\left(\frac{dS}{dC_L}\right)_{eq} = 0$



PERDITA DEL REQUISITO DELLA SPEED STABILITY IN REGIME TRANSONICO



In regime transonico la curva $C_d = f(V_{eq})$ può variare drasticamente la sua pendenza.

In questo caso, per disturbo alla V_A con punto di incremento delle velocità fino al punto B, nel quale la curva $C_d = f(V_{eq})$ torna ad avere una concavità verso il basso e si ha di nuovo una condizione di speed stability molto sforte.

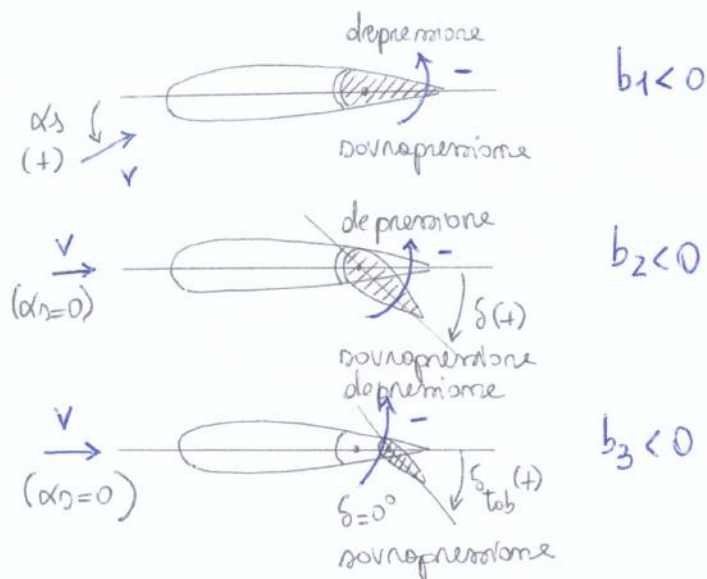
RIASSUMENDO: Condizioni equivalenti di stabilità statica longitudinale

- $C_M \alpha < 0$
- $\frac{dS}{dC_{L_{eq}}} < 0$
- $\frac{dC_d}{dV_{eq}} > 0$

$b_0 = 0$ se profilo simmetrico

L'intervallo di variazione di α_s , s , s_{tab} deve essere limitato. Questo perché vogliamo esprimere C_H attraverso dei termini b_1, b_2, b_3 che sono costanti.

$$\Rightarrow \begin{cases} b_1 = \frac{\partial C_H}{\partial \alpha_s} = \text{cost} \\ b_2 = \frac{\partial C_H}{\partial s} = \text{cost} \\ b_3 = \frac{\partial C_H}{\partial s_{\text{tab}}} = \text{cost} \end{cases}$$



osservando le figure, che mostrano i contributi dei ruigoli addendi al C_H , si osserva che $b_1, b_2, b_3 < 0$ in quanto le distribuzioni di pressione ottenute sulla superficie mobile generano un momento aerodinamico negativo.

I valori b_1, b_2, b_3 vengono forniti dall'aerodinamica

PARAMETRI CHE INFLUENZANO b_1, b_2, b_3

1) Tipo di profilo

2) $\frac{C_e}{C_t}$

3) C_b/C_e

4) forma del becco dell'equilibrio

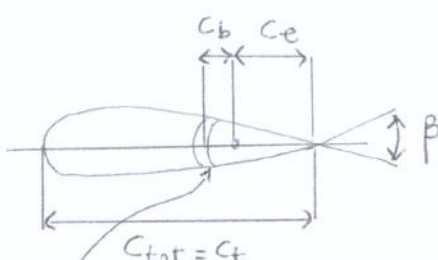
5) fermezza tra stabilizzazione ed equilibrio

6) Angolo β

7) Fermezza del bordo d'uscita $\{ \geq * 0.5 \div 1 \text{ mm}$

8) Re? dipendenza $\{ \Delta$

9) M } dell'inviluppo di volo



{ se esiste
entità
forma



COMANDI LIBERI

Consideriamo una trasmissione di comandi priva di attrito e immaginiamo che nella condizione di volo rettilineo uniforme orizzontale considerate ci sia un certo S dell'equilibratore ad assicurare l'equilibrio se quelle determinate velocità.

Se $C_H \neq 0 \Rightarrow$ ci dovrà essere qualcosa o qualcosa che tieni l'equilibrio in posizione.

COMANDO REVERSIBILE \rightarrow pilota
COMANDO IRREVERSIBILE \rightarrow attuatore

Le situazioni di COMANDI LIBERI consiste nel lasciare libero l'equilibrio per raggiungere la posizione tale da simulare il momento di cercare \rightarrow LIBERO ORIENTAMENTO EQUILIBRATORE $\Rightarrow S_{float}$

Vediamo tale situazione:

- senza considerare l'inerzia
- senza considerare l'attrito

Ricordando che:

$$C_H = C_{H_0} + C_{H\alpha}\alpha + b_2 S + b_3 S_{tab} = 0$$

pomiamo $S = S_{float}$ poiché $C_H = 0$

$$\Rightarrow S_{float} = -\frac{1}{b_2} (C_{H_0} + C_{H\alpha}\alpha + b_3 S_{tab})$$

Indichiamo con "!" ciò che si riferisce ai comandi liberi

COEFFICIENTE DI PORTANZA DEL VELIVOLO A COMANDI LIBERI

$$C_L^1 = C_{L\alpha}\alpha + C_L S_{float}$$

Potremo scrivere così:

$$C_L^1 = C_{L_0}^1 + C_{L\alpha}^1 \alpha$$

VELIVOLO CONVENTIONALE

$$C_{L_t}^1 = \alpha_t \varrho_t = \varrho_t \left(\alpha_n + \tilde{\gamma} S_{float} + \frac{\partial \alpha_t}{\partial S_{stab}} S_{stab} \right) \quad \text{con } \alpha_n = \alpha_{wb} \left(1 - \frac{\partial E}{\partial \alpha} \right) - i$$

$$\tilde{\gamma} = \frac{\partial \alpha_t}{\partial S}, \quad \frac{\partial \alpha_t}{\partial S_{stab}} \approx 0$$

$$\Rightarrow C_{L_t}^1 = \varrho_t \alpha_n + \tilde{\gamma} S_{float} \alpha_t \quad \text{introduciamo}$$

$$\alpha_e = \varrho_t \tilde{\gamma} = \frac{\partial C_{L_t}}{\partial S}$$

$$C_{L_t}^1 = \varrho_t \alpha_n + \alpha_e \left[-\frac{1}{b_2} (b_0 + b_1 \alpha_n + b_3 S_{stab}) \right]$$

$$C_H = b_0 + b_1 \alpha_n + b_2 S_{float} + b_3 S_{stab}$$

$$C_H = 0 \Rightarrow S_{float} = \dots$$

$$\Rightarrow C_{L_t}^1 = \left(\varrho_t - \alpha_e \frac{b_1}{b_2} \right) \alpha_n - \frac{\alpha_e}{b_2} (b_0 + b_3 S_{stab})$$

Per cui:

$$\frac{\partial C_{L_t}^1}{\partial \alpha_n} = \varrho_t - \alpha_e \frac{b_1}{b_2} = \varrho_t \left(1 - \tilde{\gamma} \frac{b_1}{b_2} \right) \rightarrow \frac{\partial C_{L_t}^1}{\partial \alpha_n} = \varrho_t f$$

\hookrightarrow free elevator factor $f \rightarrow$ questo perde di efficienza il piano orizzontale

FUOCO DEL VELIVOLO A COMANDI LIBERI

$$\frac{x_N}{c} = \frac{x_a^1}{c} + \frac{\varrho_t}{\alpha} \bar{V} \left(1 - \frac{\partial E}{\partial \alpha} \right) - \frac{1}{q} \frac{\partial C_{mp}}{\partial \alpha} \quad \text{comandi bloccati}$$

$$\frac{x_N}{e} = \frac{x_a^1}{e} + \frac{\varrho_t f}{\alpha^1} \bar{V} \left(1 - \frac{\partial E}{\partial \alpha} \right) - \frac{1}{q^1} \frac{\partial C_{mp}}{\partial \alpha} \quad \text{comandi liberi}$$

Sobbiamo dimostrare che $\frac{x_N}{e} > \frac{x_N}{c}$ \Rightarrow stabilità dell'equilibrio a comandi liberi è più restrittiva in termini di escurzione del baricentro

$$= \frac{x_G}{c} \frac{1}{a'} \underbrace{\left(a - \frac{C_{H\alpha} C_{LS}}{b_2} \right)}_{a'} - \frac{a}{a'} \frac{x_N}{c} + \frac{x_{a'}}{c} \frac{C_{H\alpha} C_{LS}}{a' b_2} + \alpha e \frac{C_{H\alpha} \bar{V}}{a' b_2} = \\ = \frac{x_G}{c} - \frac{1}{a'} \left(\alpha \frac{x_N}{c} - C_{H\alpha} C_{LS} \frac{x_{a'}}{c} \right) + \frac{C_{H\alpha} \alpha e \bar{V}}{a' b_2}$$

Osserviamo che:

$$\frac{x_{a'}}{c} = \frac{x_{a'} - x_N}{c} + \frac{x_N}{c}$$

$$\Rightarrow \frac{x_G - x_N'}{c} = \frac{x_G}{c} - \frac{1}{a'} \left(\alpha \frac{x_N}{c} - \frac{C_{H\alpha} C_{LS}}{b_2} \frac{x_{a'} - x_N}{c} - \frac{C_{H\alpha} C_{LS}}{b_2} \frac{x_N}{c} \right) + \frac{C_{H\alpha} \alpha e \bar{V}}{a' b_2}$$

$$\frac{x_G - x_N'}{c} = \frac{x_G}{c} - \frac{\alpha}{a'} \frac{x_N}{c} + \frac{C_{H\alpha} C_{LS}}{a' b_2} \frac{x_{a'} - x_N}{c} + \frac{C_{H\alpha}}{a' b_2} \alpha e \bar{V}$$

Ricordando che:

$$C_{LS} = \alpha t \approx \frac{S_t}{S} = \alpha e \frac{S_t}{S}$$

$$C_{H\alpha} = b_1 \left(1 - \frac{\partial \epsilon}{\partial \alpha} \right)$$

$$\Rightarrow \frac{x_N'}{c} = \frac{x_N}{c} - \frac{C_{H\alpha} C_{LS}}{a' b_2} \left(\frac{x_{a'} - x_N}{c} + \frac{\alpha e \bar{V}}{C_{LS}} \right)$$

$$\frac{x_N'}{c} = \frac{x_N}{c} - \frac{b_1 \alpha e}{a' b_2} \left(1 - \frac{\partial \epsilon}{\partial \alpha} \right) \frac{S_t}{S} \left[\frac{x_{a'} - x_N}{c} + \frac{\alpha e \bar{V}}{\alpha e \frac{S_t}{S}} \right] \rightarrow \text{le parentesi è (+)}$$

$$\boxed{\frac{x_N'}{c} = \frac{x_N}{c} - \frac{\alpha e b_1}{a' b_2} \left(1 - \frac{\partial \epsilon}{\partial \alpha} \right) \left(\bar{V} - \frac{S_t}{S} \frac{x_N - x_{a'}}{c} \right)}$$

in quanto \bar{V} è circa
1 ordine di grandezza
maggiorale del 2° termine

↳ Costante, una volta
definito il velivolo

\Rightarrow il limite posteriore del baricentro sarà x_N' , più avanzato rispetto
a x_N , nel caso mi voglia avere il velivolo staticamente stabile e
comandi le giri

$$C_H = C_{H_0} + C_{H\alpha} \alpha + b_2 S + b_3 S_{stab} = 0$$

$$\Rightarrow S_{stab} = S_{stab}$$

trim

$$S_{stab} = -\frac{1}{b_3} (C_{H_0} + C_{H\alpha} \alpha_{eq} + b_2 S_{eq})$$

Dove stiamo considerando una situazione di volo rettilineo uniforme orizzontale

Riconosciamo che, dal riferimento:

$$\begin{cases} C_{L\alpha} \alpha_{eq} + C_L S_{eq} = C_{L eq} \\ C_{M\alpha} \alpha_{eq} + C_M S_{eq} = -G_0 \end{cases} \rightarrow \begin{aligned} \alpha_{eq} &= \frac{C_{M_0} C_L S}{\Delta} + \frac{G_0 S}{\Delta} C_{L eq} \\ S_{eq} &= -\frac{C_{M_0} C_L \alpha}{\Delta} - \frac{C_M \alpha}{\Delta} C_{L eq} \end{aligned}$$

Sostituendo in S_{stab} :

trim

$$S_{stab} = -\frac{1}{b_3} \left(C_{H_0} + \frac{C_{H\alpha}}{\Delta} (C_{M_0} C_L S + C_M S C_{L eq}) - \frac{b_2}{\Delta} (C_{M_0} C_\alpha + C_{M\alpha} C_{L eq}) \right)$$

$$S_{stab} = -\frac{1}{b_3} \left[C_{H_0} + \frac{G_0}{\Delta} (C_{H\alpha} C_L S - b_2 C_\alpha) + \frac{1}{\Delta} (C_{H\alpha} G_0 S - b_2 C_{M\alpha}) C_{L eq} \right]$$

Riconosciamo ora che:

$$\frac{x_G - x_N}{c} = \frac{C_{M\alpha}'}{a'} = \frac{1}{a'} \left(C_{M\alpha} - \frac{C_M S C_{H\alpha}}{b_2} \right) \rightarrow a' \frac{x_G - x_N}{c} = \frac{C_{M\alpha} b_2 - C_M S C_{H\alpha}}{b_2}$$

$$\Rightarrow C_{H\alpha} C_M S - b_2 C_{M\alpha} = -a' b_2 \frac{x_G - x_N}{c}$$

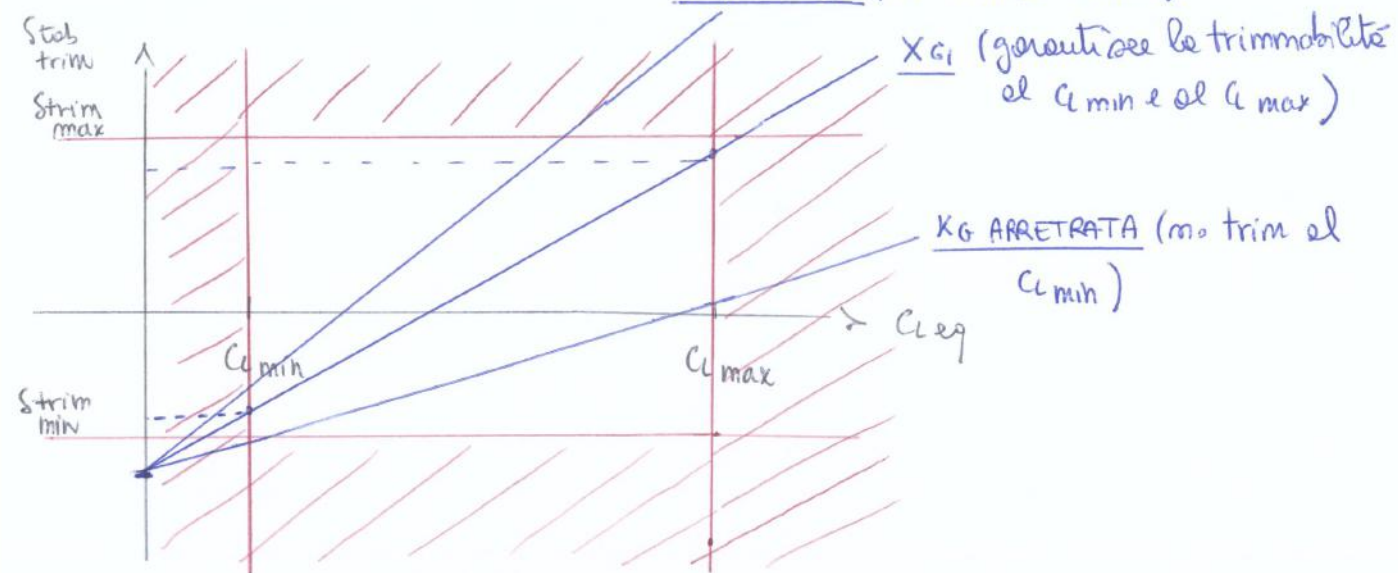
$$\Rightarrow S_{stab} = -\frac{1}{b_3} \left[C_{H_0} + \frac{C_{H_0}}{\Delta} \left(C_{H\alpha} C_L S - b_2 C_\alpha \right) - \frac{a' b_2}{\Delta} \frac{x_G - x_N}{c} C_{L eq} \right]$$

(-)
termine netto delle rette $S_{stab} = f(C_{L eq})$

INTERVALLO DI TRIMMABILITÀ DEL VELIVOLO

Riportiamo su un grafico le escursioni di $C_{L\text{eq}}$ e S_{stab}

XG AVANZATA (mo trim al $C_{L\text{max}}$)



generalmente $|S_{\text{trim}}| > |C_{\text{trim}}|$ perché il flusso sul ventre dell'impennaggio orizzontale è più efficace rispetto al flusso sul dorso, che risulta primo.

NORMATIVA SULLA TRIMMABILITÀ

Secondo riferimento alle FAR 23 (FAA) \Rightarrow Airworthiness

(stenderdi, scabietici, ...)

Il velivolo deve essere trimmabile nell'intervallo:

$$1.2 V_{ST} < V_{EP} < 2.4 V_{ST} \quad \text{con} \quad V_{ST} \approx V_{EP \text{ min}}$$

Si eccette che il velivolo sia trimmabile in un intervallo di V_{EP} sufficiente rispetto a quello possibile.

Al decollo $\rightarrow V_{EP} \approx 1.2 V_{ST} \Rightarrow$ il pilota, muovendo, deve esercitare uno sforzo

A velocità maggiori di $2.4 V_{ST} \Rightarrow$ il pilota dovrà esercitare uno sforzo (non eccessivo) ed è giusto che sia così, in modo da avere una maggiore ostensibilità del pilotaggio

Si ha che:

$$S_{tob} = -KS$$

con $K \approx 1$

$K \equiv$ RAPPORTO DI TRASMISSIONE DELL'ALETTA
(t_{ob} gearing)

Allora:

$$K = \left| \frac{\partial S_{tob}}{\partial S} \right| \approx 1 \quad \text{e rigone fanteute, ma noi lo consideriamo tale}$$

Riconosciamo che:

$$C_H = b_0 + b_1 \alpha_S + b_2 S + b_3 S_{tob}$$

$$C_H = b_0 + b_1 \alpha_S + b_2 S - KS b_3$$

$$\underline{C_H = b_0 + b_1 \alpha_S + (b_2 - K b_3) S}$$

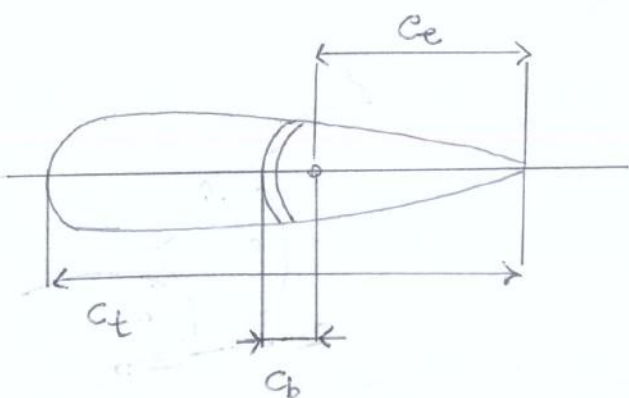
$$\underline{C_H = b_0 + b_1 \alpha_S + b_2 \left(1 - \frac{K b_3}{b_2}\right) S}$$

con $b_3 < 0; b_2 < 0; |b_2| > |b_3|; K > 0$

$$\Rightarrow K \frac{b_3}{b_2} > 0; \quad K \frac{b_3}{b_2} < 1; \quad \Rightarrow \left(1 - K \frac{b_3}{b_2}\right) < 1 \quad \text{ma} \quad > 0$$

\Rightarrow Riduzione del termine in S

ARRETRAMENTO DELL'ASSE DI CERNIERA



Dobbiamo determinare come variano i coeff. b_1, b_2 in funzione del rapporto C_b/C_c , che maggiormente li influenzta.

Riconosciamo che b_1, b_2 sono considerati costanti, in un intervallo di variazione di α_S, S contenuti.

In tal caso: $\boxed{\delta_{stab} = +KS}$ con $K > 0$ e $K \approx 1$

Allora:

$$C_H = b_0 + b_1 d_0 + b_2 S + b_3 S_{stab}$$

$$C_H = b_0 + b_1 d_0 + b_2 S + KS b_3$$

$$C_H = b_0 + b_1 d_0 + b_2 \left(1 + K \frac{b_3}{b_2}\right) S$$

Poiché rientra nel punto ③:

$$b_2 > 0 \rightarrow \frac{b_3}{b_2} < 0 \Rightarrow K \frac{b_3}{b_2} < 0 \text{ e } \underbrace{\left|K \frac{b_3}{b_2}\right|}_{\text{si realizza facendo in modo che}} > 1$$

Quindi:

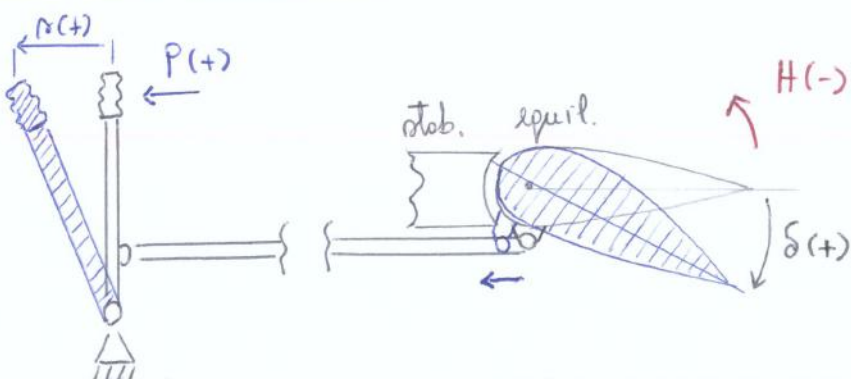
$$K > 0, b_2 > 0, b_3 < 0$$

$$\Rightarrow \left|b_2 \left(1 + K \frac{b_3}{b_2}\right)\right| < |b_2| \quad \text{perché } \left(1 + K \frac{b_3}{b_2}\right) < 0 \text{ e } \left|\left(1 + K \frac{b_3}{b_2}\right)\right| < 1$$

$$\Rightarrow \text{RIDUZIONE DEL TERMINE IN } S \text{ E } b_2 \left(1 + K \frac{b_3}{b_2}\right) < 0$$

STABILITÀ DEL COMANDO CONSERVATA

TRASMISSIONE DI COMANDO



④ REQUISITO DELLA TRIMMABILITÀ

Deve esistere una V_{ep} per cui il velivolo sia trimmato, anche se questo non presenta lo TRIM TAB.

⑤ REQUISITO DELLA SENSIBILITÀ (seconda parte) :

Lo sforzo di berne deve aumentare all'aumentare delle velocità, non solo le berne deve spostarsi più avanti.

$$\frac{\partial P_{eq}}{\partial V_{ep}} > 0$$

Osserviamo che:

- ④, ⑤ sono realizzate se $X_G < X_N'$, cioè se il velivolo è stabile a comandi liberi
- Se velivolo instabile a comandi liberi \Rightarrow instabile anche a comandi liberi \Rightarrow se soddisfa ④, ⑤ \Rightarrow soddisfa anche ②

Dimostriamolo:

$$P = -GH \rightarrow P = -GC_H S_e C_e \frac{1}{2} \rho V^2$$

$$C_H = C_{H_0} + C_{H\alpha} \delta_{eq} + b_2 S_{eq} + b_3 S_{stab} \leftarrow \text{situazione di equilibrio generico}$$

$$C_H = 0 = C_{H_0} + C_{H\alpha} \delta_{ep} + b_2 S_{ep} + b_3 S_{stab} \leftarrow \text{velivolo trimmato}$$

Differenza membro a membro:

$$C_H = b_3 (S_{stab} - S_{stab})$$

$$\downarrow \frac{W/S}{\frac{1}{2} \rho V^2}$$

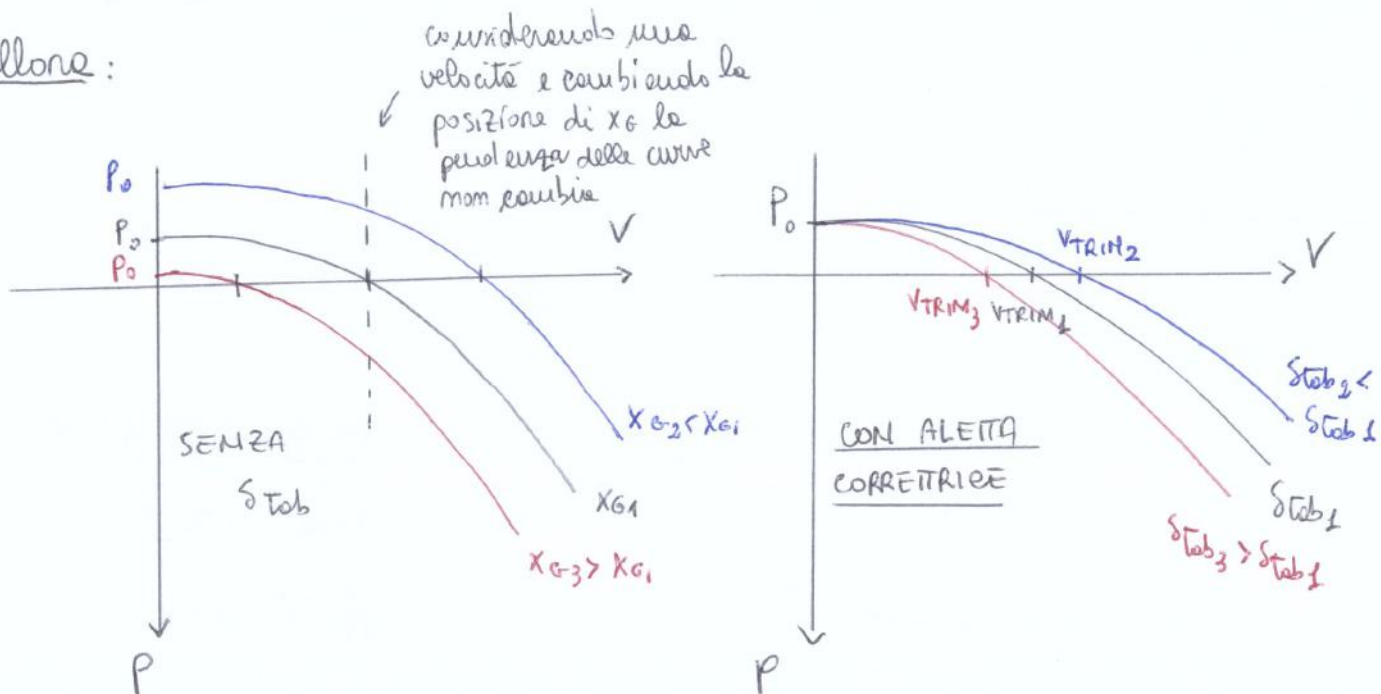
$$S_{stab} = -\frac{1}{b_3} \left(C_{H_0} + \frac{C_{H\alpha} C_S - b_2 C_\alpha}{\Delta} C_{M_0} - \frac{\alpha' b_2}{\Delta} \frac{X_G - X_N'}{c} C_{Lep} \right)$$

$$\Rightarrow C_H = b_3 S_{stab} + C_{H_0} + \frac{C_{H\alpha} C_S - b_2 C_\alpha}{\Delta} C_{M_0} - \frac{\alpha' b_2}{\Delta} \frac{X_G - X_N'}{c} \frac{W/S}{\frac{1}{2} \rho V^2}$$

Osserviamo che:

- $P_0 = f(x_0)$
- $B = f(s_{stab})$

Allora:



Spostando la posizione del fronte neutro sarebbe possibile trattenere il velivolo a differenti velocità.

$$\text{Poiché } P = P_0 + \frac{B}{2} \rho V^2$$

$$\Rightarrow \text{dal requisito 5: } \frac{dP}{dV} = B \rho V$$

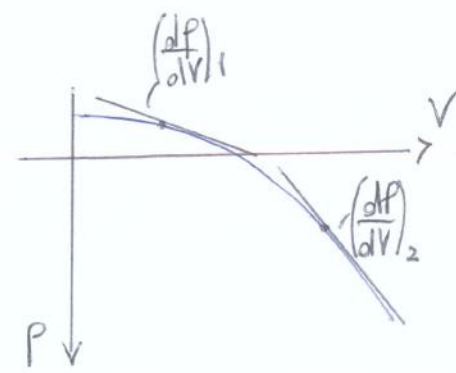
Poiché $B = \text{costante}$, una volta definite s_{stab}

$\Rightarrow \frac{dP}{dV}$ cresce con ρ e V

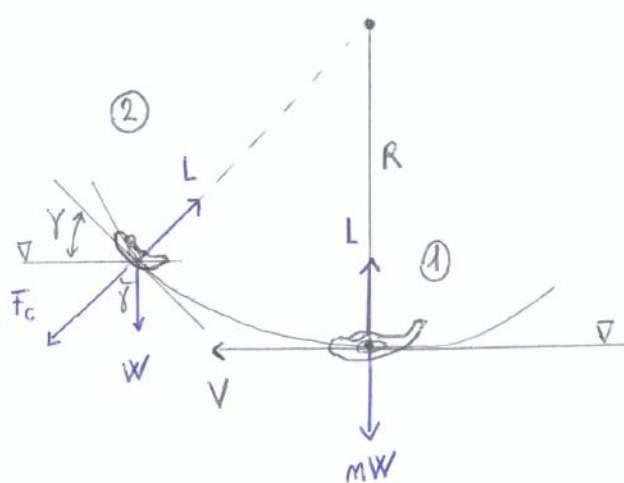
$\frac{dP}{dV} \downarrow$
 - se $\rho \uparrow, V \downarrow \Rightarrow$ le curve si appiattiscono

\Rightarrow le curvature aumentano con V

\hookrightarrow se la normativa richiede un certo valore di $\frac{dP}{dV}$, occorre che questo sia assicurato in tutto l'intervallo di variazione possibile delle velocità.



MOTO ACCELERATO (con accelerazione normale alle traiettorie)



$$① \quad L = mW$$

$$mW = W + F_c = W + \frac{W}{g} \frac{V^2}{R}$$

$$\Rightarrow m = 1 + \frac{V^2}{gR}$$

$$\dot{\theta} = \frac{V}{R} \quad (\text{pitch rate})$$

$$② \quad L = mW = W \cos \gamma + \frac{W}{g} \frac{V^2}{R} \quad \Rightarrow$$

$$m = \cos \gamma + \frac{V^2}{gR}$$

Stiamo considerando la velocità costante, poiché l'accelerazione è normale alle traiettorie. Se V è la rتسه e R è lo rتسه \Rightarrow rتسه forza centrifuga fra ① e ②.

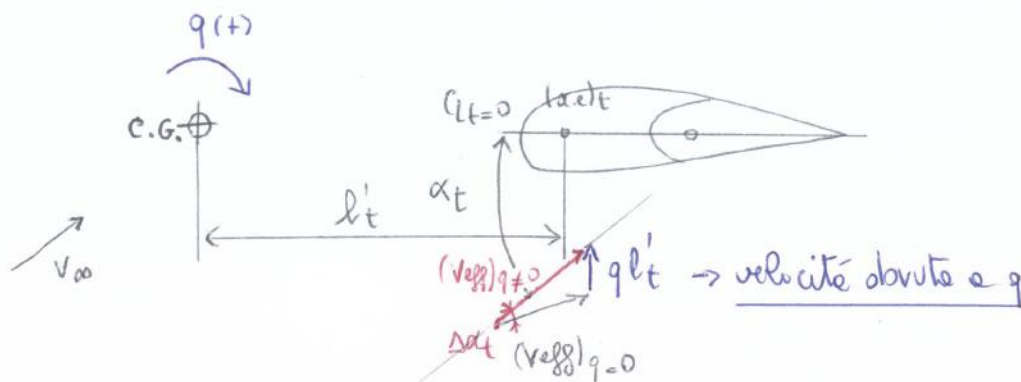
La portanza, pernolo de ① e ② deve equilibrare una componente minore del peso ($W \cos \gamma$) \Rightarrow L diminuisce $\Rightarrow \alpha$ diminuisce.

Ma notate ciò, considerando costanti i parametri nell'intorno del punto considerato $\Rightarrow \alpha$ non cambia nell'intorno del punto considerato $\Rightarrow \dot{\alpha} = 0$ (Come se le richiamate forze talmente deboli da poter essere pensate come una successione di stati stabili) \rightarrow MOTO ACCELERATO A REGIME

\rightarrow considereremo solo l'effetto dell'accelerazione centrifuga

$V = \text{cost.}$ Se considero $\alpha = \text{cost}$ (nell'intorno del punto) $\Rightarrow m = \text{cost}$
 (escludiamo $\gamma \approx \text{costante}$)

CONTRIBUTO DELLA CODA AL C_{Lq} e C_{Mq}



$$\Delta \alpha_t \approx \frac{q l_t}{V} \quad (\text{con le dovute approssimazioni})$$

$$\begin{cases} \Delta C_L = C_{L\alpha} \Delta \alpha + C_{Ls} \Delta S + \frac{\partial C_L}{\partial q} q \\ \Delta C_{Mq} = C_{M\alpha} \Delta \alpha + C_{Ms} \Delta S + \frac{\partial C_{Mq}}{\partial q} q \end{cases} \quad \begin{array}{l} \text{dove } \Delta \text{ è rispetto a } m=1, \\ \text{ovvero rispetto a } W=L \\ (\text{moti rettilinei uniformi} \\ \text{orizzontali}) \end{array}$$

Le derivate $\frac{\partial C_L}{\partial q}$, $\frac{\partial C_{Mq}}{\partial q}$ sono dimensionate. Introduciamo allora le derivate ADIMENSIONALI:

$$\hat{q} = \frac{q}{V/c_2} = \frac{q c}{2V}, \quad \text{dove } \frac{e/2}{V} = t^* = \text{tempo per scendere} \frac{e}{2} \quad \begin{array}{l} \text{(tempo per percorrere} \frac{e}{2} \text{ la} \\ \text{distanza} e/2) \end{array}$$

$$\Rightarrow C_{Lq} = \frac{\partial C_L}{\partial \hat{q}}, \quad C_{Mq} = \frac{\partial C_{Mq}}{\partial \hat{q}} \quad \text{sono le derivate adimensionali}$$

Troviamo a calcolarle:

$$C_{Lt} = \alpha_t \alpha_t \Rightarrow \Delta C_{Lt} = \alpha_t \Delta \alpha_t = + \frac{q l_t' \alpha_t}{V} = \alpha_t \frac{l_t'}{V} \frac{q c}{2V} \cdot \frac{2V}{c} = \alpha_t l_t' \hat{q} \cdot \frac{2}{c}$$

$$\boxed{\Delta C_{Lt} = \frac{2}{c} \alpha_t l_t' \hat{q}}$$

variazione del coeff. di portanza del tail per effetto di \hat{q} .

Il contributo del velivolo deve essere riportato alle sezioni alare

$$\Rightarrow (\Delta C_L)_{tail} = \frac{S_t}{S} \Delta C_{Lt} = 2 \alpha_t \frac{l_t'}{V} \frac{S_t}{S} \frac{1}{c} \hat{q} = 2 \alpha_t \bar{V}' \frac{1}{c} \hat{q}$$

Mel percorso dal volo rettilineo al volo piegato:

$$\left. \begin{array}{l} L = W \\ L = W + \frac{W}{g} \frac{V^2}{R} = W + \frac{W}{g} qV \end{array} \right\} \Rightarrow \Delta L = \frac{W}{g} qV$$

Ricordando che, nel punto più basso della traiettoria

$$m = 1 - \frac{V^2}{g R} \Rightarrow m - 1 = \Delta m = \frac{V^2}{g R} = \frac{qV}{g}$$

$$\Rightarrow \boxed{\Delta L = \frac{W}{g} qV = W(m-1)}$$

Allone:

$$\underline{\text{VRUO}} \rightarrow L = W = \frac{1}{2} \rho V^2 S (c_L)_{m=1}$$

$$\underline{\text{VOLO ACCELERATO}} \rightarrow \Delta L = \frac{qV}{g} W = \frac{qV}{g} \cdot \frac{1}{2} \rho V^2 S (c_L)_{m=1}$$

$$\Rightarrow \Delta c_L = \frac{qV}{g} (c_L)_{m=1} \cdot \frac{C}{2V} \cdot \frac{2V}{e} = \frac{qV}{g} \frac{V^2}{ge} (c_L)_{m=1}$$

\downarrow
 $\frac{qe}{2V} = \hat{q}$

Osservando che:

$$(c_L)_{m=1} = \frac{W}{\frac{1}{2} \rho V^2 S}$$

$$\Rightarrow \Delta c_L = \frac{\hat{q} \hat{W}}{g C S \frac{1}{2} \rho} = \frac{\hat{q} \hat{W}/g}{C/2 \rho S} \Rightarrow$$

$$\boxed{\Delta c_L = \frac{\hat{q} \hat{W}/g}{C/2 \rho S}}$$

merza del velivolo

merza d'aria

convenzione

Introduciamo il PARAMETRO DI MASSA RELATIVA μ

(o merza del velivolo semi-mezzionalizzata):

$$\boxed{\mu = \frac{W/g}{C/2 \rho S}} \Rightarrow \boxed{\Delta c_L = \hat{q} \hat{\mu}} \quad \text{con } \mu \uparrow \text{ se } z \uparrow$$

determiniamo il gradiente $\Delta S/\Delta m$:

$$\frac{C_{L\alpha}}{C_{M\alpha}} = \frac{-C_L \Delta S - \frac{C_{Lq}}{2\mu} (C_L)_{m=1} \Delta m + (C_L)_{m=1} \Delta m}{-C_H \Delta S - \frac{C_{Hq}}{2\mu} (C_L)_{m=1} \Delta m}$$

$$\frac{C_{L\alpha}}{C_{M\alpha}} \left(-C_H \Delta S - \frac{C_{Hq}}{2\mu} (C_L)_{m=1} \Delta m \right) = -C_L \Delta S - \frac{C_{Lq}}{2\mu} (C_L)_{m=1} \Delta m + (C_L)_{m=1} \Delta m$$

$$\Delta S \left(C_{LS} - \frac{C_{L\alpha} C_{HS}}{C_{M\alpha}} \right) = \Delta m \left(\frac{C_{L\alpha}}{C_{M\alpha}} \frac{C_{Hq}}{2\mu} (C_L)_{m=1} - \frac{C_{Lq}}{2\mu} (C_L)_{m=1} + (C_L)_{m=1} \right)$$

$$-\Delta S \cdot \frac{\Delta}{C_{M\alpha}} = \Delta m (C_L)_{m=1} \left[\frac{C_{L\alpha}}{C_{M\alpha}} \frac{C_{Hq}}{2\mu} - \frac{C_{Lq}}{2\mu} + 1 \right]$$

$$\frac{\Delta S}{\Delta m} = -\frac{(C_L)_{m=1}}{\Delta} \left[C_{M\alpha} \left(1 - \frac{C_{Lq}}{2\mu} \right) + \frac{C_{L\alpha} C_{Hq}}{2\mu} \right], \quad C_{M\alpha} = C_{\alpha} \frac{X_G - X_N}{c}$$

$$\frac{\Delta S}{\Delta m} = -\frac{C_{L\alpha}}{\Delta} \left(1 - \frac{C_{Lq}}{2\mu} \right) (C_L)_{m=1} \left[\frac{X_G - X_N}{c} + \frac{C_{Hq}}{2\mu - C_{Lq}} \right] \Rightarrow \frac{\Delta S}{\Delta m} = f \left(\frac{X_0}{c}, z, v_{eq} \right)$$

Dove ricordiamo che:

$$\begin{aligned} C_{Lq} &= 2a_t \bar{v}' \\ C_{Hq} &= -2a_t \bar{v}' \frac{l'_t}{c} \end{aligned} \quad \left\{ \begin{array}{l} \bar{v}' = f(l'_t) \\ \text{CONTRIBUTO DELLA CODA} \end{array} \right.$$

Il valore $\frac{\Delta S}{\Delta m}$ deve essere un valore stabilito dalle normative e deve essere rispettato al variare della posizione del bocciotto, della quota e delle velocità.

In un velivolo convenzionale il C_{Lq} , C_{Hq} sono influenzati soprattutto dalla coda.

In un velivolo tutt'ale le derivate C_{Lq} , C_{Hq} derivano dal contributo dell'ala che dobbiamo valutare.

Ciò può essere sfruttato in due modi:

① SPERIMENTALE

Considero l'ala così come è aggiungendo un incremento con legge parabolica. Dopo di che si testa l'ala in galleria del vento con una semplice velocità di traslazione V . L'effetto sarà quello di una $V + \text{una } q$.

Variando la velocità, mentre la legge dell'incremento rimane lo stesso poiché il profilo non cambia, è come se il profilo venisse testato a differenti q , poiché \hat{q} rimane costante, in questo $\hat{z} = \hat{q} x^2$.

Per testare l'ala a differenti \hat{q} , si può ad esempio fissare q e far variare V . In tal caso varierà anche l'incremento del profilo, per cui per ogni \hat{q} si avrà un'ala il cui profilo avrà un particolare incremento.

Poiché però le derivate rispetto a \hat{q} non variano, C_{Lq} , C_{Mq} dovranno assumere un valore preciso indipendentemente dal valore di \hat{q} .

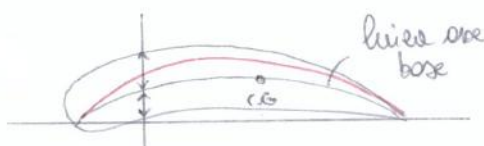
In effetti:

$$C_{Mq} = \frac{\Delta C_{MG}}{\Delta \hat{q}} = \frac{(C_{MG})_{\text{curv}} - (C_{MG})_{\text{base}}}{\hat{q}}$$

variando \hat{q} , dovrebbe variare allo stesso modo la differenza al numeratore

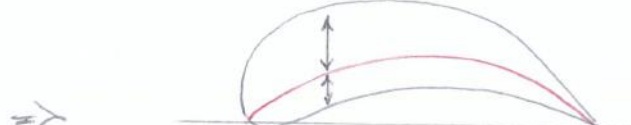
Analogamente, si può valutare le derivate C_{Lq} .

② AERODINAMICA TEORICA



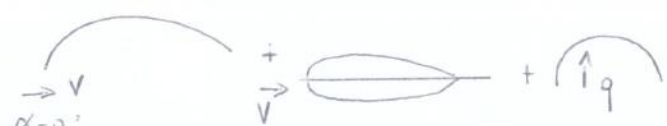
PROFILO BASE

Aggiungiamo alle linee d'aria, punto per punto, un incremento rettangolare con legge parabolica



PROFILO MODIFICATO

Alle linee d'aria modificate, si aggiunge punto per punto le leggi degli spessori del profilo originale



L'ala avrà un contributo alle derivate C_{Lq} , C_{Mq} se poco allungata.

\Rightarrow ALA A DELTA (EFA, CONCORDE \rightarrow derivate C_{Mq} molto forte)

Allora, l'espressione del $\frac{ds}{dm}$ diventa:

$$\frac{ds}{dm} = - \frac{C_d}{\Delta} \left(1 - \frac{C_g}{2\rho} \right) (C_e)_{m=1} \frac{x_G - x_M}{e}$$

quindi, una volta stabilito x_M , moto x_G, V, t si può calcolare il gradiente $\frac{ds}{dm}$

Se volessimo fare i conti più precisi:

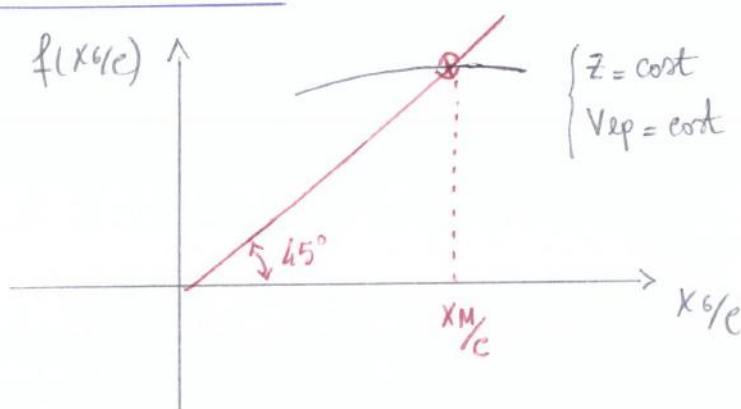
2° APPROSSIMAZIONE: $C_{Mq}, C_{Lq} = f(x_G)$

Allora, definisco me $f(x_G/e) = \frac{x_N}{e} - \underbrace{\frac{C_{Mq}}{2\rho - C_g}}_{x_M/e}$

Per cui:

con C_{Mq}, C_{Lq} che variano con la posizione del baricentro

$$\frac{x_G}{e} = f\left(\frac{x_G}{e}\right)$$



Definiamo MARGINE DI MANOVRA A COMANDI BLOCCATI:

$$K_M = \frac{x_M - x_G}{e} \cdot 100$$

Si riporta l'andamento di $f(x_G/e)$ in funzione delle posizioni x_G/e .
Intrsecando la funzione $f(x_G/e) = \frac{x_M}{e}$ con le bisettrici 1°-3° quadraente di equazione $x_G/e = f(x_G/e) = \frac{x_M}{e}$, si determina il punto di manovra e comandi bloccati, che è quello tale per cui $\frac{ds}{dm} = 0$

$$\Rightarrow \frac{\Delta \alpha}{m-1} = -\frac{1}{C_{L\alpha}} \left[C_L s \frac{\Delta \delta}{m-1} - (C_L)_{m=1} + (C_L)_{m=1} \frac{C_{Lq}}{2\mu} \right]$$

Sostituendo nelle relazioni del $\frac{\Delta C_H}{m-1}$:

$$\frac{\Delta C_H}{m-1} = -\frac{C_{H\alpha}}{C_{L\alpha}} \left[C_L s \frac{\Delta \delta}{m-1} + (C_L)_{m=1} \frac{C_{Lq}}{2\mu} - (C_L)_{m=1} \right] + b_2 \frac{\Delta \delta}{m-1} + C_{Hq} \frac{(C_L)_{m=1}}{2\mu}$$

$$\frac{\Delta e_H}{m-1} = \frac{1}{2\mu C_{L\alpha}} \left[-C_{H\alpha} C_{Lq} + C_{H\alpha} \cdot 2\mu + C_{Hq} C_{L\alpha} \right] (e_L)_{m=1} + \left(b_2 - \frac{C_{H\alpha} C_{Ls}}{C_{L\alpha}} \right) \frac{\Delta \delta}{m-1}$$

$$\frac{\Delta C_H}{m-1} = \frac{1}{2\mu C_{L\alpha}} \left[(2\mu - C_{Lq}) C_{H\alpha} + C_{Hq} C_{L\alpha} \right] (e_L)_{m=1} + \left(b_2 - \frac{C_{H\alpha} C_{Ls}}{C_{L\alpha}} \right) \frac{\Delta \delta}{m-1}$$

Riconducendo che:

$$C'_{L\alpha} = \alpha' = C_{L\alpha} - \frac{C_{H\alpha} C_{Ls}}{b_2} = C_{L\alpha} \left(1 - \frac{C_{H\alpha} C_{Ls}}{b_2 C_{L\alpha}} \right) = \frac{C_{L\alpha}}{b_2} \left(\frac{C_{L\alpha} b_2 - C_{H\alpha} C_{Ls}}{C_{L\alpha}} \right)$$

$$\Rightarrow \frac{\alpha' b_2}{C_{L\alpha}} = b_2 - \frac{C_{H\alpha} C_{Ls}}{C_{L\alpha}}$$

Per cui:

$$\frac{\Delta e_H}{m-1} = \frac{1}{2\mu C_{L\alpha}} \left[(2\mu - C_{Lq}) C_{H\alpha} + C_{Hq} C_{L\alpha} \right] (e_L)_{m=1} + \frac{\alpha' b_2}{C_{L\alpha}} \frac{\Delta \delta}{m-1}$$

con $C_{Hq} = 2b_1 \frac{b_1}{e} = f(x\%)$ poiché è presente l' t'

•) PRIMA APPROSSIMAZIONE: $C_{Lq}, C_{Hq}, C_{Mq} \neq f(x\%)$

Riconduciamo che:

$$\frac{\Delta \delta}{m-1} = -\frac{C_{L\alpha}}{\Delta} \left(1 - \frac{C_{Lq}}{2\mu} \right) (e_L)_{m=1} \frac{x_G - x_M}{e}$$

STICHI-FORCE per g

$$\frac{\Delta P}{m-1} = - GS_{e ce} \frac{1}{2} \rho V^2 \frac{\Delta C_H}{m-1}$$

variazione dello sforzò di bolla per effetto delle variazioni del fattore di carico e, contingente

$$\Rightarrow \frac{\Delta P}{m-1} = GS_{e ce} \frac{1}{2} \rho V^2 (C_L)_{m=1} \frac{c' b_2}{\Delta} \left(1 - \frac{C_{Lq}}{2\mu} \right) \frac{x_G - x_M'}{c}$$

Osservando che:

$$(C_L)_{m=1} = \frac{W/S}{\frac{1}{2} \rho V^2}$$

$$\Rightarrow \frac{\Delta P}{\Delta m} = \frac{\Delta P}{m-1} = \frac{dP}{dm} = GS_{e ce} \frac{W}{S} \frac{a' b_2}{\Delta} \left(1 - \frac{C_{Lq}}{2\mu} \right) \frac{x_G - x_M'}{c}$$

Affinché $\frac{\Delta P}{m-1} < 0 \Rightarrow x_G < x_M'$ bocciatura anteriore al punto di manovra e comandi liberi

OSSERVAZIONI

- $\frac{dP}{dm}$ non dipende dalla velocità $\rightarrow \frac{dP}{dm} \neq f(V)$
- $|\frac{dP}{dm}|$ diminuisce con z , (per effetto di $\mu = \frac{W/S}{\frac{1}{2} \cdot \rho \cdot S}$ dovrebbe aumentare, ma vedi esercitaz.)
- Velivolo aerostatico: $\frac{dP}{dm} \approx 1 \text{ kg/g}$ \rightarrow la manovrabilità stabilisce un intervallo, non un valore specifico
 - Velivolo da trasporto: $\frac{dP}{dm} \approx 4 \text{ kg/g}$
- Motivo che per variare il valore di $\frac{\Delta P}{\Delta m}$ si muove che questo si adatti a quanto richiesto dalla manovrabilità, oppure i parametri geometrici e/o aerodinamici che non possono variare molto, pena lo sviluppo del velivolo progettato, si può spingere su x_M' , che però dipende da x_M , che a sua volta dipende da x_N . Il problema è dunque obiettiva soluzio-

DETERMINAZIONE PRECISA di $\frac{\Delta C_H}{\Delta m}$

Riconosciamo che:

$$\frac{\Delta C_H}{m-1} = \frac{1}{2\mu c_{L\alpha}} \left[(z\mu - c_{Lq}) C_{H\alpha} + C_{Hq} C_{L\alpha} \right] (c_L)_{m=1} + \frac{a^1 b_2}{c_{L\alpha}} \frac{\Delta S}{m-1}$$

$$\frac{\Delta S}{m-1} = - \frac{C_{L\alpha}}{\Delta} \left(1 - \frac{C_{Lq}}{z\mu} \right) (c_L)_{m=1} \frac{x_G - x_M}{c}$$

$$f\left(\frac{x_G}{c}\right) = \frac{x_N}{c} - \underbrace{\frac{C_{Mq}}{z\mu - C_{Lq}}}_{x_M/c}$$

definito per trovare in maniera esatta il punto di misurazione e conoscendone l'altitudine.

Dipendenza da x_G perché C_{Mq} , c_{Lq} dipendono dalla posizione del bicanotto.

Sostituendo nello prima relazione:

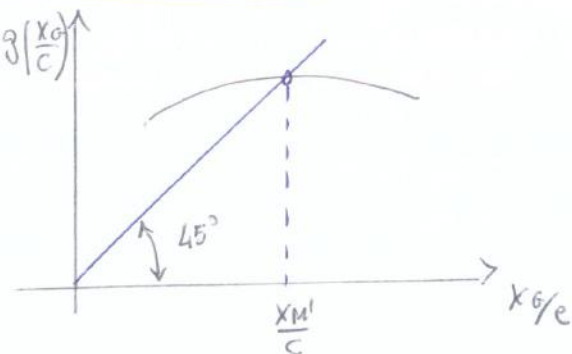
$$\begin{aligned} \frac{\Delta C_H}{m-1} &= (c_L)_{m=1} \left\{ \left[\left(1 - \frac{C_{Lq}}{z\mu} \right) \frac{C_{H\alpha}}{c_{L\alpha}} + \frac{C_{Hq}}{z\mu} \right] - \frac{a^1 b_2}{\Delta} \left(1 - \frac{C_{Lq}}{z\mu} \right) \left(\frac{x_G}{c} - f\left(\frac{x_G}{c}\right) \right) \right\} = \\ &= - \frac{a^1 b_2}{\Delta} \left(1 - \frac{C_{Lq}}{z\mu} \right) (c_L)_{m=1} \left[\frac{x_G}{c} - f\left(\frac{x_G}{c}\right) - \frac{\Delta}{a^1 b_2} \left(\frac{C_{H\alpha}}{c_{L\alpha}} + \frac{C_{Hq}}{z\mu - C_{Lq}} \right) \right] \end{aligned}$$

Quisimmo:

$$g\left(\frac{x_G}{c}\right) = f\left(\frac{x_G}{c}\right) + \frac{\Delta}{a^1 b_2} \left(\frac{C_{H\alpha}}{c_{L\alpha}} + \frac{C_{Hq}}{z\mu - C_{Lq}} \right)$$

$$\Rightarrow \boxed{\frac{\Delta C_H}{m-1} = \frac{\partial C_H}{\partial m} = - \frac{a^1 b_2}{\Delta} \left(1 - \frac{C_{Lq}}{z\mu} \right) (c_L)_{m=1} \left[\frac{x_G}{c} - g\left(\frac{x_G}{c}\right) \right]}$$

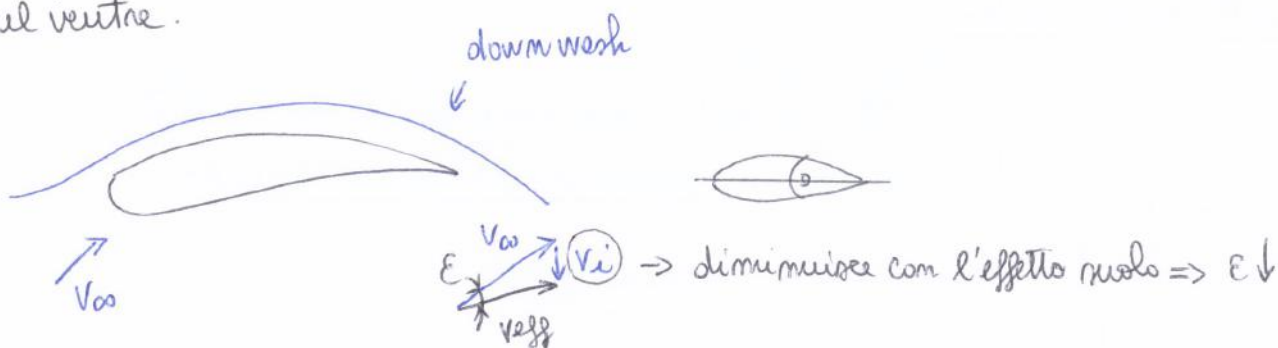
$$\Rightarrow \left(\frac{x_G}{c} \right) \frac{\Delta C_H}{m-1} = g\left(\frac{x_G}{c}\right) = \frac{x_M'}{c} = \left(\frac{x_G}{c} \right) \frac{dp}{dm}$$



EFFETTO SUOLO

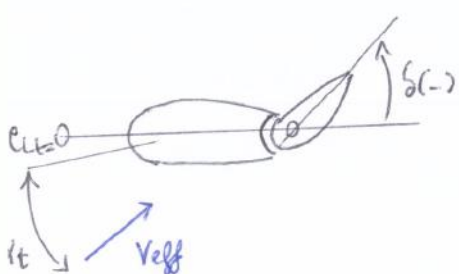
Il downwash si volle dell'aile diminuisce per effetto della vicinanza del suolo. Inoltre, l'effetto suolo aumenta l'efficienza in quanto si ha un incremento di portanza e una riduzione delle resistenze indotte. Questo diminuisce poiché i vortici di estremità non si sviluppano come se fossero in aria libera.

La portanza aumenta per "l'effetto euscino" che incrementa la svolazzante nel ventre.

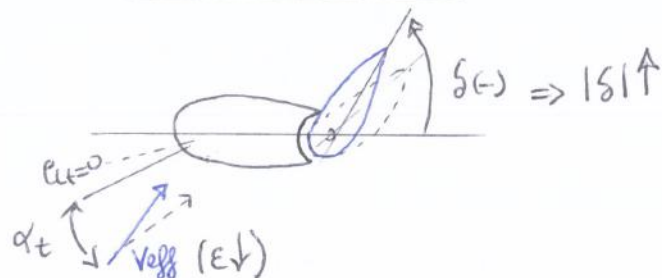


$$\Rightarrow \alpha_t = \alpha_{wb} - i_{wb} - \epsilon + i_t + \gamma b, \text{ se } \epsilon \downarrow \Rightarrow |\alpha_t| \uparrow \text{ con effetto suolo} \Rightarrow S \downarrow$$

SENZA EFFETTO SUOLO



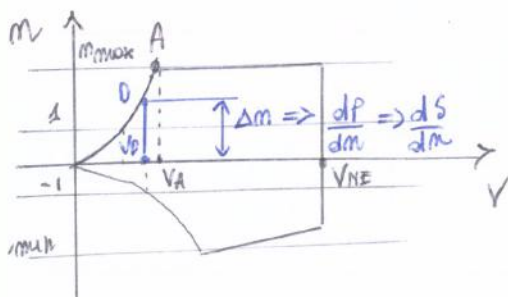
CON EFFETTO SUOLO



Poiché $\epsilon \downarrow$, se non diminuisse S si avrebbe un α_t maggiore.

Allora, e perciò S : $C_L = C_{Lwb} + \frac{S}{\rho} \alpha_t \alpha_t \uparrow$ poiché $\alpha_t \uparrow \Rightarrow$ se e perciò S si ha un C_L maggiore, vuol dire che in condizioni di effetto suolo, per equilibrio il velivolo al C_{Lmax} sono necessarie meno resistenze.

Ora si deve assicurarsi che l'escursione dell'equilibrio permette il raggiungimento di tutti i punti estremi del diagramma di manovra:



Alle V_D , mediante una opportuna soluzione dell'equilibrio, devo riportare e portare il velivolo allo stallo.

Tracciare le curve $C_{M_G} - C_{L_{wb}}$ per il solo completo oleo-fusoliera per le 5 posizioni di $X_G/c = 0,205; 0,285; 0,365; 0,445; 0,525$

Coefficienti aerodinamici e punto neutro

- ✗ Tracciare su un unico diagramma con ascissa α_{wb} , le due curve relative a C_L e $C_{L_{wb}}$.
N.B. Consideriamo il fattore di induzione pari a 0.75.
- ✗ Ricavare il C_{M_G} in funzione di α per le cinque posizioni del baricentro del velivolo di cui al punto 1 e valutare i corrispondenti valori di C_{M_G} :
 $X_6/c = 0,205; X_6/c = 0,285; X_6/c = 0,365; X_6/c = 0,445; X_6/c = 0,525$
- ✗ Determinare la posizione del punto neutro del velivolo completo e discutere le condizioni di stabilità.
- ✗ Determinare l'incidenza di portanza nulla ($C_L = 0$) del velivolo completo.

Determinazione delle condizioni di equilibrio

- ✗ Su un diagramma avente ascissa α , riportare le curve C_L e $C_{L_{eq}}$ punteggiando quest'ultima con i valori δ_{eq} , per le due posizioni estreme del baricentro $X_G/c = 0,205$ e $X_G/c = 0,365$.
- ✗ Tracciare il diagramma $\delta_{eq}, C_{L_{eq}}$ per le seguenti posizioni del baricentro $X_G/c = 0,205 - 0,285 - 0,365 - 0,445$; con $X_N/c = 0,512$.
- ✗ Per la posizione del baricentro $X_G/c = 0,285$ tracciare le curve $C_L(\alpha, \delta)$ e $C_{M_G}(\alpha, \delta)$ e verificarne la congruenza nelle condizioni di equilibrio $(\alpha_{eq}, \delta_{eq})$.

Derivate aerodinamiche di manovra e trimmaggio

Per tutte le posizioni del baricentro precedentemente considerate:

- ✗ Calcolare le derivate C_{L_δ} e C_{M_δ} e valutare percentualmente il contributo del termine in C_{L_δ} ai valori di C_{M_δ} .
- ✗ Tracciare le curve (δ_{eq}, V_i)
- ✗ Calcolare la posizione del punto neutro X_N'/c a comandi liberi
- ✗ Tracciare le curve $(\delta_{tab_{trim}}, C_{L_{eq}})$ e $(\delta_{tab_{trim}}, V_{i_{eq}})$ per le seguenti posizioni del baricentro: $X_G/c = 0,205 - 0,285 - 0,365 - 0,445 - 0,525$.

Politecnico di Torino



Dipartimento di ingegneria Meccanica e Aerospaziale

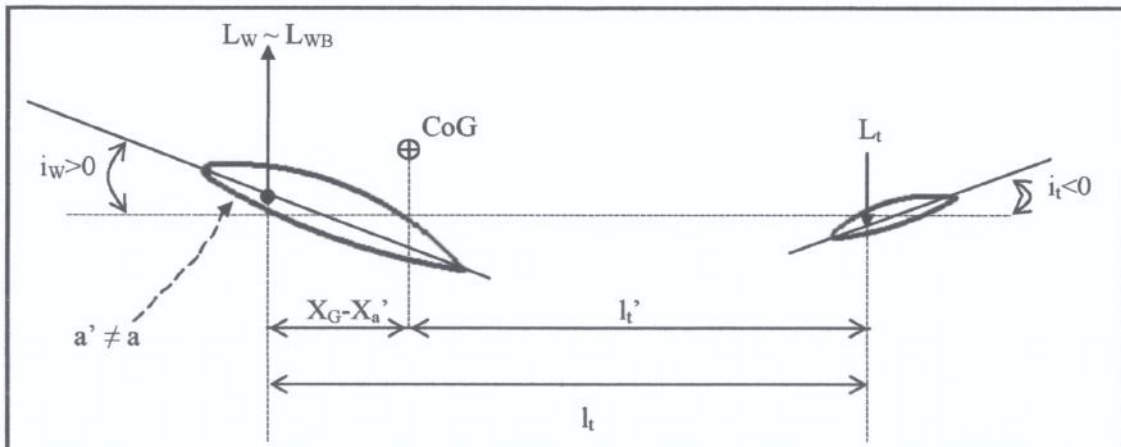
Corso di MECCANICA DEL VOLO

Anno Accademico 2016/2017

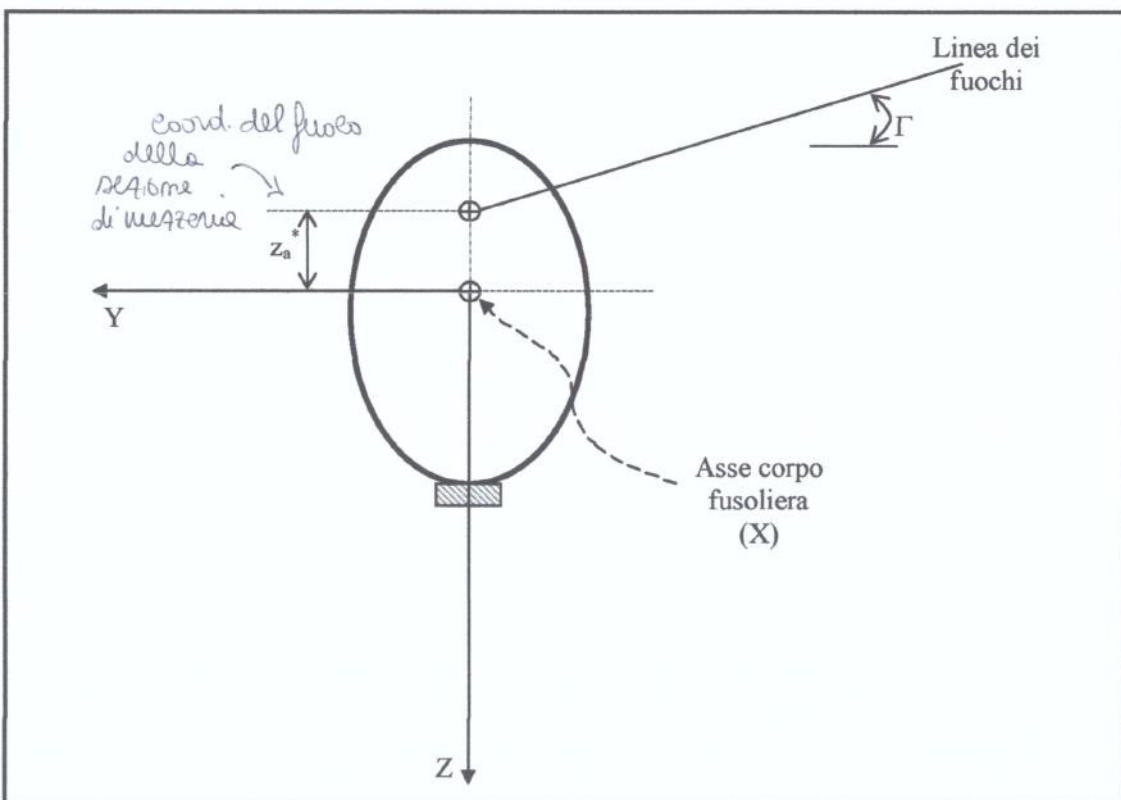
Di seguito vengono fornite le viste (trittico in scala 1:50 circa) e i dati relativi all'aliante monoposto d'addestramento N° 73, oltre alcuni richiami teorici utili allo svolgimento dell'esercitazione relativa a questo velivolo.

Velivolo completo		
Peso a vuoto	(Empty weight)	$W_e = 190 \text{ Kg}$
Peso totale	(Total weight)	$W = 246 \div 300 \text{ Kg}$
Carico alare	(Wing loading)	$\frac{W}{S} = 19.5 \div 23.8 \frac{\text{Kg}}{\text{m}^2}$
Posizioni estreme del baricentro riferite alla corda media aerodinamica c		$\frac{X_G}{c} = 0.365 \div 0.205$
		$\frac{Z_G}{c} \approx 0$ (si trascura il wing drag term)

Ala (wing)		
Apertura	(Wing span)	$b = 15 \text{ m}$
Superficie	(Wing surface)	$S = 12.6 \text{ m}^2$
Allungamento	(Wing aspect ratio)	$A = 17.85$
Coeff. di portanza massimo	(Wing max lift coefficient)	$C_{L_{max}} = 1.35$
Calettamento	(Wing setting)	$i_w = 8.5^\circ$ (tra direzione di portanza nulla ala e asse longitudinale X)
Coefficiente di momento focale	(Zero lift moment coefficient)	$C_{M0_w} = -0.109$ ($0^\circ \leq \alpha_w \leq 10^\circ$)
Coefficiente di resistenza	(Zero lift drag coefficient)	$C_{D0_w} = 0.0076$ (Per $C_{Lw} = 0$)
Curva interpolatrice della polare	$C_D = C_{D0} + K * C_L^x$	$C_{Dw} = 0.0076 + 0.0199 * C_{Lw}^{(2.35)}$
Diedro	(Wing dihedral)	$(0.15 < C_{Lw} < 1.3)$
Freccia della linea dei fuochi	(Sweep of quarter-chord line)	$\Gamma = 1.5^\circ$
Coefficiente angolare di portanza	(Wing lift curve slope)	$\Lambda = -1.37^\circ$
Corda della sezione di mezzeria	(Wing root centerline chord)	$a_w = \frac{C_{l\alpha}}{1 + \frac{C_{l\alpha}}{\pi \lambda}} = 5.615 \text{ rad}^{-1}$
Corda di estremità	(Wing tip chord)	$c_r = 1.20 \text{ m}$
Rapporto di rastremazione (ala monotrapezia)	(Wing taper ratio)	$c_t = 0.48 \text{ m}$
Posizione del fuoco del profilo di mezzeria rispetto al riferimento X, asse corpo fusoliera	(straight tapered wing)	$r = \frac{c_t}{c_r} = 0.4$
Profilo alare, costante lungo tutta la superficie	(Wing section)	$z_a^* = -0.36 \text{ m}$
		Wortman FX-61184



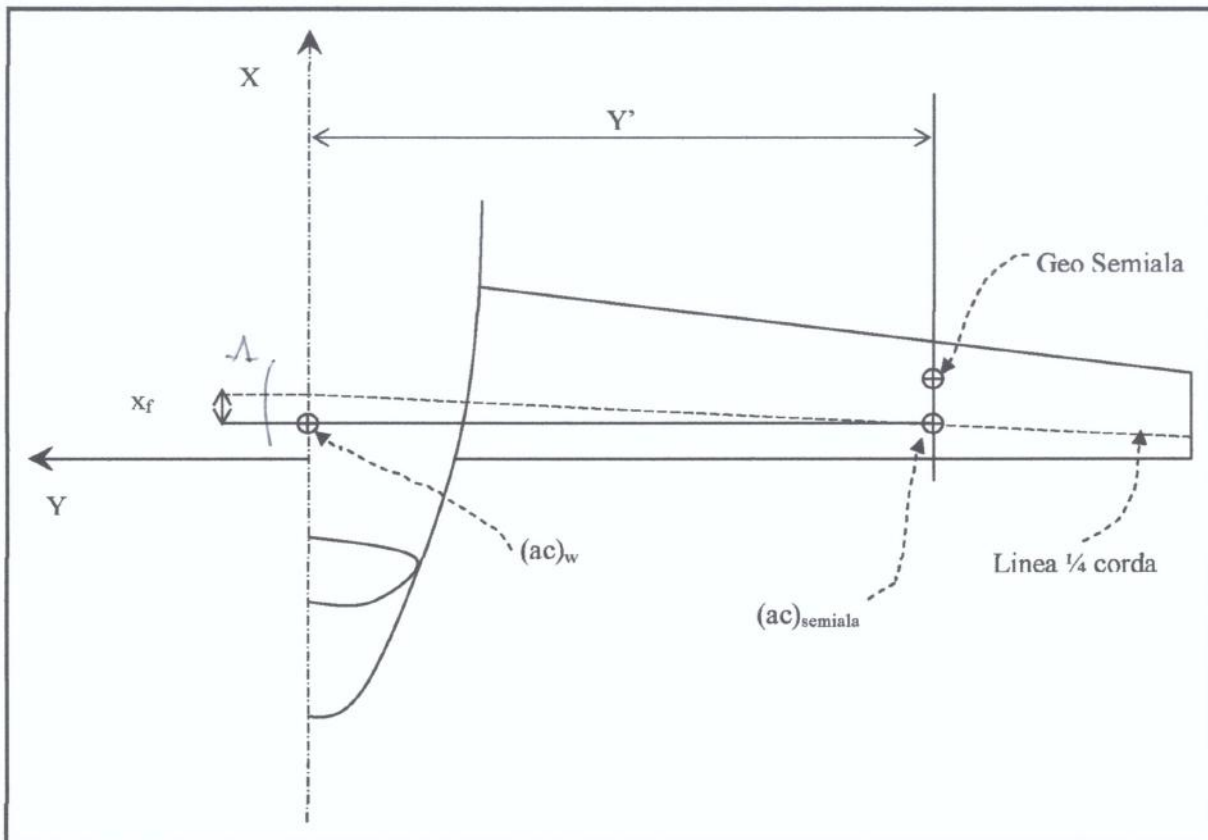
N.B. i_w e i_t sono volutamente esagerati



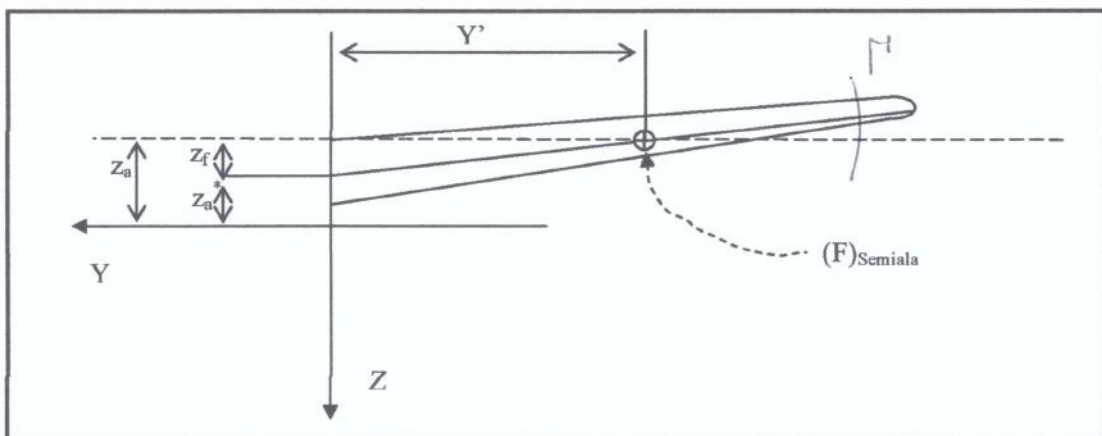
L'asse X è conveniente sia prossimo alla direzione di momento nullo sulla fusoliera

Breve richiamo sul calcolo della posizione del fuoco dell'ala

Se l'ala è trapezia, pluritrapezia ed ellittica con profilo costante, il C_{la} è costante lungo l'apertura e quindi il fuoco si trova sulla corda baricentrica (si parla ovviamente di baricentro geometrico).



L' $(ac)_w$ si trova sulla congiungente dei fuochi delle due semiali nel piano Z-X .



Report sperimentaliali

La fusoliera può essere assimilata ad un corpo fusiforme che, immerso in una corrente, è soggetto a forze aerodinamiche che, come per l'ala, si possono ridurre ad una portanza, una resistenza e un momento di beccheggio, limitandosi al piano longitudinale. Tuttavia, quando si analizzano ala e fusoliera insieme, non basta considerare il principio di sovrapposizione degli effetti, poiché si manifestano fenomeni di interferenza in grado, addirittura, di stravolgere i risultati della sovrapposizione. L'ala, infatti, influenza il campo di flusso attorno alla fusoliera e viceversa. Gli effetti dell'aggiunta della fusoliera all'ala possono essere ridotti ai quattro di seguito riportati:

- spostamento in avanti del centro aerodinamico ;
- incremento del coefficiente angolare di portanza ;
- incremento del coefficiente di momento di beccheggio C_{m_0} ;
- diminuzione dell'incidenza complessiva rispetto a quella dell'ala isolata, a causa del raddrizzamento dei filetti fluidi.

Nell'analisi in questione, l'ultimo effetto viene ritenuto trascurabile. L'incremento del coefficiente angolare di portanza è valutato sommando i coefficienti angolari di ala e fusoliera isolate, riportando quest'ultimo alla superficie di riferimento S :

$$C_{L_{a_{ab}}} = C_{L_{a_w}} + C_{L_{ufiso}} \frac{S_f}{S}$$

I rimanenti due effetti sono valutati sperimentalmente mediante i diagrammi riportati in *report sperimentaliali* della NASA, poiché non è possibile una trattazione analitica di tali effetti.

In figura si trova diagrammato il termine Δx_a dello spostamento del centro aerodinamico. Il punto neutro del velivolo è definito come il punto nel piano di simmetria per il quale il coefficiente di momento di beccheggio risulta indipendente dalla variazione dell'angolo di incidenza. Il valore dello spostamento, dovuto alla presenza della fusoliera, di tale punto è dato in funzione delle dimensioni e della posizione della fusoliera stessa rispetto all'ala. Altri parametri, comunque, hanno influenza su questo spostamento, tra i quali i più importanti sono il volume della fusoliera posto davanti all'ala e il coefficiente angolare di portanza dell'ala: essi fanno sì che il punto neutro si sposti ulteriormente in avanti. Anche la configurazione del velivolo influisce significativamente: si riscontrano variazioni pari a circa il 5% al di sopra o al di sotto del valore ottenuto per ala bassa e ala alta, rispettivamente. In conclusione, il gran numero di parametri da cui la grandezza dipende porta ad una inaccuratezza dei valori forniti dalle curve di ± 0.01 volte la corda media geometrica dell'ala.

Il diagramma riporta risultati validi sia per la fusoliera che per le gondole motrici: il velivolo in esame presenta una "fusoliera a *nacelle*" non tradizionale, ma assimilabile ad una gondola motrice, per cui è attendibile l'utilizzo di tali dati.

Note le caratteristiche geometriche del velivolo in questione, si effettua un procedimento iterativo che prevede, in prima battuta, la ricerca della curva da utilizzare in base al parametro $\frac{l_N}{l}$ (distanza dalla prua della fusoliera del quarto anteriore della corda di radice dell'ala sulla lunghezza della fusoliera), e poi l'interpolazione sull'ascissa $\frac{c_{radice}}{l}$. Ricavata l'ordinata, si risale, infine, al valore di Δx_a , che andrà sommato algebricamente alla posizione del centro aerodinamico dell'ala isolata.

In ordinata è riportato il termine $-\Delta h_n \left(\frac{\bar{S}c}{wc^2} \right)$ dove i termini sono:

$-\Delta h_n$ = spostamento del punto neutro dovuto alla presenza della fusoliera espresso come
frazione della corda media aerodinamica.

S = superficie alare in pianta

\bar{c} = corda media geometrica

w = massima larghezza della fusoliera (o nacelle)

c = corda di radice

Nella figura sottostante viene diagrammato ΔC_{m_0} , incremento al coefficiente di momento di beccheggio ad incidenza di portanza nulla, da attribuire alla presenza della fusoliera. I dati presentati si riferiscono a corpi caratterizzati da una sezione trasversale circolare o quasi e con l'ala posizionata a metà della fusoliera. È necessario, pertanto, tener conto di effetti addizionali dovuti a diverse posizioni alari: occorre sommare al valore ottenuto dal diagramma un termine dell'ordine di 0.004, con segno positivo per ala alta e negativo per ala bassa.

Il procedimento di interpolazione che porta a ΔC_{m_0} è analogo a quello seguito per lo spostamento del fuoco. Il valore ottenuto verrà sommato algebricamente al coefficiente di momento di beccheggio per incidenza di portanza nulla dell'ala isolata, dando origine al termine $C_{m_{0wb}}$ del coefficiente di momento di beccheggio complessivo del velivolo.

ERETAZIONE 1

Richiami teorici

POLARE TEORIA DI PRANDTL \rightarrow resistenza indotta

$$\text{Ala ellittica: } C_D = C_{D_0} + \frac{C_L^2}{\pi \lambda}$$

\hookrightarrow resistenza di forma

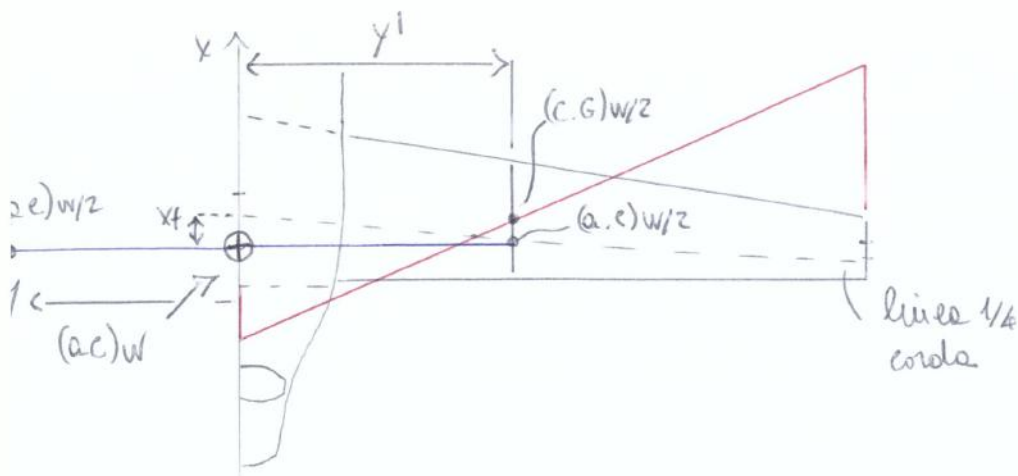
$$\text{Ala non ellittica: } C_D = C_{D_0} + \frac{C_L^2}{\pi \lambda} i + K C_L^2$$

$$= C_{D_0} + \frac{C_L^2}{\pi \lambda} (i + K \pi \lambda) = C_{D_0} + \frac{C_L^2}{e \pi \lambda} \quad \text{com } e = \frac{1}{i + K \pi \lambda}$$

fattore di
Ostwald

CALCOLO POSIZIONE FUOCO DELL'ALA

- Per ali tropie e pluritropie le corde bericentriche coincidono con le corde medie per dimensione
- Per ali tropie, pluritropie ed ellittiche, l'(a,e)_{w/z} giace nel punto interiore delle corde bericentriche



$$X_f = Y' \tan \Lambda$$

① COEFFICIENTI AERODINAMICI E PUNTO NEUTRO

- Traettore su un mio diagramma le curve $C_{M_G} - C_{Lwb}$ per il polo complesso alle fusoliera per le 5 posizioni del baricentro $x_{G/e} = 0.205, 0.285, 0.365, 0.445, 0.525$

$$C_{M_G} = C_{M_{0wb}} + C_{Lwb} \left(\frac{x_G - x_a}{c} \right) \quad \text{con} \quad C_{M_{0wb}} = -0.125$$

$$C_{Lwb} = \alpha_{wb} \delta_{wb} \quad x_a/c = 0.216$$

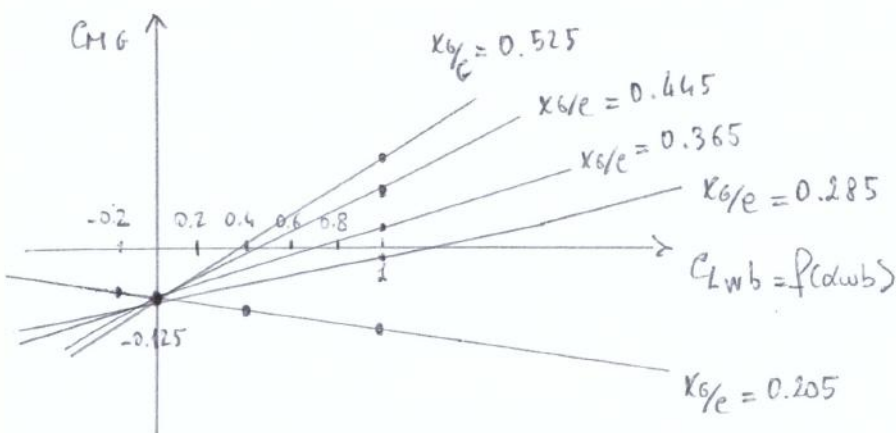
Osserviamo che $C_{Lwb} = 1.35$ (riflessione di C_{Lwb} nello stesso) $\Rightarrow \alpha_{wb} = \frac{C_{Lwb\max}}{\max} = 0.24$ rad

\Rightarrow fino a 13.8° la curva $C_{Lwb} - \alpha_{wb}$ avrà un andamento lineare, poiché α_{wb} è approssimato dalla polare 'quadratica'

Allora:

$$\begin{aligned} x_{G/e} & \quad C_{M_G} = f(C_{Lwb}) \\ 0.205 & \rightarrow C_{M_G} = -0.125 + C_{Lwb} (-0.011) \\ 0.285 & \rightarrow C_{M_G} = -0.125 + C_{Lwb} (0.069) \\ 0.365 & \rightarrow C_{M_G} = -0.125 + C_{Lwb} (0.149) \\ 0.445 & \rightarrow C_{M_G} = -0.125 + C_{Lwb} (0.229) \\ 0.525 & \rightarrow C_{M_G} = -0.125 + C_{Lwb} (0.309) \end{aligned}$$

C_{M_G}					
C_{Lwb}	x_{G1}	x_{G2}	x_{G3}	x_{G4}	x_{G5}
-0.2	-0.1228	-0.1388	-0.1548	-0.1708	-0.1868
0.0	-0.125	-0.125	-0.125	-0.125	-0.125
0.4	-0.1294	-0.0374	-0.0654	-0.0334	-0.0014
1	-0.136	-0.056	0.024	0.104	0.184



Per la posizione $x_{G/e} = 0.205$, che è anteriore al punto neutro del complesso alle fusoliera (fuoco del complesso alle fusoliera) l'aliante potrebbe in teoria volare in volo rovescio (ma l'incidenza è troppo negativa) in equilibrio statico.

In tutte le altre posizioni $x_{G/e} \rightarrow$ EQUILIBRIO INSTABILE \Rightarrow è bene avere il TAIL

- . Ricavare il CMG in funzione di α per le seguenti posizioni del baricentro
 $X_G/c = 0.205, 0.285, 0.365, 0.445, 0.525$ e valutare i corrispondenti valori
di $C_{H\alpha}$

$$C_{H6} = C_{H0wb} + C_L \frac{X_G - X_a'}{c} - C_L t \bar{V} + \underbrace{\frac{\partial C_{Hf}}{\partial \alpha} \alpha}_{0} + \rho_{Hf} \alpha$$

$$C_L t = \alpha t \left[\alpha_{wb} \left(1 - \frac{\partial \epsilon}{\partial \alpha} \right) - i \right]$$

$$C_{H6} = C_{H0wb} + \alpha t \frac{X_G - X_a'}{c} - \alpha t \bar{V} \left[\alpha_{wb} \left(1 - \frac{\partial \epsilon}{\partial \alpha} \right) - i \right]$$

$$\alpha t \alpha = \alpha_{wb} (1+F) - \frac{St}{S} \alpha + i \rightarrow \alpha_{wb} = \alpha + \frac{St}{S} \frac{\alpha + i}{\alpha}$$

$$C_{H6} = C_{H0wb} + \alpha \alpha \frac{X_G - X_a'}{c} - \alpha t \bar{V} \left[\left(\alpha + \frac{St}{S} \frac{\alpha + i}{\alpha} \right) \left(1 - \frac{\partial \epsilon}{\partial \alpha} \right) - i \right] =$$

$$= C_{H0wb} + \alpha \left[\alpha \frac{X_G - X_a'}{c} - \alpha t \bar{V} \left(1 - \frac{\partial \epsilon}{\partial \alpha} \right) \right] - \frac{St}{S} \frac{\alpha t}{\alpha} \left(1 - \frac{\partial \epsilon}{\partial \alpha} \right) \alpha t \bar{V} i + \alpha t \bar{V} i$$

$$C_{H0} = C_{H0wb} - \alpha t \bar{V} i \left[\frac{St}{S} \frac{\alpha t}{\alpha} \left(1 - \frac{\partial \epsilon}{\partial \alpha} \right) - 1 \right] = C_{H0wb} + \frac{\alpha t \bar{V} i}{1+F}$$

$$C_{H\alpha} = \alpha \left[\frac{X_G}{c} - \underbrace{\frac{X_a'}{c} - \frac{\alpha t \bar{V} \left(1 - \frac{\partial \epsilon}{\partial \alpha} \right)}{\alpha}}_{-0.50883} \right]$$

$$\left. \begin{array}{l} \bar{V} = \frac{St}{Sc} l_t = 0.501 \\ C_{H0wb} = -0.125 \\ i = 0.183 \text{ radol} \end{array} \right\} \rightarrow C_{H0} = 0.876$$

$$C_{H6} = C_{H0} + C_{H\alpha} \alpha$$

$$(radol) 0.087 = 5$$

$$(radol) 0.1765 = 10$$

α	X_{G1}	X_{G2}	X_{G3}	X_{G4}	X_{G5}
$C_{H\alpha}$					
-1.843	-1.357	-0.8725	-0.387	0.0376	
C_{H6}					
0	0.276	0.276	0.276	0.276	0.276
0.115	0.1575	0.1998	0.242	0.2845	
-0.0456	0.0392	0.1237	0.2084	0.2930	

② DETERMINAZIONE DELLE CONDIZIONI DI EQUILIBRIO

- Se un diegrame nero avente pendenza α , riportare le curve C_L e C_M punteggiando quest'ultime con i valori C_{dep} , per le due posizioni del baricentro $X_G/C = 0.205$ e $X_G/e = 0.365$

$$C_L = C_{Ld}\alpha + C_{LS} \delta$$

$$C_M = C_{Mo} + C_{Md}\alpha + C_{Ms} \delta$$

$$C_L = C_{Lwb} + \frac{St}{S} C_{Lt} \rightarrow C_{LS} = \frac{\partial C_{Lwb}}{\partial S} + \frac{St}{S} \frac{\partial C_{Lt}}{\partial S} = \frac{\partial C_{Lwb}}{\partial S} + \frac{St}{S} \alpha \tilde{V} \approx 0.3602 \text{ Nm}^{-1}$$

$$C_M = C_{Mo} + C_{Md} \frac{X_G - X_a}{c} - C_{Mt} \tilde{V} + \frac{\partial C_{Mp}}{\partial \alpha} \alpha + C_{Ms} \delta$$

$$C_{Ms} = \frac{\partial C_{Mwb}}{\partial S} + C_{Ms} \frac{X_G - X_a}{c} - \alpha \tilde{V} \approx 0 \quad \text{e dipendente da } X_G/e$$

All'equilibrio:

$$\begin{cases} C_{Ld} \delta_{dep} + C_{LS} \delta_{sep} = C_{eq} \\ C_{Md} \delta_{dep} + C_{Ms} \delta_{sep} = -C_{Mo} \end{cases}$$

$$\delta_{sep} = -\frac{C_{Mo}}{C_{Ms}} - \frac{C_{Md} \delta_{dep}}{C_{Ms}} \rightarrow C_{Ld} \delta_{dep} + C_{LS} \left(-\frac{C_{Mo}}{C_{Ms}} - \frac{C_{Md} \delta_{dep}}{C_{Ms}} \right) = C_{eq}$$

$$\underbrace{\delta_{dep} \left(C_{Ld} - \frac{C_{LS} C_{Md}}{C_{Ms}} \right)}_{\Delta} = \frac{C_{Mo} C_{LS}}{C_{Ms}} + C_{eq}$$

$$\Rightarrow \delta_{dep} = \frac{C_{Mo} C_{LS}}{\Delta} + \frac{C_{Ms} C_{eq}}{\Delta}$$

$$\begin{aligned} \Delta &= C_{Ld} C_{Ms} - C_{LS} C_{Md} = C_{Ld} C_{LS} \frac{X_G - X_a}{c} - C_{Ld} \delta_{dep} \tilde{V} - \frac{St}{S} \alpha \tilde{V} C_{Ld} \frac{X_G - X_N}{c} = \\ &= C_{LS} C_{Ld} \frac{X_N - X_a}{c} - C_{Ld} \delta_{dep} \tilde{V} = -7.9846 \end{aligned}$$

Si può operare una escursione dell'equilibratore molto stabile rispetto verso valori positivi.

Potiamo fare le seguenti considerazioni:

$$\Delta t = \alpha_{wb} \left(1 - \frac{\partial E}{\partial \alpha} \right) - i_{wb} + i_t + \gamma \zeta_{eq}$$

$$\left(\Delta t = \alpha_{wb} - i_{wb} - E + i_t, E = \frac{E_0 + \frac{\partial E}{\partial \alpha} \alpha_{wb}}{0} \right)$$

con un certo ΔS_{eq} necessario per arrivare all'equilibrio a un certo C_{eq} , si deriva un certo Δt sul piano orizzontale

A partire da Δt , poniamo varicare il collettamento del tail in modo da avere un differente angolo dell'equilibratore:

$$\Delta t = \alpha_{wb} \left(1 - \frac{\partial E}{\partial \alpha} \right) - i_{wb} + i_t + \underbrace{\Delta i_t}_{\text{correzione}} + \gamma \zeta_{eq} + \tilde{\gamma} \Delta S$$

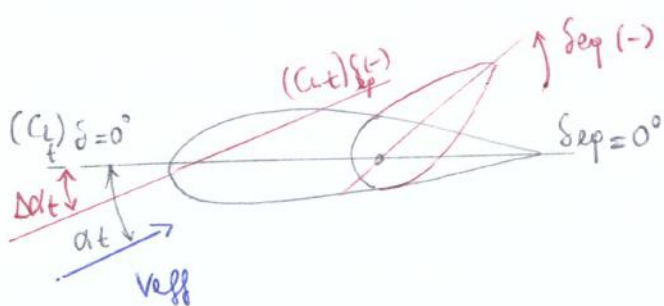
\rightarrow rapportamento escursione angolo dell'equilibratore

$$\Rightarrow \Delta i_t = - \tilde{\gamma} \Delta S$$

$$\Delta S = - \frac{\Delta i_t}{\tilde{\gamma}}$$

per avere un ΔS negativo Δi_t deve essere positivo e viceversa

Prendiamo la posizione $X/c = 0.365$, al $C_L \approx 1.9$:



In tal caso, per $C_L \approx 1.9$ avremmo un $Sep = 0^\circ$. Ci piacerebbe però avere un Sep negativo, in modo da ottimizzare meglio l'ostensione dell'equilibratore, per cui, per ottenere tale risultato, varieremo il collettamento del tail di una quantità $\Delta i_t = -\tilde{\gamma} S$.

ATTENZIONE: lo rapportamento dell'

escursione dell'angolo dell'equilibratore non deve essere eccessivamente elevato, perché se necessario dobbiamo comunque avere un'escursione sufficiente a far saltare il velivolo e raggiungere tutti i punti del diagramma di manovra

Traeziere le curve $S_{ep} = f(V_i)$

$$S_{ep} = - \frac{C_{Lep} C_{L\alpha}}{\Delta} - \frac{C_{L\alpha}}{\Delta} \frac{x_G - x_N}{c} C_{L\alpha}$$

Osserviamo che i grafici vengono richiesti con le V_i poiché, supponendo l'andamento di variazioni di posizione, date le velocità moderate non si avranno effetti legati alle complessità $\Rightarrow V_i = V_e = V$

$C_{Lep} = \frac{2W/S}{\rho V_i^2} \rightarrow$ Tale relazione deriva da $L = W$ ed è un'approssimazione, in quanto l'aereo vola sicuramente su una traiettoria discendente, allora:

$$L = W \cos \gamma$$

VELOCITÀ LIMITE:

, Velocità max: $\left\{ \begin{array}{l} V_{NE1} = V_0 \cdot 0.9 \text{ con } V_0 = 250 \text{ Km/h} = 69,44 \text{ m/s} \\ \text{(conseguente da regolamento)} \\ V_{NE2} = 0.95 \cdot V_{DF} \text{ con } V_{DF} = V_0 \text{ in flight, raggiunta} \\ \text{durante i test di volo preliminari} \end{array} \right.$

Poiché non disponiamo delle V_{DF} $\rightarrow V_{max} = V_{NE} = \min \{V_{NE1}, V_{NE2}\}$

$$\Rightarrow V_{NE} = V_{NE2}$$

, Velocità minima: funzione di C_{Lmax} e W

$$\left\{ \begin{array}{l} \text{POSIZIONE PIÙ AVANZATA: } x_G/c = 0.205 \rightarrow W_{max} = 300 \text{ Kg (} W_{ew} + 110 \text{ Kg)} \\ \text{POSIZIONE INTERMEDIA: } x_G/c = 0.285 \rightarrow W_{interm} = 273 \text{ Kg ((} W_{max} + W_{min})/2\text{)} \\ \text{POSIZIONE PIÙ ARRETRATA: } x_G/c = 0.365 \rightarrow W_{min} = 246 \text{ Kg (} W_{ew} + 56 \text{ Kg)} \\ \text{e tutte le altre} \end{array} \right.$$

In teoria, il regolamento richiede di sudare a verificare per le posizioni estreme del baricentro, sia il peso massimo che quello minimo.

- Calcolare le posizioni del punto neutro x_{neutro}^i e comandi liberi

$$C_{M\alpha} = \alpha' \frac{x_0 - x_N}{c} \rightarrow \frac{x_0 - x_N}{c} = \frac{C_{M\alpha}}{\alpha'}$$

$$C_L' = C_{L\alpha} \alpha + C_{Lg} S_{float}, \quad S_{float} = -\frac{1}{b_2} (C_{T0} + C_{T\alpha} \alpha + b_3 S_{Tab})$$

$$C_2' = \alpha \left(C_{12} - \frac{C_{12}\alpha}{b_2} \right) - \frac{1}{b_2} \left(C_{H_0} + b_3 S_{Tob} \right)$$

$$\alpha' = \frac{\partial C_i'}{\partial \alpha} = C_{i\alpha} \left(1 - \frac{C_{i\alpha}}{b_2 C_{i\alpha}} \right)$$

$$C_{H\alpha} = C_{\alpha} \frac{x_G - x_N}{c}$$

$$C_{Hg}' = C_{Mo} + C_{Mo}\alpha + C_{Hg}S_{fbat} = C_{Mo} + \alpha \left(C_{Mo} - \frac{C_{Hg} S_{fbat}}{b_2} \right) - \frac{1}{b_2} \left(C_{Mo} + b_3 S_{fbat} \right)$$

$$C_{H\alpha}' = C_{M\alpha} - \frac{C_{NS} C_{H\alpha}}{b_2}$$

$$\Rightarrow \frac{X_G - X_N}{c} = \frac{1}{a'} \left(C_{H\alpha} - \frac{C_{HS} C_{H\alpha}}{b_2} \right) = \frac{1}{a'} \left(a \frac{X_G - X_N}{c} - \frac{C_{HS} C_{H\alpha}}{b_2} \right)$$

$$G_{HS} = C_{LS} \frac{x_G - x_D}{S} - \alpha + \gamma V$$

$$\Rightarrow \frac{X_G - X_N}{C} = \frac{Q}{C} - \frac{X_G - X_N}{C} - \frac{C_{HS} C_{H\alpha}}{a^1 b_2} \frac{X_G - X_{\alpha'}}{C} + \frac{Q t \tilde{C}}{a^1 b_2} \sqrt{C_{H\alpha}} =$$

$\frac{X_{\alpha'}}{e} = \frac{X_{\alpha'} - X_N + X_N}{C}$

$$= \frac{X_G}{C} \left(\frac{\frac{e}{a'} - \frac{C_{LS} C_{HT\alpha}}{a' b_2}}{e} \right) - \frac{e}{a'} \frac{X_N}{e} + \frac{C_{LS} C_{HT\alpha}}{a' b_2} \frac{X_a'}{e} + \frac{e e \bar{V} C_{HT\alpha}}{a' b_2} =$$

$$= \frac{X_G}{C} - \frac{X_N}{c} \left(\frac{\alpha}{\alpha'} - \frac{C_{LS} C_{H\alpha}}{\alpha' b_2} \right) + \frac{C_{LS} C_{H\alpha}}{\alpha' b_2} \frac{X_{\alpha'} - X_N}{c} + \frac{Q_e \bar{V}_{CH\alpha}}{\alpha' b_2} =$$

$$= \frac{X_G}{C} - \frac{X_N}{C} + \frac{C_{IS}(t+\alpha)}{c' b_2} \frac{X_G^t - X_N^t}{C} + \frac{Q_t e^{\bar{V}}}{c' b_2} C_{t+\alpha}$$

$$\Rightarrow \frac{X_N'}{C} = \frac{X_N}{C} - \frac{C_L S C_{H\alpha}}{a^1 b_2} \frac{X_A' - X_N'}{C} - \frac{\alpha e^{-V} C_{H\alpha}}{a^1 b_2}$$

$$\left\{ \begin{array}{l} C_{15} = Q + \bar{V} \frac{S_t}{S} = \frac{S_t Q}{S} e \\ C_{16} = \frac{b}{1} \left(1 - \frac{\partial E}{\partial x} \right) \end{array} \right.$$

• Trovare le curve $(S_{\text{trob}}^{\text{trin}}, C_{\text{eq}})$ e $(S_{\text{trob}}^{\text{trin}}, V_{\text{sep}})$ per le seguenti posizioni del broncicentro:

$$X_G = 0.205, 0.285, 0.365, 0.445, 0.525.$$

$$C_H = C_{H_0} + C_{H\alpha} \alpha_{\text{eq}} + b_2 S_{\text{eq}} + b_3 S_{\text{trob}} \text{ all'equilibrio}$$

$$S_{\text{trob}} \rightarrow S_{\text{trob}}^{\text{trin}} \Rightarrow C_H = 0$$

$$S_{\text{trob}}^{\text{trin}} = -\frac{1}{b_3} \left(C_{H_0} + C_{H\alpha} \alpha_{\text{eq}} + b_2 S_{\text{eq}} \right)$$

Determiniamo $\alpha_{\text{eq}}, S_{\text{eq}}$:

$$\begin{cases} C_{L\alpha} \alpha_{\text{eq}} + C_{L\beta} S_{\text{eq}} = C_{L\text{eq}} \\ C_{M\alpha} \alpha_{\text{eq}} + C_{M\beta} S_{\text{eq}} = -C_{M_0} \end{cases} \rightarrow S_{\text{eq}} = -\frac{C_{M_0}}{C_{M\beta}} - \frac{C_{M\alpha}}{C_{M\beta}} \alpha_{\text{eq}}$$

$$C_{L\alpha} \alpha_{\text{eq}} - \frac{C_{M_0} C_{L\beta}}{C_{M\beta}} - \frac{C_{M\alpha} C_{L\beta}}{C_{M\beta}} \alpha_{\text{eq}} = C_{L\text{eq}}$$

$$\underbrace{\alpha_{\text{eq}} \left(C_{L\alpha} - \frac{C_{M_0} C_{L\beta}}{C_{M\beta}} - \frac{C_{M\alpha} C_{L\beta}}{C_{M\beta}} \right)}_{\Delta / C_{M\beta}} = C_{L\text{eq}} + \frac{C_{M_0} C_{L\beta}}{C_{M\beta}} \rightarrow \alpha_{\text{eq}} = \frac{C_{M_0} C_{L\beta}}{\Delta} + \frac{C_{M\beta}}{\Delta} C_{L\text{eq}}$$

$$S_{\text{eq}} = -\frac{C_{M_0} C_{L\alpha}}{\Delta} - \frac{C_{M\alpha}}{\Delta} C_{L\text{eq}}$$

Sostituendo:

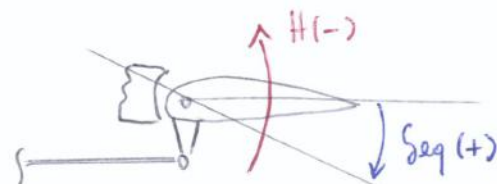
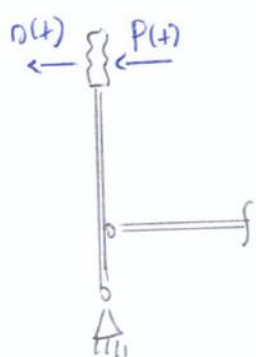
$$\begin{aligned} S_{\text{trob}}^{\text{trin}} &= -\frac{1}{b_3} \left[C_{H_0} + C_{H\alpha} \left(\frac{C_{M_0} C_{L\beta}}{\Delta} + \frac{C_{M\beta}}{\Delta} C_{L\text{eq}} \right) + b_2 \left(-\frac{C_{M_0} C_{L\alpha}}{\Delta} - \frac{C_{M\alpha}}{\Delta} C_{L\text{eq}} \right) \right] = \\ &= -\frac{1}{b_3} \left[C_{H_0} + \frac{C_{H\alpha} C_{M_0} C_{L\beta}}{\Delta} - b_2 \frac{C_{H\alpha} C_{M\alpha}}{\Delta} + \left(\frac{C_{H\alpha} C_{M\beta}}{\Delta} - b_2 \frac{C_{M\alpha}}{\Delta} \right) C_{L\text{eq}} \right] = \\ &= -\frac{1}{b_3} \left[C_{H_0} + \frac{C_{M_0}}{\Delta} \left(C_{H\alpha} C_{L\beta} - b_2 C_{M\alpha} \right) + \frac{1}{\Delta} \left(C_{H\alpha} C_{M\beta} - b_2 C_{M\alpha} \right) C_{L\text{eq}} \right] \end{aligned}$$

$$\frac{X_G - X_N'}{c} = \frac{C_{M\alpha}}{\alpha'} = \frac{1}{\alpha'} \left(C_{M\alpha} - \frac{C_{H\alpha} C_{M\beta}}{b_2} \right) \rightarrow C_{H\alpha} C_{M\beta} - b_2 C_{M\alpha} = -\alpha' b_2 \frac{X_G - X_N'}{c}$$

$$\Rightarrow S_{\text{trob}}^{\text{trin}} = -\frac{1}{b_3} \left[C_{H_0} + \frac{C_{M_0}}{\Delta} \left(C_{H\alpha} C_{L\beta} - b_2 C_{M\alpha} \right) - \frac{\alpha' b_2}{\Delta} \frac{X_G - X_N'}{c} C_{L\text{eq}} \right]$$

4) SFORZI DI BARRA E PUNTI DI MANOVRA

- . Per le posizioni del boccaporto $x_G/c = 0.285$ tracciare le curve relative allo sforzo di barra P in funzione di V_i , riportando le seguenti velocità di trimaggio: 20, 30, 40 m/s



$$G = 2,5 \text{ rad/m}$$

$$V_i = V \sqrt{\frac{e}{\rho_0}}$$

$\hookrightarrow V_i = V_c = V_e$ perché quote basse e velocità moderate

$$P \cdot dn = -H dS \rightarrow P = -\frac{dS}{d\alpha} H = -G H = -G c_e S e \frac{1}{2} \rho_0 V_i^2 C_H$$

$C_H = C_{H0} + C_{H\alpha} \delta_{\alpha} + b_2 S_{eq} + b_3 S_{stab}$ in una generica condizione di equilibrio

$$C_H = C_{H0} + C_{H\alpha} \delta_{\alpha} + b_2 S_{eq} + b_3 S_{stab} = 0 \quad \text{in volo trimmato}$$

$$\Rightarrow C_H = b_3 (S_{stab} - S_{stab})_{\text{trim}}$$

$$S_{stab} = -\frac{1}{b_3} \left[C_{H0} + \frac{C_{M0}}{\Delta} (C_{H\alpha} C_S - b_2 C_\alpha) - \frac{\alpha' b_2}{\Delta} \frac{x_G - x_N}{c} C_{Lep} \right]$$

$$C_H = b_3 S_{stab} + C_{H0} + \frac{C_{M0}}{\Delta} (C_{H\alpha} C_S - b_2 C_\alpha) - \frac{\alpha' b_2}{\Delta} \frac{x_G - x_N}{c} C_{Lep}$$

$$P = -G c_e S e \frac{1}{2} \rho_0 V_i^2 \left[b_3 S_{stab} + C_{H0} + \frac{C_{M0}}{\Delta} (C_{H\alpha} C_S - b_2 C_\alpha) - \frac{\alpha' b_2}{\Delta} \frac{x_G - x_N}{c} \frac{LW/S}{\rho_0 V_i^2} \right] =$$

$$= G c_e S e \frac{W}{S} \frac{\alpha' b_2}{\Delta} \frac{x_G - x_N}{c} - \frac{1}{2} \rho_0 V_i^2 G c_e S \left[b_3 S_{stab} + C_{H0} + \frac{C_{M0}}{\Delta} (C_{H\alpha} C_S - b_2 C_\alpha) \right]$$

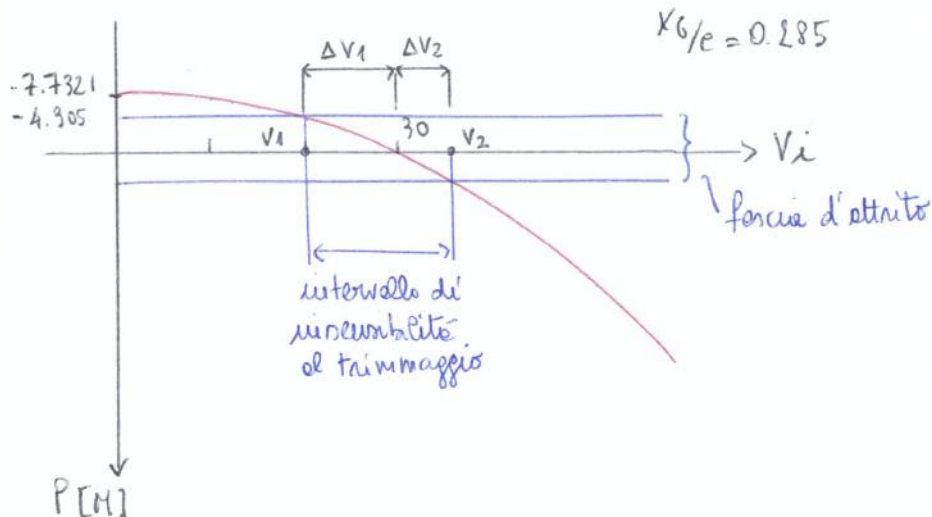
$$\Rightarrow P = P_0 + B \cdot \frac{1}{2} \rho_0 V_i^2 \quad \text{con} \quad \begin{cases} P_0 = f(x_G/c) \\ B = f(S_{stab}) \end{cases} \rightarrow \text{deve essere } B > 0$$

Considerazioni sulle forze d'attrito:

Supponiamo di considerare $\Delta P = \pm 0.5 \text{ kg}$ (forza d'attrito ritenuta costante,

quando in volo normale è, ed
aspettate)

Prendendo le curve $P = f(V_i)$
per $X_G/e = 0.285$ e $V_{trim} = 30 \text{ m/s}$, ad
esempio, si ha che:



Si osserva che
 $\Delta V_1 \neq \Delta V_2$

$$\text{Poiché } P = P_0 \left(1 - \frac{V_i^2}{V_{trim}^2} \right) \rightarrow \pm \Delta P = P_0 \left(1 - \frac{V_i^2}{V_{trim}^2} \right)$$

$$\Rightarrow V_{1-2} = V_{trim} \sqrt{1 \pm \frac{\Delta P}{P_0}} = V_{trim} \sqrt{1 \pm 0.634} \quad \begin{cases} V_1 = V_{trim} \cdot 0.604 \\ V_2 = V_{trim} \cdot 1.278 \end{cases}$$

$$\Rightarrow \boxed{\Delta V = V_{trim} \cdot 0.674 = V_2 - V_1} \quad \uparrow \text{ se } V_{trim} \uparrow$$

Riconoscendo inoltre che:

$$P = P_0 + \frac{1}{2} \rho_0 B V_i^2 \rightarrow \frac{dP}{dV} = \rho_0 B V_i$$

$$\text{in condizioni di trim } P = P_0 + \frac{1}{2} \rho_0 B V_{i,trim}^2 = 0 \Rightarrow B_{trim} = -\frac{2 P_0}{\rho_0 V_{i,trim}^2}$$

$$\Rightarrow \boxed{\left(\frac{dP}{dV} \right)_{trim} = -\frac{2 P_0}{V_{i,trim}^2}} \quad \downarrow \text{ se } V_{trim} \uparrow$$

All'aumentare di V_{trim} $\left(\frac{dP}{dV} \right)_{trim} \downarrow$ e a pari forza d'attrito aumenta l'int. di iur. al trim

- Calcolare le posizioni dei punti di manovra a comandi bloccati (X_M/c) e a comandi liberi ($X_{M'}/c$) alle quote di 0 e 8000 m e al peso intermedio e i corrispondenti valori dei gradienti $\frac{dS}{dm}$ e $\frac{dP}{dm}$ per $X_G/c = 0.205$ e $X_E/c = 0.365$. Per il gradiente $\frac{dS}{dm}$ si esegua il calcolo per le due velocità $V_i = 20 \text{ m/s}$ e $V_i = 40 \text{ m/s}$

$$\frac{X_M}{c} = \left(\frac{X_E}{c} \right) \frac{\Delta S}{\Delta m} = 0, \text{ poiché i segnali impongono } \frac{dS}{dm} < 0 \rightarrow \frac{X_E}{c} < \frac{X_M}{c}$$

Determiniamo X_M :

Riconosciamo che $\hat{q} = \frac{(C_L)_{m=1} (m-1)}{2\mu}$ con $\mu = \frac{W/q}{g_2 c^5}$

$$C_{L\alpha} \Delta \alpha + C_{L\beta} \Delta S + \frac{C_{Lq}}{2\mu} (C_L)_{m=1} (m-1) = (C_L)_{m=1} (m-1)$$

$$C_{H\alpha} \Delta \alpha + C_{H\beta} \Delta S + \frac{C_{Hq}}{2\mu} (C_L)_{m=1} (m-1) = 0$$

$$C_{L\alpha} \Delta \alpha = (C_L)_{m=1} (m-1) - C_{L\beta} \Delta S - \frac{C_{Lq}}{2\mu} (C_L)_{m=1} (m-1)$$

$$C_{H\alpha} \Delta \alpha = -C_{H\beta} \Delta S - \frac{C_{Hq}}{2\mu} (C_L)_{m=1} (m-1)$$

$$\frac{C_{L\alpha}}{C_{H\alpha}} = \frac{(C_L)_{m=1} (m-1) - C_{L\beta} \Delta S - \frac{C_{Lq}}{2\mu} (C_L)_{m=1} (m-1)}{-C_{H\beta} \Delta S - \frac{C_{Hq}}{2\mu} (C_L)_{m=1} (m-1)}$$

$$\frac{C_{L\alpha}}{C_{H\alpha}} \left(-C_{H\beta} \Delta S - \frac{C_{Hq}}{2\mu} (C_L)_{m=1} (m-1) \right) = (C_L)_{m=1} (m-1) - C_{L\beta} \Delta S - \frac{C_{Lq}}{2\mu} (C_L)_{m=1} (m-1)$$

$$\Delta S \left(C_{L\beta} - \frac{C_{L\alpha} C_{H\beta}}{C_{H\alpha}} \right) = \Delta m \left(\frac{C_{L\alpha} C_{Hq}}{2\mu C_{H\alpha}} (C_L)_{m=1} - \frac{C_{Lq}}{2\mu} (C_L)_{m=1} + (C_L)_{m=1} \right)$$

$$\frac{\Delta S}{\Delta m} = -\frac{C_{H\alpha}}{\Delta} (C_L)_{m=1} \left(\frac{C_{L\alpha} C_{Hq}}{2\mu C_{H\alpha}} - \frac{C_{Lq}}{2\mu} + 1 \right) = -\frac{(C_L)_{m=1}}{\Delta} \left[\frac{C_{L\alpha} C_{Hq}}{2\mu} + C_{L\alpha} \frac{X_E - X_N}{c} \left(1 - \frac{C_{Lq}}{2\mu} \right) \right]$$

$$\frac{\Delta C_H}{\Delta m} = - \frac{C_{H\alpha}}{C_{L\alpha}} \left(C_L \frac{\Delta \delta}{\Delta m} + \frac{(C_L)_{m=1}}{2\mu} (C_{Lq} - (C_L)_{m=1}) \right) + b_2 \frac{\Delta \delta}{\Delta m} + C_{Hq} \frac{(C_L)_{m=1}}{2\mu}$$

$$C_{L\alpha}' = a' = C_{L\alpha} \left(1 - \frac{C_{H\alpha} C_{L\delta}}{b_2 C_{L\alpha}} \right)$$

$$\frac{\Delta C_H}{\Delta m} = \frac{(C_L)_{m=1}}{2\mu C_{L\alpha}} \left(-C_{H\alpha} C_{Lq} + 2\mu C_{H\alpha}^2 C_{L\alpha} + C_{Hq} C_{L\alpha} \right) + \left(b_2 - \frac{C_{H\alpha} C_{L\delta}}{C_{L\alpha}} \right) \frac{\Delta \delta}{\Delta m}$$

$$\frac{\Delta C_H}{\Delta m} = \frac{1}{2\mu C_{L\alpha}} \left(C_{H\alpha} (2\mu - C_{Lq}) + C_{Hq} C_{L\alpha} \right) (C_L)_{m=1} + \frac{a' b_2}{C_{L\alpha}} \frac{\Delta \delta}{\Delta m}$$

$$\frac{\Delta \delta}{\Delta m} = - \frac{C_{L\alpha}}{\Delta} \left(1 - \frac{C_{Lq}}{2\mu} \right) (C_L)_{m=1} \left[\frac{X_G}{C} - \underbrace{\left(\frac{X_N}{C} - \frac{C_{Hq}}{2\mu - C_{Lq}} \right)}_{f(X_G/e)} \right]$$

$$\Rightarrow \frac{\Delta C_H}{\Delta m} = (C_L)_{m=1} \left[\frac{C_{H\alpha}}{C_{L\alpha}} \left(1 - \frac{C_{Lq}}{2\mu} \right) + \frac{C_{Hq}}{2\mu} \right] - \frac{a' b_2}{\Delta} \left(1 - \frac{C_{Lq}}{2\mu} \right) (C_L)_{m=1} \left(\frac{X_G}{C} - f \left(\frac{X_G}{C} \right) \right) = \\ = - \frac{a' b_2}{\Delta} \left(1 - \frac{C_{Lq}}{2\mu} \right) (C_L)_{m=1} \left[\frac{X_G}{C} - f \left(\frac{X_G}{C} \right) - \frac{\Delta}{a' b_2} \left(\frac{C_{H\alpha}}{C_{L\alpha}} + \frac{C_{Hq}}{2\mu - C_{Lq}} \right) \right]$$

$$\Rightarrow g \left(\frac{X_G}{C} \right) = f \left(\frac{X_G}{C} \right) + \frac{\Delta}{a' b_2} \left(\frac{C_{H\alpha}}{C_{L\alpha}} + \frac{C_{Hq}}{2\mu - C_{Lq}} \right)$$

$$\Rightarrow \frac{\Delta C_H}{\Delta m} = - \frac{a' b_2}{\Delta} \left(1 - \frac{C_{Lq}}{2\mu} \right) (C_L)_{m=1} \left[\frac{X_G}{C} - g \left(\frac{X_G}{C} \right) \right]$$

Nel punto di massima o minima liberi X'_G si trova allora della seguente relazione implicita:

$$\boxed{\left(\frac{X_G}{C} \right)' = g' \left(\frac{X_G}{C} \right) = \frac{X_{G'}}{C}}$$

$\frac{\Delta C_H}{\Delta m} = 0$

Per il calcolo del gradiente $\frac{dp}{dm}$ si ha che:

$$\frac{\Delta P}{\Delta m} = - G c e \operatorname{Se} \frac{1}{2} \rho_0 V_i^2 \frac{\Delta c_H}{m-1}$$

$$\frac{\Delta c_H}{m-1} = \frac{\Delta c_H}{\Delta m} = - \frac{a' b_2}{\Delta} \left(1 - \frac{c_{Lg}}{z\mu} \right) (c_L)_{m=1} \left[\frac{x_G}{c} - g \left(\frac{x_G}{c} \right) \right], \quad (c_L)_{m=1} = \frac{W/S}{\frac{1}{2} \rho_0 V_i^2}$$

$$\Rightarrow \frac{\Delta P}{\Delta m} = G c e \operatorname{Se} \frac{W}{S} \frac{a' b_2}{\Delta} \left(1 - \frac{c_{Lg}}{z\mu} \right) \left[\frac{x_G}{c} - g \left(\frac{x_G}{c} \right) \right]$$

Si ottiene che $\frac{\Delta P}{\Delta m}$ non dipende più delle velocità, ma solo da x_G/c e z .

Allora:

$x_G/c = 0.205$ ($W = 300 \text{ kg}$)	$x_G/c = 0.365$ ($W = 246 \text{ kg}$)
0 m	-2.4163 kg/g
8000 m	-1.8775 kg/g

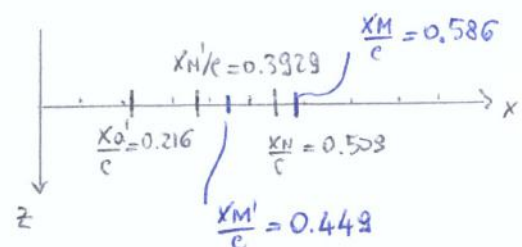
OSSERVAZIONE

Se $z \uparrow$, $e \downarrow \Rightarrow \mu = \frac{W/g}{c_L c_S} \uparrow \Rightarrow \frac{c_{Lg}}{z\mu} \downarrow \Rightarrow \left(1 - \frac{c_{Lg}}{z\mu} \right) \uparrow$

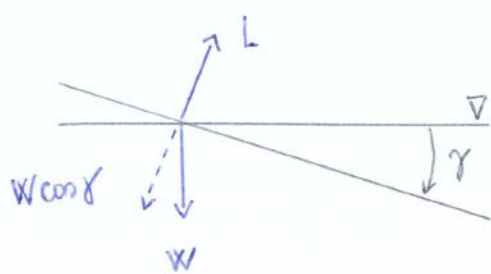
per cui sembrerebbe che $\frac{dp}{dm} \uparrow$ se $z \uparrow$

Tuttavia $\frac{dp}{dm} \downarrow$ se $z \uparrow$ poiché l'aumento del punto di marziale, che riduce le parentesi $(x_G/c - g(x_G/c))$, ha un maggior effetto sul $\frac{dp}{dm}$.

Riammenendo tutti i punti caratteristici del velivolo con un esempio, consideriamo $z = 8000 \text{ m}$ e $W = 300 \text{ kg}$.



Sono valide le approssimazioni di volo rettilineo uniforme orizzontale?



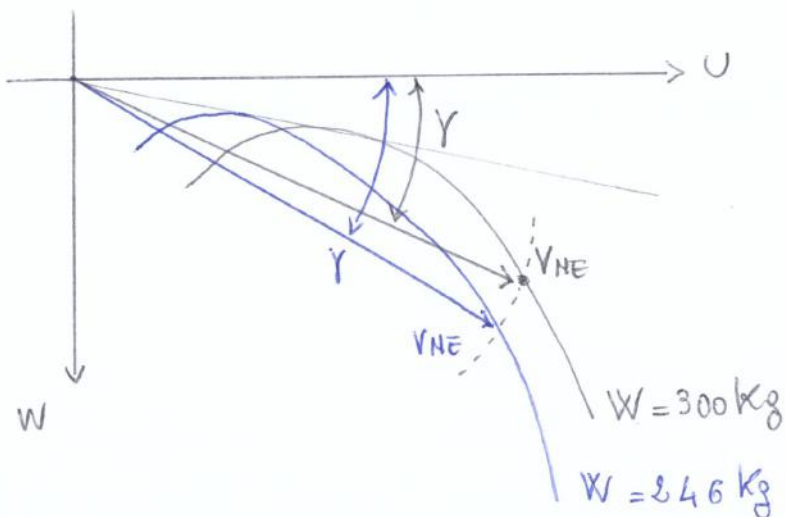
Poniamo che $V_{NE} = 62.5 \text{ m/s}$, poiché è la velocità che le ipotesi di VRUO potrebbero non essere valide

$$\begin{cases} L = W \cos \gamma \\ D = W \sin \gamma \end{cases} \rightarrow m = \frac{L}{W} = \frac{W \cos \gamma}{W} = \cos \gamma$$

$w = V \sin \gamma$, velocità di discesa

$U = V \cos \gamma$, componente orizzontale delle velocità

Trecciamo l'ODOGRAFA:



Abbiamo così ottenuto

V_{NE} = costante al variare
del peso.

A pari V , se $W \downarrow \Rightarrow \gamma \uparrow$

La variazione più cui ci si discosta maggiormente dal VRUO è al peso minimo e alla velocità massima.

Per calcolare m , abbiamo bisogno di γ , allora:

$$C_L \rightarrow C_D = 0.0076 + 0.0199 C_L^{2.35} \rightarrow E \rightarrow \gamma \rightarrow V_i \rightarrow m = \cos \gamma$$

(polare dell'aeronefte per
l'aria che per
l'aria si discosta per
de quelle del velivolo)

APPROXIMAZIONI VALIDE ✓

$$\tan \gamma = \frac{w}{V \cos \gamma} = \frac{D}{L} = \frac{1}{E}$$

$$\gamma = \arctan \left(\frac{1}{E} \right)$$

in metri:

$$\text{per } C_L = 0.097$$

$$V_i = 62.6$$

$$\Rightarrow m = 0.9969$$

Il fatto che ci sia MOTO ROTATORIO TERRESTRE + SUPERFICIE STERICA esige accelerazioni aggiuntive che devono volerle per coprire se esse siano trascurabili:

OSSERVAZIONE

Quale max considerare: $20 \text{ km} \rightarrow R$ (raggio equatoriale) = 6378 km

① ACCELERAZIONE DOVUTA ALLA ROTAZIONE TERRESTRE :

$$a_c = \omega^2 R = \left(\frac{2\pi}{24 \cdot 3600} \right)^2 6.4 \cdot 10^6 = 0.033 \text{ m/s}^2 \Rightarrow \frac{a_c}{g} \approx \frac{1}{300}$$

② ACCELERAZIONE CENTRIFUGA DOVUTA ALLA TRAIETTORIA DEL VELIVOLO :

$$a_r = \frac{v^2}{R} = \frac{550^2}{6.4 \cdot 10^6} = 0.047 \text{ m/s}^2 \Rightarrow \frac{a_r}{g} \approx \frac{1}{200}$$

$V = 550 \text{ m/s} \rightarrow \text{Concorde } M=1.8$
 $z = 20000 \text{ m}$

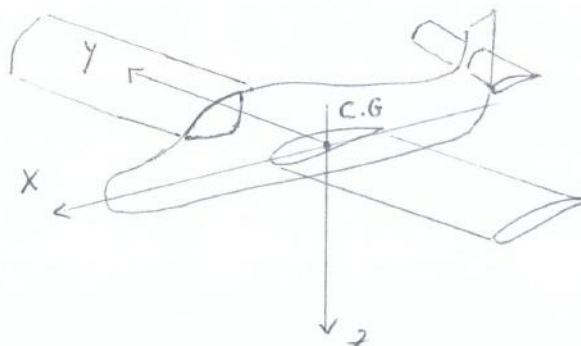
③ ACCELERAZIONE DI CORIOLIS :

$a_{COR} = 2V \wedge \omega \rightarrow a_{COR}$ è max quando $V \perp \omega$, ovvero quando il velivolo vola lungo un parallelo

$$a_{COR} = 2 \cdot 550 \cdot \frac{2\pi}{24 \cdot 3600} = 0.08 \text{ m/s}^2 \rightarrow \frac{a_{COR}}{g} \approx \frac{1}{125}$$

Tali accelerazioni possono dunque essere trascurate.

ASSI BODY



Le forme di ari body deve sicuramente essere bari centrico e avere gli assi X-Z contenuti nel piano di simmetria, con X verso il muso del velivolo.

Mel m'interessa ABe, n'ho:

\bar{v}_B = vettore velocità relativa di ABe n'rispetto a NED = $\begin{Bmatrix} u \\ v \\ w \end{Bmatrix}$

\bar{w}_B = vettore velocità di rotazione relativa di ABe n'rispetto a NED = $\begin{Bmatrix} p \\ q \\ r \end{Bmatrix}$

\bar{F}_B = vettore forze applicate

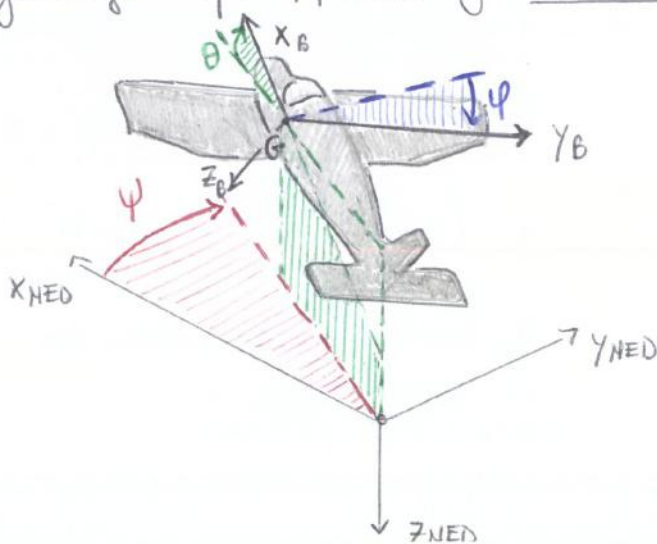
\bar{T}_B = vettore momenti applicati

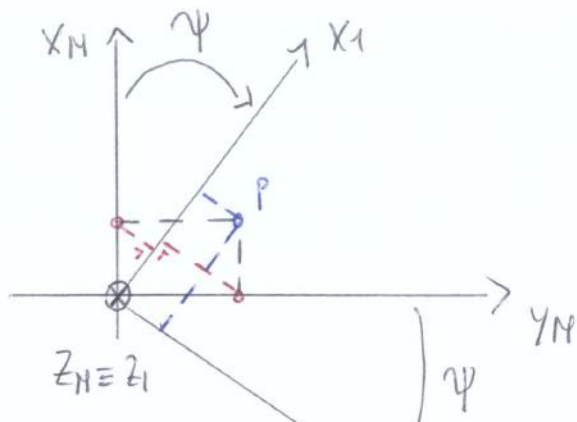
MATRICE DI ROTAZIONE B_B

Per scrivere le matrici di rotazione, in modo da PORTARE ABE A COINCIDERE CON NED si deve:

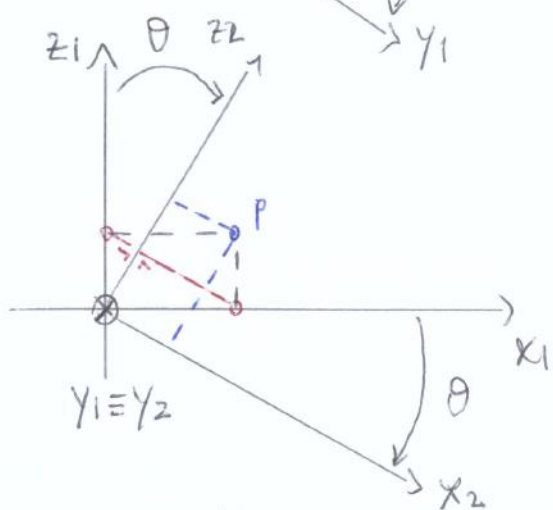
- ① ROTAZIONE ATTORNO A Z_{NED} DI $\psi > 0$ (il rif. body diventa x_1, y_1, z_{NED})
- ② ROTAZIONE ATTORNO A Y_1 DI $\theta > 0$ (x_2, y_1, z_2)
- ③ ROTAZIONE ATTORNO A X_B DI $\varphi > 0$ (x_B, y_B, z_B)

¶ In tale modo il sistema NED si porta a coincidere con il sistema ABE (come rotazioni, poi occorrebbe spostarlo nel barycentro del velivolo). Le rotazioni devono essere effettuate proprio in tale modo, e se ciò avviene gli angoli ψ, θ, φ sono gli ANGOLI DI EULERO

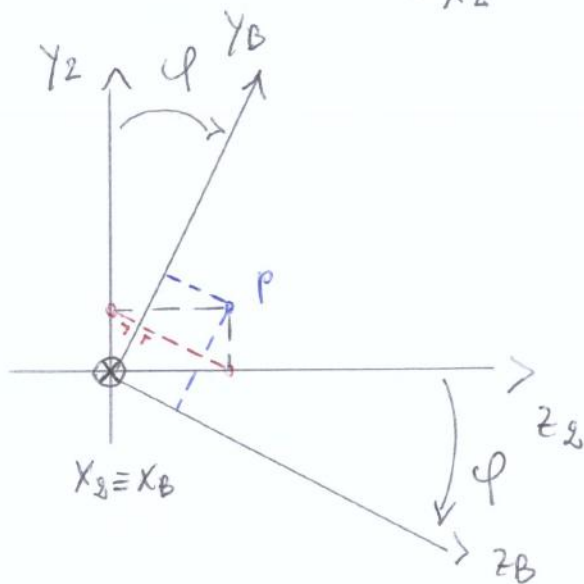




$$\begin{cases} X_1 = X_N \cos \psi + Y_N \sin \psi \\ Y_1 = -X_N \sin \psi + Y_N \cos \psi \\ Z_1 = Z_N \end{cases}$$



$$\begin{cases} X_2 = X_1 \cos \theta - Y_1 \sin \theta \\ Y_2 = Y_1 \\ Z_2 = X_1 \sin \theta + Y_1 \cos \theta \end{cases}$$



$$\begin{cases} X_B = X_2 \\ Y_B = Y_2 \cos \varphi + Z_2 \sin \varphi \\ Z_B = -Y_2 \sin \varphi + Z_2 \cos \varphi \end{cases}$$

EQUAZIONI DI EQUILIBRIO DINAMICO (corpo rigido ABE con riferimento al sistema cartesiano)

$$\vec{F}_a(a) + \vec{F}_N(N) + \vec{F}_i(i) = 0 \quad \text{equazione di equilibrio delle forze}$$

$$\vec{M}_a(a) + \vec{M}_N(N) + \vec{M}_i(i) = 0 \quad \text{equazione di equilibrio dei momenti}$$

$$\vec{M}(a) = \frac{d\vec{K}}{dt} = \vec{K} + \vec{\omega} \wedge \vec{K}$$

Il momento delle quantità di moto totale del velivolo rispetto al borigento move:

$$\vec{K} = \int_B d\vec{K} = \int_B \vec{r}_p \wedge \vec{v}_p dm = \int_B \vec{r}_p \wedge (\vec{V}_G + \vec{\omega} \wedge \vec{r}_p) dm$$

dove $\vec{r}_p = \vec{V}_G + \vec{\omega} \wedge \vec{r}_p$ è la velocità di un punto P a distanza \vec{r}_p dal borigento, con \vec{V}_G velocità del borigento.

Allora:

$$\vec{K} = \int_B \vec{r}_p \wedge \vec{V}_G dm + \int_B \vec{r}_p \wedge (\vec{\omega} \wedge \vec{r}_p) dm$$

Il primo integrale è nullo in quanto \vec{r}_p ha origine proprio nel borigento
Per cui:

$$\vec{K} = \int_B \vec{r}_p \wedge (\vec{\omega} \wedge \vec{r}_p) dm$$

$$\Rightarrow \vec{\omega} \wedge \vec{r}_p = \begin{vmatrix} \hat{i} & \hat{j} & \hat{k} \\ p & q & r \\ x & y & z \end{vmatrix} = (qz - ry)\hat{i} + (rx - pz)\hat{j} + (py - qx)\hat{k}$$

$$\Rightarrow \vec{r}_p \wedge (\vec{\omega} \wedge \vec{r}_p) = \begin{vmatrix} \hat{i} & \hat{j} & \hat{k} \\ x & y & z \\ qz - ry & rx - pz & py - qx \end{vmatrix} = [y(py - qx) - z(rx - pz)]\hat{i} + [-x(py - qx) - z(qz - ry)]\hat{j} + [x(rx - pz) - y(qz - ry)]\hat{k}$$

Per cui:

$$\vec{K} = \int_B \begin{bmatrix} p(y^2 + z^2) - qxy - rxz \\ q(x^2 + z^2) - pxz - ryz \\ rx(x^2 + y^2) - pxz - qyz \end{bmatrix} dm = \begin{bmatrix} pIx - qIxy - rxIxz \\ qIy - pIxy - rIyz \\ rxIz - pIxz - qIyz \end{bmatrix}$$

Se c'è un piano di simmetria ma non c'è simmetria di massa

$$\Rightarrow I_{xy} \neq 0$$

$$I_{yz} \neq 0$$

Le equazioni scritte in precedenza si modificano nel modo seguente:

$$F_x = m(\ddot{u} + (qu\omega - ru\dot{\omega}))$$

$$F_y = m(\ddot{v} + (ru\dot{u} - pu\omega))$$

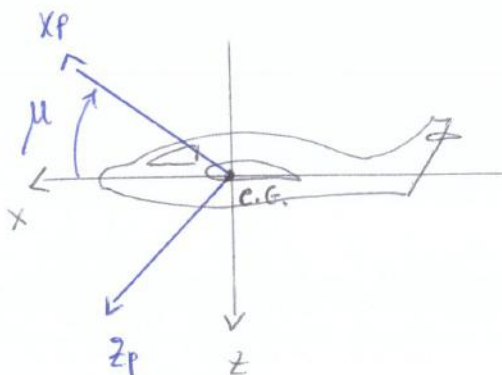
$$F_z = m(\ddot{w} + (pu\dot{v} - qu\dot{u}))$$

$$L = I_x \dot{p} - r \cancel{I_{xz}} - pg \cancel{I_{xz}} + qr(I_z - I_y) - I_{xy}(q^2 - r^2) - I_{xy}(q - rp)$$

$$M = I_y \dot{q} + pr(I_x - I_z) - (r^2 - p^2) \cancel{I_{xz}} - I_{xy}(\dot{p} + qr) - I_{yz}(\dot{r} - pq)$$

$$N = I_z \dot{r} - p \cancel{I_{xz}} + pg(I_y - I_x) + qr \cancel{I_{xz}} - I_{xy}(p^2 - q^2) - I_{yz}(q + rp)$$

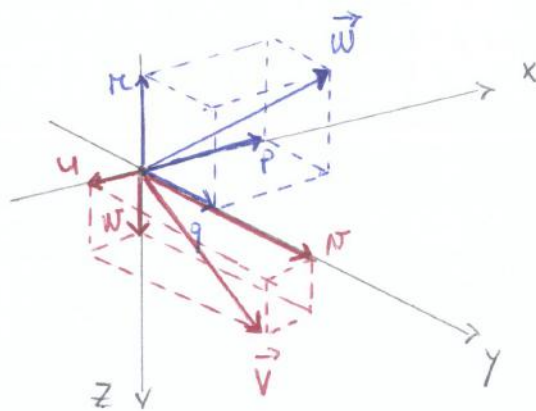
Nel caso di omogeneità d'inerzia $\Rightarrow I_{xy} = I_{xz} = I_{yz} = 0$



In tal caso sono nulli tutti i termini che presentano i momenti centrifughi. Eliminiamo tali termini con il colore nero delle equazioni scritte sopra

MOTO VARIO

In generale, avremo le seguenti situazioni:



CONDIZIONI INIZIALI

Moto rettilineo uniforme

- $P_{eq} = Q_{eq} = R_{eq} = 0$
- $U_{eq} \approx V_{eq}; N_{eq} = 0$ (perché \vec{V} nel piano di simm.)
- $W_{eq} \neq 0$ in generale, ma potrebbe anche essere $= 0$ se $\omega \approx 0$

Il risultato linearizzato sarà dunque:

$$\left\{ \begin{array}{l} F_x \approx m(\Delta \ddot{u} + q w_{eq}) \quad L \\ F_y \approx m(\Delta \ddot{w} + r u_{eq} - p w_{eq}) \quad LD \\ F_z \approx m(\Delta \ddot{w} - q u_{eq}) \quad L \\ L \approx \dot{p} I_{xx} - \dot{r} I_{xz} \quad LD \\ M \approx \dot{q} I_y \quad L \\ N \approx \dot{r} I_{zz} - \dot{p} I_{xz} \quad LD \end{array} \right.$$

(L) equazioni su cui figurano variabili relative solo al MOTORE LONGITUDINALE
(u, w, q)

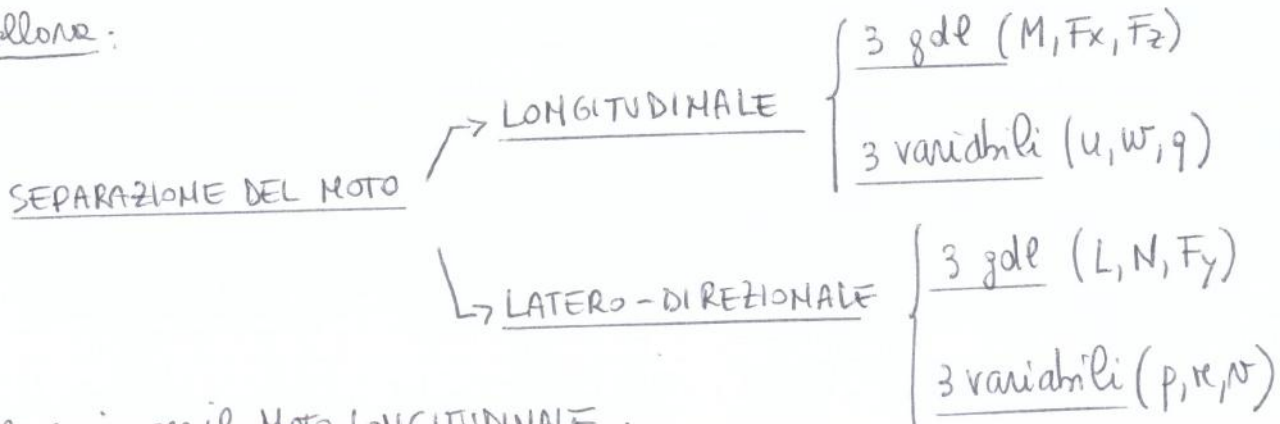
(LD) equazioni su cui figurano variabili relative solo al MOTORE LATERO-DIREZIONALE (r, p, q)

Osserviamo che per trattare il moto longitudinale (\vec{V} contenuto nel piano di simmetria) non c'è più bisogno delle linearizzazioni, poiché considerando un moto esclusivamente longitudinale, i termini eliminati se ne annullerebbero comunque \Rightarrow LE PERTURBAZIONI POSSONO ANCHE NON ESSERE PIEDE

L'ipotesi delle piccole perturbazioni è più necessaria a garantire la SEPARAZIONE DEL MOTORE, poiché ci permette di eliminare i termini multipli che figurano in F_y, L, N , che altrimenti non se ne annullerebbero.

In tale modo, in F_y, L, N rimangono solamente termini relativi al moto latero-direzionale.

Tellone:



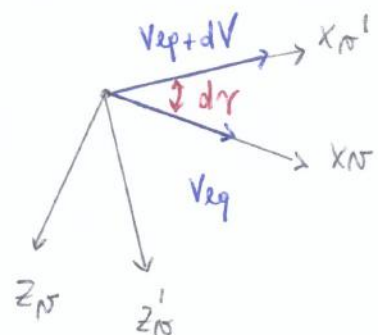
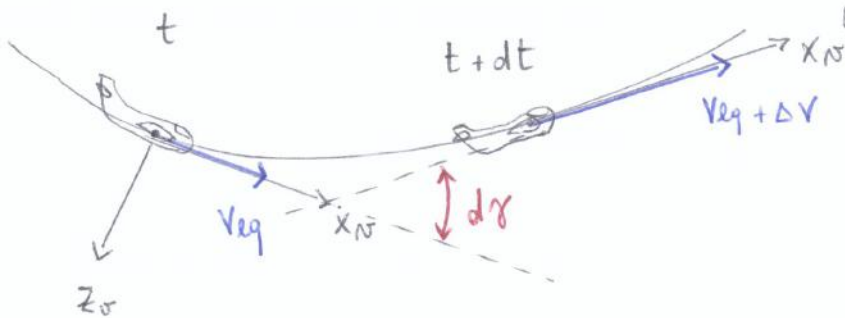
Per cui, per il Moto LONGITUDINALE:

$$\left\{ \begin{array}{l} F_x = m(\Delta \ddot{u} + q w_{eq}) + m q \Delta w \\ F_z = m(\Delta \ddot{w} - q u_{eq}) - m q \Delta u \\ M = \dot{q} I_y \end{array} \right.$$

termimi in blu
L> se perturbazioni ≠ piccole

LONGITUDINALE: asse vento (volando)

Le forze sono facilmente note e si mettono con L e D



Dalle leggi di Newton:

$$F = m \ddot{v}$$

$$\alpha_x \frac{(V_{eq} + \Delta V) \cos \delta \gamma - V_{eq}}{dt} = \frac{dV}{dt} = \ddot{v}$$

$$\alpha_z = - \frac{(V_{eq} + \Delta V) \sin \delta \gamma - 0}{dt} = - V_{eq} \frac{d\gamma}{dt} = - V_{eq} \dot{\gamma}$$

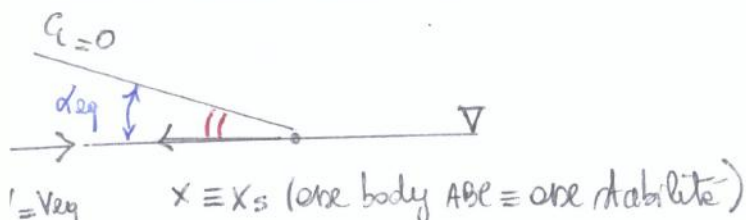
Filone:

$$\begin{cases} F_x = m \ddot{v} \\ F_z = -m V_{eq} \dot{\gamma} \\ M = I_y \dot{\gamma} \end{cases}$$

con $\begin{cases} \gamma = \text{angolo di rotta (discesa)} \\ \alpha = \text{angolo d'incidenza} \\ \theta = \text{angolo di onda} \end{cases}$

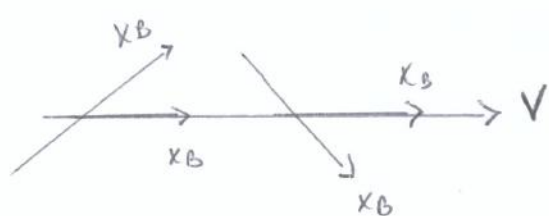
? come di esplicitare i primi membri, ricordiamo la relazione che legge la variazione di γ alle variazioni di α e θ .

SITUAZIONE INIZIALE (moto rettilineo uniforme, che può essere o meno orizzontale)



Se non cambia configurazione di volo $\rightarrow C_L = 0$ senz'body
 \Rightarrow angolo γ costante anche nelle situazioni generali

VARIAZIONE DI $\dot{\alpha}$ e $\dot{\theta}$



$$\begin{cases} \dot{\alpha} \neq 0 \\ \dot{\theta} \neq 0 \Rightarrow \dot{\theta} = \dot{\alpha} = \dot{\alpha} \\ \dot{\gamma} = 0 \end{cases}$$

Troviamo ora al sistema scritto in precedenza:

$$\begin{cases} F_x = m \dot{V} \\ F_z = -m V_{eq} \dot{\gamma} = -m V_{eq} (\dot{\theta} - \dot{\alpha}) = -m V_{eq} (\dot{\theta} - \dot{\alpha}) \\ M = \dot{\theta} I_y \end{cases}$$

Le variabili fondamentali in ASSI VENTO sono: V, α, θ

Se fossero state ASSI CORPO: u, w, q

Andiamo ad esplicitare i primi membri:

$$\begin{cases} F_x = \cancel{F_x^{eq}} + \Delta F_x \Rightarrow F_x = F_x(V, \alpha, \theta, \dot{V}, \dot{\alpha}, \dot{\theta}, \ddot{V}, \ddot{\alpha}, \ddot{\theta}, \dots) \\ F_z = \cancel{F_z^{eq}} + \Delta F_z \\ M = \cancel{M_{eq}} + \Delta M \end{cases}$$

Poiché è tutto linearizzato:

$$F_x = \underbrace{\frac{\partial F_x}{\partial V} \Delta V}_{\text{cost}} + \underbrace{\frac{\partial F_x}{\partial \alpha} \Delta \alpha}_{\text{cost}} + \underbrace{\frac{\partial F_x}{\partial \theta} \Delta \theta}_{\text{cost}} + \dots$$

cioè vale esclusivamente nell'ambito delle condizioni di equilibrio considerato, se una precisa V_{eq} e se una determinate quote z , in un preciso punto dell'avvoltoio di volo.

Le derivate però di qualche variazione dunque costanti solamente nell'ambito del punto di equilibrio considerato.

$$F_z = -(T_{eq} + \Delta T) \sin(\alpha_t + \Delta \alpha) - L_{eq} - \Delta L + W =$$

$$= -T_{eq} \cancel{\sin \alpha_t + \cos \Delta \alpha} \overset{\approx 1}{=} -T_{eq} \cos \alpha_t \Delta \alpha - \Delta T \sin \alpha_t \cos \Delta \alpha - \Delta T \cos \alpha_t \sin \Delta \alpha - L_{eq} +$$

$$- \Delta L + \cancel{W} = -m V_{eq} q + m V_{eq} \ddot{\alpha}$$

$$\Rightarrow \Delta F_z = F_z - F_{eq} = -\Delta T \sin \alpha_t - T_{eq} \cos \alpha_t \Delta \alpha - \Delta L = -m V_{eq} q + m V_{eq} \ddot{\alpha}$$

II^o equazione

$$\Delta M = M_v \Delta t + M_\alpha \Delta \alpha + M_q q + M_{\dot{\alpha}} \ddot{\alpha} = I_y \ddot{\theta}$$



$$\frac{\partial M}{\partial V}$$

III^o equazione

In tale equazione abbiamo trascurato \dot{V} , il cui effetto su M è secondario.

$$\ddot{\theta} = q$$

IV^o equazione, equazione delle cinematiche

Abbiamo ottenuto un sistema di equazioni differenziali del I^o ordine nella forma:

$$\ddot{x} = Ax \quad \longleftrightarrow \quad \begin{Bmatrix} \dot{v} \\ \dot{\alpha} \\ \dot{q} \\ \dot{\theta} \end{Bmatrix} = [A] \begin{Bmatrix} v \\ \alpha \\ q \\ \theta \end{Bmatrix}$$

↓
matrice di
sistema

\rightarrow vettore di stato

Per cui:

$$\begin{cases} \frac{dv}{dt} = -h_{11} v - h_{12} \alpha - h_{13} q \\ \frac{d\alpha}{dt} = -h_{21} v - h_{22} \alpha - h_{23} q \\ \frac{dq}{dt} = -h_{31} v - h_{32} \alpha - h_{33} q \\ \dot{\theta} = h_{43} q \end{cases}$$

• D_α

$$C_D = C_{D_0} + \frac{c_L^2}{\pi A_e} \quad , \text{ dove } \begin{cases} A = b/e \text{ con } e = e_{ma} = \text{corda media perpendicolare} \\ \lambda = b/e_{eq} \text{ con } e_{eq} = \text{corda media geometrica} \end{cases}$$

In esempio birete

$C_L = \alpha \sqrt{\alpha}$, Ellisse:

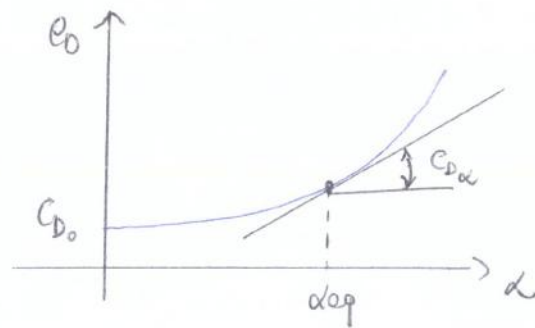
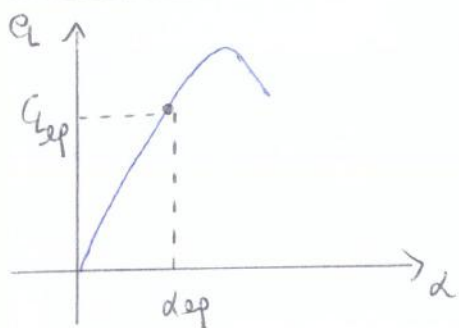
$$C_D = C_{D_0} + \frac{\alpha^2}{\pi A_e} \alpha^2$$

$$\Rightarrow \boxed{\frac{\partial D}{\partial \alpha} = D_\alpha = C_{D_\alpha} \frac{1}{2} \rho_{eq} V_{eq}^2 S} \quad , \text{ con } (C_{D_\alpha})_{eq} = \frac{2\alpha^2}{\pi A_e} \alpha_{eq}$$

Ovviamente, mette V_{eq} e W , av:

$$C_{L_{eq}} = \frac{W/S}{\frac{1}{2} \rho_{eq} V_{eq}^2} \Rightarrow \alpha_{eq} = \frac{C_{L_{eq}}}{\alpha} \Rightarrow \text{è usto il } C_{D_\alpha}$$

Averendo a disposizione i grafici di $C_L(\alpha)$ e $C_D(\alpha)$:



DERIVATE DELLA PORTANZA L

$$L = \frac{1}{2} \rho V^2 S C_L$$

$$\boxed{L_V = \left(\frac{\partial L}{\partial V} \right)_{eq} = \left(\frac{\partial C_L}{\partial V} V_{eq}^2 + 2 C_{L_{eq}} V_{eq} \right) \frac{1}{2} \rho_{eq} S}$$

$$\Rightarrow M_V = \frac{\partial C_M}{\partial V} V_{eq}^2 \frac{1}{2} \rho_{eq} S e = C_{M,V} V_{eq} \frac{1}{2} \rho_{eq} S e, \text{ con } C_{M,V} = \frac{\partial C_M}{\partial \hat{V}}, \hat{V} = \frac{V}{V_{eq}}$$

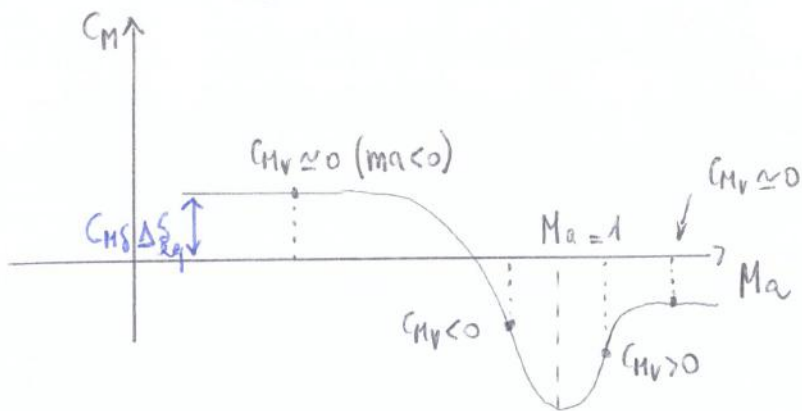
$$\cdot \frac{\partial M}{\partial \alpha} = M_\alpha = C_{M,\alpha} S e \frac{1}{2} \rho_{eq} V_{eq}^2$$

$$\cdot \frac{\partial M}{\partial q} = M_q = \frac{\partial C_M}{\partial q} S e \frac{1}{2} \rho_{eq} V_{eq}^2 \quad \text{con} \quad \frac{\partial C_M}{\partial q} \neq \frac{\partial C_M}{\partial \hat{q}} = C_{M,q}$$

* approfondiamo il discorso sul $\frac{\partial C_M}{\partial \hat{V}} = C_{M,V}$:

Riportiamo un tipico andamento del C_M al variazione del mach andando a considerare una successione di condizioni di equilibrio.

Se non teniamo conto di quello che è il contributo di momento dato dall'equilibratore per arrivare l'equilibrio, l'andamento è come quello riportato in figura:



La coordinate in blu è quella di cui ha bisogno come angolo dell'equilibratore per evitare solennemente il momento se non ci fosse la manovra, si porterebbe il disegnatura al 0.

• Se $M \uparrow \Rightarrow V \uparrow \Rightarrow \alpha \downarrow \Rightarrow C_M \downarrow$ se $C_{M,V} < 0$

OSSERVAZIONE

Considerando il tratto subsonico delle curve, assumere $C_{M,V} \approx 0$ vorrebbe dire che, supposto $C_{M,S} \approx$ costante, non ci sarebbe variazione dell'angolo dell'equilibratore al variare della velocità, mentre sappiamo che $\frac{d\delta}{dV} \neq 0$ e $\frac{d\delta}{dV} > 0$

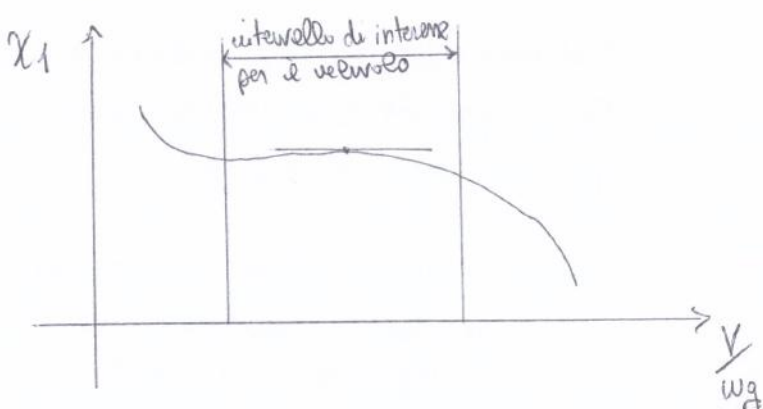
DERIVATE DELLA SPINTA

$$\Delta T = \Delta T(V) = \frac{\partial T}{\partial V} \Delta V = T_V \Delta V$$

Potremmo trascurare l'effetto di α , q , \dot{q} e \ddot{q} non influiscono per nulla sul ΔT .

Come volutiamo T_V ?

VELIVOLO A GETTO $\rightarrow T = T_{S0} \varphi_1(m) \psi(z) \chi_1(V, z)$

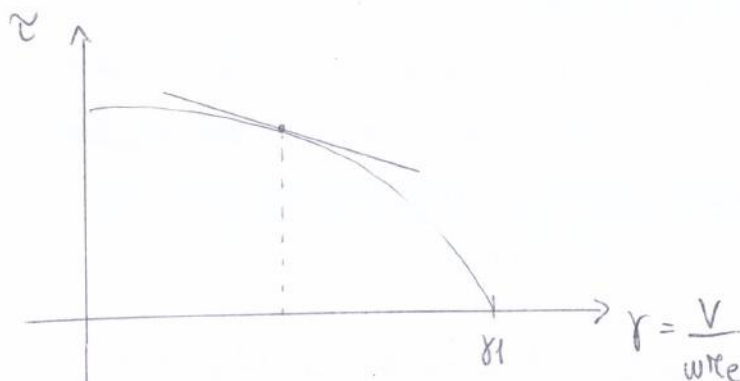


$$\chi_1(V, z) = 1 - \frac{V}{V_wg} + \frac{1}{2} K M^2 \left[1 - \left(\frac{V}{V_wg} \right)^4 \right]$$

Le T_V non è una derivata molto forte ma può essere voluttate delle pendenze del grafico $\chi_1 = f(V_{wg}, z)$

VELIVOLO AD ELICA $\rightarrow T = \tilde{v} \rho \omega^2 R_e^4$ (formula di Newmark di 1° specie)

$$\tilde{v} = \frac{1}{2} \int_0^1 \frac{C_L \cos \theta - C_D \sin \theta}{\cos^2 \theta} \frac{c}{R_e} \frac{R_e^2}{\rho \omega^2} d\left(\frac{R}{R_e}\right) \rightarrow \text{geometrie e aerodinamica delle pale}$$



Anche in tal caso, le T_V si voluta delle pendenze delle curve
 $\tilde{v} = f(\gamma)$

Siamo ora in grado di scrivere il sistema di equazioni del moto longitudinale e correnti bloccati, scritto nelle forme di 1° vento.

EQUAZIONI MOTO LONGITUDINALE

$$\begin{cases} \Delta F_x = \Delta T \cos \alpha + -T \dot{q} \sin \alpha + \Delta \alpha - \Delta D - W \gamma = m \ddot{V} & \text{con } \gamma = (\theta - \Delta \alpha) \\ \Delta F_z = -\Delta T \sin \alpha + -T \dot{q} \cos \alpha + \Delta \alpha - \Delta L = -m V \dot{q} q + m V \dot{q} \dot{\alpha} \\ \Delta M = M_{V0} \Delta \alpha + M_{q0} q + M_{\dot{q}} \dot{q} = T_y \dot{q} \\ \dot{\theta} = q \end{cases}$$

EQUAZIONE ①

1° membro

$$m \ddot{V} = m \frac{d\dot{V}}{dt} = \underbrace{\frac{m}{\frac{1}{2} \rho_{eq} S}}_{\mu} \frac{e}{2} \rho_{eq} S \frac{d\dot{V}}{V_{eq}} \overset{\text{veg}}{=} \frac{1}{2} \frac{e}{V_{eq}} \cdot \frac{d\dot{V}}{dt} = \frac{1}{2} \cdot 2 \mu \frac{d\dot{V}}{dt} \rho_{eq} V_{eq}^2 S$$

$$\Rightarrow \frac{m \ddot{V}}{\frac{1}{2} \rho_{eq} V_{eq}^2 S} = 2 \mu \frac{d\dot{V}}{dt} \Rightarrow \text{dividere il 2° membro per } \frac{1}{2} \rho_{eq} V_{eq}^2 S$$

2° membro

$$\bullet T = \frac{1}{2} \rho V^2 C_T \rightarrow T_V = \left(\frac{\partial T}{\partial V} \right)_{eq} = \frac{1}{2} \rho_{eq} S \left(\frac{\partial C_T}{\partial V} V_{eq}^2 + 2 V_{eq} \rho_{eq} C_{T,eq} \right) = \frac{1}{2} \rho_{eq} V_{eq} S (C_{TV} + 2 C_{T,eq})$$

$$\text{com } C_{TV} = \frac{\partial C_T}{\partial V} V_{eq} = \frac{\partial C_T}{\partial (V/V_{eq})} = \frac{\partial C_T}{\partial \hat{V}}$$

$$\bullet D = \frac{1}{2} \rho V^2 C_D \rightarrow D_V = \frac{1}{2} \rho_{eq} V_{eq} S (C_{DV} + 2 C_{D,eq}), \text{ com } C_{DV} = \frac{\partial C_D}{\partial \hat{V}}$$

$$\bullet \frac{mg}{\frac{1}{2} \rho_{eq} V_{eq}^2 S} = C_{W,eq}$$

$$\bullet D_\alpha = \left(\frac{\partial D}{\partial \alpha} \right)_{eq} = \frac{1}{2} \rho_{eq} V_{eq}^2 S C_{D,\alpha} \rightarrow C_{D,\alpha} = \frac{D_\alpha}{\frac{1}{2} \rho_{eq} V_{eq}^2 S}$$

$$\bullet T_{ep} = \frac{1}{2} \rho_{eq} V_{eq}^2 S C_{T,ep} \rightarrow C_{T,ep} = \frac{T_{ep}}{\frac{1}{2} \rho_{eq} V_{eq}^2 S}$$

$$\Rightarrow \frac{T_V \cos \alpha + D_V}{\frac{1}{2} \rho_{eq} V_{eq}^2 S} \Delta \hat{V} = \left[(C_{TV} + 2 C_{T,eq}) \cos \alpha + (C_{DV} + 2 C_{D,eq}) \right] \Delta \hat{V}$$

$$\text{equilibrio cond. iniziali} \rightarrow C_{T,ep} \cos \alpha + C_{D,ep} = 0 \quad C_{W,eq} - C_{T,ep} \sin \alpha = C_{L,eq}$$

$$\Rightarrow \frac{d\hat{V}}{dt} = \frac{1}{2\mu} \left[C_{TV} \cos \alpha + C_{DV} + 2(C_{T,ep} \cos \alpha - C_{D,ep}) \right] \Delta \hat{V} + \left\{ (C_{W,eq} - C_{D,ep} - C_{T,ep} \sin \alpha) \Delta \alpha - C_{W,eq} D \right\}$$

EQUAZIONI DEL MOTO LONGITUDINALE - COMANDI BLOCCATI

Condizioni iniziali di moto rettilineo uniforme orizzontale - termo di seni vento

$$\left\{ \begin{array}{l} \dot{V} = \frac{T_v \cos \alpha + D_v}{m} \Delta V + \frac{m g - D_\alpha - T_{eq} \sin \alpha}{m} \Delta \alpha - g \theta \\ \dot{\alpha} = - \frac{L_v + T_{eq} \sin \alpha}{m V_{eq} + L_\alpha} \Delta V - \frac{L_\alpha + T_{eq} \cos \alpha}{m V_{eq} + L_\alpha} \Delta \alpha + \frac{m V_{eq} - L_q}{m V_{eq} + L_\alpha} \dot{\theta} \\ \dot{\theta} = \dot{q} \\ \dot{q} = \frac{1}{I_y} \left[\left(M_v - M_\alpha \frac{L_v + T_{eq} \sin \alpha}{m V_{eq} + L_\alpha} \right) \Delta V + \left(M_\alpha - M_\alpha \frac{L_\alpha + T_{eq} \cos \alpha}{m V_{eq} + L_\alpha} \right) \Delta \alpha + \left(M_q + M_\alpha \frac{m V_{eq} - L_q}{m V_{eq} + L_\alpha} \right) \dot{\theta} \right] \\ \dot{\theta} = q \end{array} \right.$$

\bullet	T	R_g	$C_T = T / \frac{1}{2} \rho V^2 S$	\bullet	T_v	$Kg \cdot s/m$	$C_{T_v} = \partial C_T / \partial \hat{V}$
\bullet	D	Kg	$C_D = D / \frac{1}{2} \rho V^2 S$	\bullet	D_v	$Kg \cdot s/m$	$C_{D_v} = \partial C_D / \partial \hat{V}$
\bullet	L	Kg	$C_L = L / \frac{1}{2} \rho V^2 S$	\bullet	D_α	$Kg \cdot m/s$	$C_{D_\alpha} = \partial C_D / \partial \alpha$
\bullet	M	$Kg \cdot m$	$C_H = M / \frac{1}{2} \rho V^2 S c$	\bullet	L_v	$Kg \cdot s/m$	$C_{L_v} = \partial C_L / \partial \hat{V}$
\bullet	V	m/s	$\hat{V} = V / V_{eq}$	\bullet	L_α	$Kg \cdot m/s$	$C_{L_\alpha} = \partial C_L / \partial \alpha$
\bullet	$\dot{\alpha}$	rad/s	$\hat{\alpha} = \dot{\alpha} / (2V_{eq}/e)$	\bullet	L_q	$Kg \cdot s/mad$	$C_{L_q} = \partial C_L / \partial \dot{\alpha}$
\bullet	q	rad/s	$\hat{q} = q e / 2V_{eq}$	\bullet	M_v	$Kg \cdot s$	$C_{M_v} = \partial C_M / \partial \hat{V}$
\bullet	m	$Kg \cdot s^2/m$	$\mu = m / \frac{1}{2} \rho e V_{eq} S$	\bullet	M_α	$Kg \cdot m/s$	$C_{M_\alpha} = \partial C_M / \partial \alpha$
\bullet	J_y	$Kg \cdot m \cdot s^2$	$\hat{J}_y = J_y / [\rho e V_{eq} S (e/2)^3]$	\bullet	M_α	$Kg \cdot m \cdot s / rad$	$C_{M_\alpha} = \partial C_M / \partial \dot{\alpha}$
\bullet	t	s	$\hat{t} = t / t^* = t / (e/2/V_{eq})$	\bullet	M_q	$Kg \cdot m \cdot s / rad$	$C_{M_q} = \partial C_M / \partial \dot{q}$

$$\left\{ \begin{array}{l} \frac{d}{dt} \hat{V} = \frac{1}{2\mu} \left[(C_{T_v} \cos \alpha + C_{D_v}) \Delta \hat{V} + (C_{L_v} - C_{D_\alpha}) \Delta \alpha - C_{W_{eq}} \theta \right] \\ \frac{d}{dt} \hat{\alpha} = - \frac{C_{T_v} \sin \alpha + C_{L_v} + 2C_{W_{eq}}}{2\mu + C_{L_\alpha}} \Delta \hat{V} - \frac{C_{D_\alpha} + C_{D_{eq}}}{2\mu + C_{L_\alpha}} \Delta \alpha + \frac{2\mu - C_{L_q}}{2\mu + C_{L_\alpha}} \dot{\theta} \\ \frac{d}{dt} \hat{q} = \frac{1}{I_y} \left[\left(C_{M_v} - C_{M_\alpha} \frac{(C_{T_v} \sin \alpha + C_{L_v} + 2C_{W_{eq}})}{2\mu + C_{L_\alpha}} \right) \Delta \hat{V} + \left(C_{M_\alpha} - \frac{C_{M_\alpha} (C_{D_\alpha} + C_{D_{eq}})}{2\mu + C_{L_\alpha}} \right) \Delta \alpha + \left(C_{M_q} + C_{M_\alpha} \frac{(2\mu - C_{L_q})}{2\mu + C_{L_\alpha}} \right) \dot{\theta} \right] \\ \frac{d}{dt} \hat{\theta} = \dot{q} \end{array} \right.$$

Allora:

$$\begin{vmatrix} (\lambda + h_{11}) & h_{12} & h_{14} \\ h_{21} & (\lambda + h_{22}) & h_{23} \\ h_{31} & h_{32} & (\lambda^2 + h_{33}\lambda) \end{vmatrix} = 0 \Rightarrow \boxed{\lambda^4 + B_1\lambda^3 + C_1\lambda^2 + D_1\lambda + E_1 = 0}$$

Dal polinomio caratteristico si determinano 4 autovetori che possono essere:

- 4 AUTOVALORI REALI
- 2 AUTOVALORI REALI + 2 COMPLESSI CONIUGATI
- 2 COPPIE COMPLESSE CONIUGATE

Quello che si vorrebbe ottenere, in modo che le dinamiche del veicolo siano disgiunti, sono due coppie complesse coniugate.

In generale, le soluzioni per ogni variabile sono delle forme:

$$\left\{ \begin{array}{l} \Delta V = p_{11}e^{\lambda_1 t} + p_{12}e^{\lambda_2 t} + p_{13}e^{\lambda_3 t} + p_{14}e^{\lambda_4 t} \\ \Delta \alpha = p_{21}e^{\lambda_1 t} + p_{22}e^{\lambda_2 t} + p_{23}e^{\lambda_3 t} + p_{24}e^{\lambda_4 t} \\ \vartheta = p_{31}e^{\lambda_1 t} + p_{32}e^{\lambda_2 t} + p_{33}e^{\lambda_3 t} + p_{34}e^{\lambda_4 t} \end{array} \right.$$

con p_{ij} determinati dalle condizioni iniziali

Le variabili varieranno in funzione nello stesso modo degli autovetori λ_i , ma l'effetto di ogni autovettore su ciascuna variabile dipende dal coefficiente p_{ij} .

Le variabili sono comunque influenzate da tutti e quattro gli autovetori
 ↳ non opposizione degli effetti

Ovviamente per le variazioni dinamiche del veicolo si riferisce ad una certa condizione di volo iniziale

I due Moti che si sovrappongono possono essere studiati separatamente:

$$\begin{cases} \lambda_{1,2} = \hat{\omega} \pm i\hat{b} \text{ con } \alpha < 0 \rightarrow \text{CORTO PERIODO (short period)} \\ \text{(moto molto smorzato)} \\ \lambda_{3,4} = \hat{c} \pm i\hat{d} \text{ con } c \geq 0, \text{ ma } |c| \approx 0 \rightarrow \text{FUGOIDE (phugoid)} \\ \text{(moto poco smorzato o leggermente supercritico)} \end{cases}$$

Le caratteristiche fisiche possono

essere concentrate in 3 parametri, ottenuti semplicemente dalla coppia di autovetori complessi coniugati considerate:

① PERIODO : $T = \frac{2\pi}{\hat{b}} = \frac{2\pi}{\hat{b}} t^*$, con $t^* = \frac{e}{2V_{eq}}$ $\Rightarrow b = \omega$

② TEMPO DI DIMEZZAMENTO : $t_{1/2} = \frac{\ln 2}{\hat{\omega}}$ ($\hat{\omega}$ tempo di raddoppio se $\alpha < 0$)

③ NUMERO DI CICLI DI DIMEZZAMENTO : $N_{1/2} = \frac{t_{1/2}}{T} = \frac{\ln 2}{\hat{\omega} 2\pi} b = \frac{\ln 2 \hat{b}}{1 \hat{\omega} 2\pi}$

ESEMPIO NUMERICO: possibili soluzioni delle dinamiche longitudinale

GRANDE VELIVOLO

$C = 10 \text{ m}$

$V_{eq} = 250 \text{ m/s}$

$t^* = 0.02 \text{ s} \rightarrow \hat{t} = 50 t$

$\text{CP: } \lambda_{1,2} = \underbrace{-0.1 \cdot 10^{-1}}_{\hat{\omega}} \pm \underbrace{0.2 \cdot 10^{-1} i}_{\hat{b}}$

$\text{FUGOIDE: } \lambda_{3,4} = \underbrace{-0.3 \cdot 10^{-4}}_{\hat{c}} \pm \underbrace{0.6 \cdot 10^{-3} i}_{\hat{d}}$

PICCOLO VELIVOLO

$C = 1.5 \text{ m}$

$V_{eq} = 50 \text{ m/s}$

$t^* = 0.015 \text{ s} \rightarrow \hat{t} = 66.7 t$

$\text{CP: } \lambda_{1,2} = \underbrace{-0.2 \cdot 10^{-1}}_{\hat{\omega}} \pm \underbrace{0.6 \cdot 10^{-1} i}_{\hat{b}}$

$\text{FUGOIDE: } \lambda_{3,4} = \underbrace{-0.5 \cdot 10^{-3}}_{\hat{c}} \pm \underbrace{0.1 \cdot 10^{-3} i}_{\hat{d}}$

$$\left\{ \begin{array}{l} \frac{p_{1i}}{p_{3i}}(h_{11} + \lambda_i) + \frac{p_{2i}}{p_{3i}}h_{12} + \frac{p_{3i}}{p_{3i}}h_{14} = 0 \\ \frac{p_{1i}}{p_{3i}}h_{21} + \frac{p_{2i}}{p_{3i}}(h_{22} + \lambda_i) + \frac{p_{3i}}{p_{3i}}h_{23}\lambda_i = 0 \\ \frac{p_{1i}}{p_{3i}}h_{31} + \frac{p_{2i}}{p_{3i}}h_{32} + \lambda_i(\lambda_i^2 + h_{33})\frac{p_{3i}}{p_{3i}} = 0 \end{array} \right.$$

OSS: p_{1i}, p_{2i}, p_{3i} rappresentano le componenti dell'autovettore essicato all'autosvalone λ_i

Poiché abbiamo diviso per p_{3i} non abbiamo più 3 variabili (p_{1i}, p_{2i}, p_{3i}) ma solo 2. Allora, tra qualsiasi delle 3 equazioni non è combinazione lineare delle altre 2.

Prendiamo ad esempio le prime 2 equazioni, poiché la 3^a non è mai loro combinazione lineare.

A questo punto, ricordiamo che le soluzioni del sistema di equazioni differenziali sono delle forme:

$$\begin{aligned} \Delta \hat{V} &= \boxed{p_{11}e^{\lambda_1 t}} + \boxed{p_{21}e^{\lambda_2 t}} + \boxed{p_{31}e^{\lambda_3 t}} + \boxed{p_{41}e^{\lambda_4 t}} \\ \Delta d &= \boxed{p_{21}e^{\lambda_1 t}} + \boxed{p_{22}e^{\lambda_2 t}} + \boxed{p_{23}e^{\lambda_3 t}} + \boxed{p_{24}e^{\lambda_4 t}} \\ \theta &= \boxed{p_{31}e^{\lambda_1 t}} + \boxed{p_{32}e^{\lambda_2 t}} + \boxed{p_{33}e^{\lambda_3 t}} + \boxed{p_{34}e^{\lambda_4 t}} \end{aligned}$$

Le colonne in blu rappresentano gli autovettori p^1, p^2, p^3, p^4 associati a $\lambda_1, \lambda_2, \lambda_3, \lambda_4$.

Per il CORTO PERIODO prendiamo esclusivamente λ_1 di $\lambda_{1,2}$ poiché entrambi individuano lo stesso MODO, non sarà solo un'oscillazione sfasata.

Per il fugioide prendiamo esclusivamente λ_3 di $\lambda_{3,4}$.

Allora, ricordando che abbiamo diviso per p_{3i} , le soluzioni del sistema poniamo venire come:

$$\begin{aligned} \Delta \hat{V} &= \boxed{\frac{p_{11}}{p_{31}}e^{\lambda_1 t}} + \boxed{\frac{p_{13}}{p_{33}}e^{\lambda_3 t}} \\ \Delta d &= \boxed{\frac{p_{21}}{p_{31}}e^{\lambda_1 t}} + \boxed{\frac{p_{23}}{p_{33}}e^{\lambda_3 t}} \\ \theta &= \boxed{1} e^{\lambda_1 t} + \boxed{1} e^{\lambda_3 t} \end{aligned}$$

In rosso abbiamo indicato le soluzioni associate al corto periodo, in blu quelle associate al fugioide

Le fasi delle altre variabili si dichiareranno la proiezione sull'asse reale e dunque il valore effettivo, reale, delle variabili.

Si trova che:

- $\Delta\alpha, \Delta\dot{\alpha}, \theta$ sono quasi in fase, ovvero raggiungono il loro valore massimo mantenendosi in fase
- $\Delta\alpha, \theta$ sono variabili importanti
- $\Delta\dot{\alpha}$ poco importante (variazione piccole)

\Rightarrow Lo short period vede variazioni importanti di α e θ che sono sostanzialmente in fase

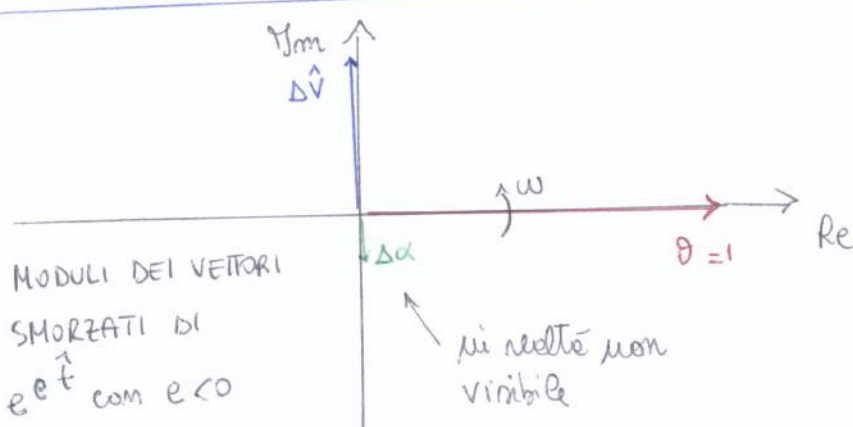
Ricordando che $\dot{y} = \dot{\theta} - \dot{\alpha}$ e che le variazioni di α e θ sono più o meno uguali $\Rightarrow \dot{y} = 0$. (le variazioni si leggono sull'asse reale)

Per quello che è lo short period la traiettoria rimane orizzontale e si ha solamente una oscillazione attorno sull'asse di beccheggio

$\dot{\alpha}$ non varia perché non ha tempo di variare, è tutto troppo veloce e smorzato.

Prendendo per esempio il grande velivolo, con $T_{CP} \approx 65$ e $t_{1/2CP} = 1.45$ si circa $1/4$ di giro i vettori dimezzano le loro ampiezze mantenendo le proporzioni e gli sfasamenti.

DIAGRAMMA DI ARGAND - FUGOIDE



Pseudocubo $\lambda_3 = C + i\omega$
 $\Rightarrow \omega \uparrow$ e $\omega = d$

Generalmente $D_1, E_1 \ll B_1, c_1$ è possibile riscrivere le quattro come prodotto di due polinomi di secondo grado:

$$\left(\lambda^2 + B_1\lambda + c_1 \right) \left(\lambda^2 + \frac{c_1 D_1 - B_1 E_1}{c_1^2} \lambda + \frac{E_1}{c_1} \right) = 0$$

soluzione approssimata soluzione approssimata
 FUGA DE

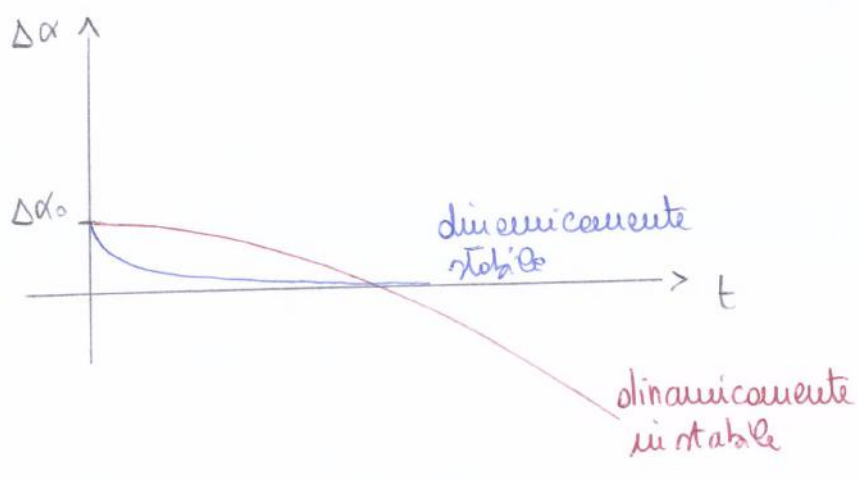
soluzione approssimata
 CORTO PERIODO

DIAGRAMMA DI STABILITÀ

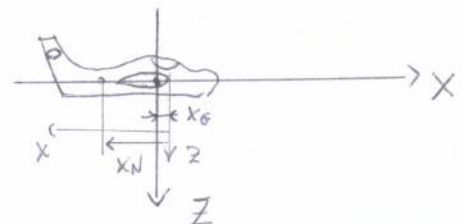
Il diagramma di stabilità fa un confronto fra quelle che è la stabilità statica e quelle che è la stabilità dinamica.

Per la stabilità statica: $C_{M\alpha} = \frac{\partial C_M}{\partial \alpha} = C_L \alpha \frac{x_G - x_N}{c} < 0$ se stabile

Prendendo per esempio il $\Delta \alpha$ in conseguenza a un disturbo Δd :



In entrambi i casi abbiamo una situazione staticamente stabile, ma non dinamicamente stabile.

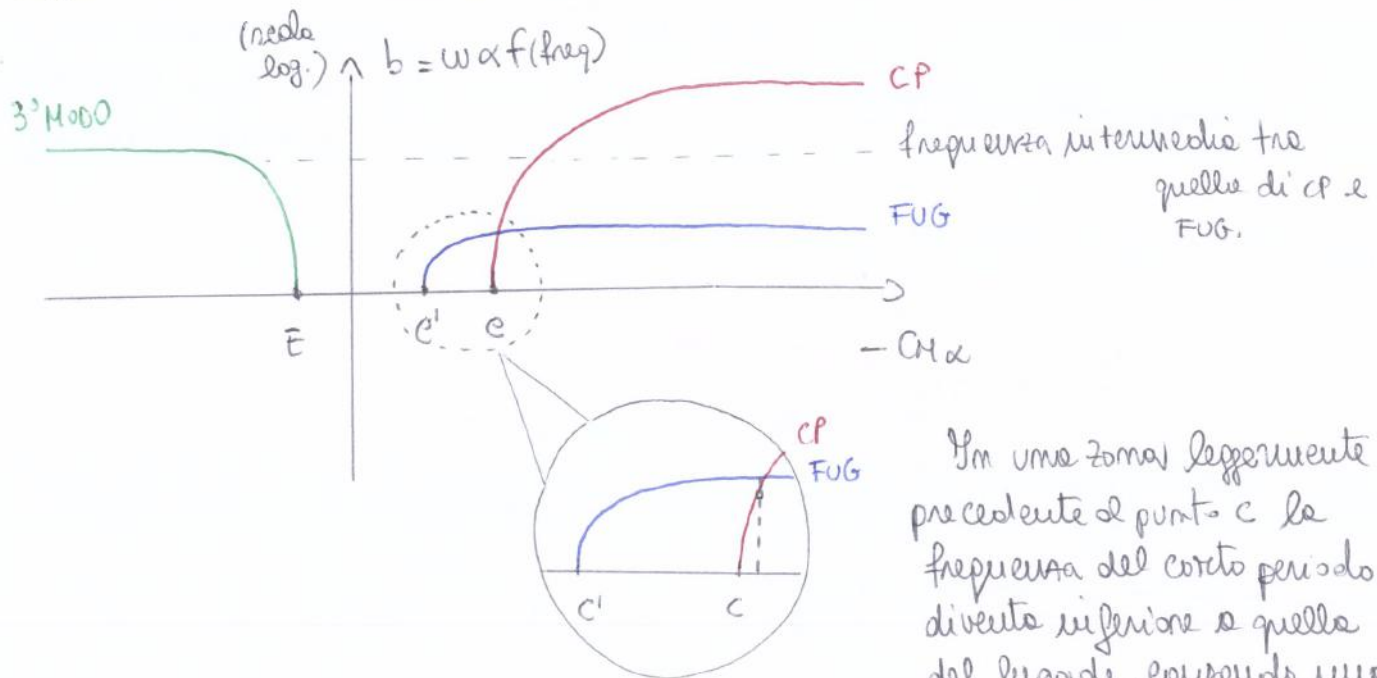


Per cui, la statica descrive cose avviate negli istanti immediatamente successivi al disturbo, mentre la dinamica descrive come poi variano le variabili nel tempo, secondo una determinata legge.

Nel disegniamo è definita la CONFIGURAZIONE (la geometria velivolo) e le CONDIZIONI INIZIALI (V_g e z).

Lo uscita del terzo modo potrebbe avvenire anche prima che il velivolo diventi staticamente instabile, anche se generalmente avviene dopo, e la perte reale del 3° modo è compresa tra le perte reali del flegide e del corto periodo.

Rappresentiamo la perte in magiorazione:



I velivoli moderni su cui per motivi vari si ha una instabilità statica intrinseca e dunque devono essere dotati di sistemi antisustei di controllo, sono, in sostanza di tali sistemi antisustei, caratterizzati da una dinamica costituita dal 3° modo + 2 moti aperiodici, uno stabile e uno instabile, che può diventare fortemente instabile.

In una zona leggermente precedente al punto c la frequenza del corto periodo diventa inferiore a quella del flegide, causando una diminuzione reale, poiché il corto periodo sarebbe così definito proprio per la sua elevata frequenza.

Variabili esimutte.

Ovvero equivale a studiare le dinamiche via via che queste tendono sempre più a una condizione statica, in quanto le variabili tendono a varcare sempre più lentamente.

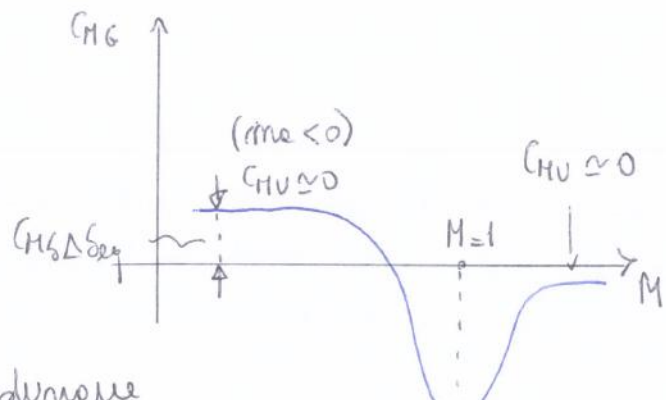
\Rightarrow STABILITÀ STATICA diventa una condizione limite della STABILITÀ DINAMICA

Sappiamo che, per la stabilità statica:

$$C_{M\alpha} < 0 \Rightarrow \frac{x_G - x_N}{c} < 0 \Rightarrow x_G < x_N \quad (\text{simplificazione: } C_{M\alpha} = C_\alpha \frac{x_G - x_N}{c})$$

Procedendo mediante il metodo di Routh, si ottiene, come situazione limite:

$$\frac{C_{M\alpha}}{C_{L\alpha}} < \frac{C_{Mu}}{\dots > 0}, \text{ con } C_{Mu} = \frac{\partial C_M}{\partial \alpha}$$



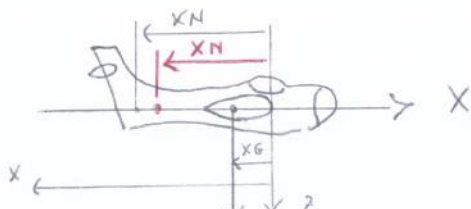
Abbiamo già visto che in condizioni statiche l'equilibrio alla rotazione è dunque l'uguaglianza di $C_{M\alpha}$ è pari a zero del ΔS_{eq} .

Se $M \uparrow \Rightarrow v \uparrow \Rightarrow \alpha \downarrow$

se $C_{Mu} < 0 \Rightarrow \Delta S_{eq} + \text{cont} \in \text{particolare} |\Delta S_{eq}| \downarrow$

Tornando alla relazione di Routh e osservando che $\frac{C_{M\alpha}}{C_{L\alpha}} = \frac{x_G - x_N}{c}$, si ottiene che:

$$\frac{x_G - x_N}{c} < \frac{C_{Mu}}{\dots > 0} \rightarrow \boxed{\frac{x_G}{c} < \frac{x_N}{c} + \frac{C_{Mu}}{\dots > 0}} \Rightarrow x_G \text{ limite si sposta a destra, cioè diminuisce}$$



ESERCITAZIONE 2

DI NAMICA LONGITUDINALE A COMANDI BLOCCATI, EQUAZIONI SCRITTE CON RIFERIMENTO ALLA TERNA DI ASSI VENTO, CONDIZIONI INIZIALI DI VOLO RETTILINEO UNIFORME E ORIZZONTALE

Si consideri un velivolo da trasporto con i dati seguenti:

$$m = 45360 \text{ kg}$$

$$S = 154.7 \text{ m}^2$$

$$c = 4.7 \text{ m}$$

$$\rho = 1.2535 \cdot 10^6 \text{ kg/m}^3$$

$$eA = 7$$

$$x_G/e = 0.35$$

$$x_N/e = 0.5$$

$$\alpha \approx 0 \rightarrow \text{spinte orizzontali nere vento}$$

$$C_D = 0.01G + \frac{C_L^2}{\pi e A}$$

$$C_{Ld} = 4.88 \text{ rad}^{-1}$$

$$C_{L\dot{\alpha}} \approx 0$$

$$C_{M\dot{\alpha}} \approx -4.2$$

$$C_{Lq} \approx 0$$

$$C_{Mq} = -22.9$$

Determinare le caratteristiche del moto libero longitudinale, e comandi bloccati, conseguente a condizioni iniziali di volo rettilineo uniforme orizzontale caratterizzato da:

$$z = 30000 \text{ ft} \quad V_{eq} = 800 \text{ km/h}$$

e ipotizzando che su tali condizioni le spinte Te e i coefficienti aerodinamici C_D , C_L e C_M non dipendano dalla velocità.

Portare i diagrammi di Argand corrispondenti alle soluzioni delle quantità di stabilità ottenute precedentemente. La rappresentazione delle variabili ΔV e $\Delta \alpha$ sia fatta assieme a $\theta = 1$, adottando per verso antieriori per le pulsazioni delle oscillazioni, cioè prenordando dei quattro autoveloxi complessi coniugati i due con la parte immaginaria positiva. Tracciare inoltre il luogo delle radici nelle condizioni ipotizzate.

Svolgimento

$$z = 30000 \text{ ft} = 9144 \text{ m}$$

$$\rho_{eq} = \rho_0 \left(\frac{T_0 - h^2}{T_0} \right)^{4.2561} = 0.458 \text{ kg/m}^3$$

$$V_{eq} = 800 \text{ km/h} = 222.22 \text{ m/s}$$

$$\hat{I}_j = \frac{I_j}{(\frac{C_L}{2})^3 \rho_{eq} S} = 1906.98$$

$$b = S/c = 32.91 \text{ m}$$

$$C_{LV} = C_{L\dot{x}} = C_{q\dot{q}} = C_{DV} = C_{H\dot{v}} = 0$$

$$C_{H\dot{q}} = -22.9$$

Il sistema dinamico sono dunque:

$$\begin{cases} \frac{d\dot{V}}{dt} = -h_{11}\dot{\Delta}\dot{V} - h_{12}\dot{\Delta}\alpha - h_{14}\dot{\theta} \\ \frac{d\dot{\alpha}}{dt} = -h_{21}\dot{\Delta}\dot{V} - h_{22}\dot{\Delta}\alpha - h_{23}\dot{q} \\ \frac{d\dot{q}}{dt} = -h_{31}\dot{\Delta}\dot{V} - h_{32}\dot{\Delta}\alpha - h_{33}\dot{\theta} \\ \frac{d\dot{\theta}}{dt} = \dot{q} \end{cases}$$

con:

$$h_{11} = -\frac{C_{TV} \overset{\approx 1}{\cancel{e_{\alpha\dot{\alpha}}} + C_{DV}}}{2\mu} = 6.937 \cdot 10^{-5} \quad h_{12} = -\frac{C_{L\dot{\alpha}} + C_{D\dot{\alpha}}}{2\mu} = -2.6 \cdot 10^{-4}$$

$$h_{14} = \frac{C_{W\dot{\theta}}}{2\mu} = 4.66 \cdot 10^{-4}$$

$$h_{21} = \frac{C_{V\dot{S}(\dot{\alpha}\dot{\alpha})} + C_{V\dot{z}} + C_{W\dot{\theta}}}{2\mu + C_{L\dot{\alpha}}} = 9.32 \cdot 10^{-4}$$

$$h_{22} = \frac{C_{L\dot{\alpha}} + C_{D\dot{\alpha}}}{2\mu + C_{L\dot{\alpha}}} = 8.99 \cdot 10^{-3}$$

$$h_{31} = \frac{1}{I_y} e_{M\dot{\alpha}} \cancel{2e_{W\dot{\theta}}} = -2.05 \cdot 10^{-6}$$

$$h_{23} = -\frac{2\mu - C_{q\dot{q}}}{2\mu + C_{L\dot{\alpha}}} = -1$$

$$h_{32} = -\frac{1}{I_y} \left(e_{M\dot{\alpha}} - C_{M\dot{\alpha}} \frac{(C_{L\dot{\alpha}} + C_{D\dot{\alpha}})}{2\mu} \right) = 3.64 \cdot 10^{-4}$$

$$h_{33} = -\frac{1}{I_y} \left(e_{M\dot{\theta}} + C_{M\dot{\theta}} \frac{(2\mu - C_{L\dot{\theta}})}{2\mu + C_{L\dot{\alpha}}} \right) = 1.42 \cdot 10^{-2}$$

Calcoliamo gli autovalori delle matrice di sistema:

$$\begin{vmatrix} -h_{11} - \lambda & -h_{12} & 0 & -h_{14} \\ -h_{21} & -h_{22} - \lambda & -h_{23} & 0 \\ -h_{31} & -h_{32} & -h_{33} - \lambda & 0 \\ 0 & 0 & 1 & -\lambda \end{vmatrix} = -1 \begin{vmatrix} -h_{11} - \lambda & -h_{12} & -h_{14} \\ -h_{21} & -h_{22} - \lambda & 0 \\ -h_{31} & -h_{32} & 0 \end{vmatrix} - \lambda \begin{vmatrix} -h_{11} - \lambda & -h_{12} & 0 \\ -h_{21} & -h_{22} - \lambda & -h_{23} \\ -h_{31} & -h_{32} & -h_{33} - \lambda \end{vmatrix} = 0$$

$$\Rightarrow h_{14} [h_{21}h_{32} - h_{31}(h_{22} + \lambda)] - \lambda [(-h_{11} - \lambda)[(h_{22} + \lambda)(h_{33} + \lambda) - h_{23}h_{32}] + h_{12}(h_{33} + \lambda)h_{21} - h_{12}h_{23}h_{31}] = 0$$

Riferiamo tutto a θ , dividendo per c_0 : allora:

$$\Delta V = \underbrace{\begin{pmatrix} \rho_{11} \\ \rho_{31} \end{pmatrix}}_{CP} e^{\lambda_1 t} + \underbrace{\begin{pmatrix} \rho_{13} \\ \rho_{33} \end{pmatrix}}_{FUG} e^{\lambda_3 t}$$

$$\Delta \alpha = \underbrace{\begin{pmatrix} \rho_{21} \\ \rho_{31} \end{pmatrix}}_{CP} e^{\lambda_1 t} + \underbrace{\begin{pmatrix} \rho_{23} \\ \rho_{33} \end{pmatrix}}_{FUG} e^{\lambda_3 t}$$

$$\vartheta = \underbrace{1}_{CP} e^{\lambda_1 t} + \underbrace{1}_{FUG} e^{\lambda_3 t}$$

$$\frac{P_{11}}{P_{31}} = \frac{P_{21}}{P_{31}}$$

$$\begin{cases} \frac{p_{11}}{p_{31}}(h_{11} + \lambda_1) + \frac{p_{21}}{p_{31}}h_{12} + \frac{p_{31}}{p_{31}}h_{14} = 0 \\ \frac{p_{11}}{p_{31}}h_{21} + \frac{p_{21}}{p_{31}}(\lambda_1 + h_{22}) + \frac{p_{31}}{p_{31}}h_{23} = 0 \end{cases}$$

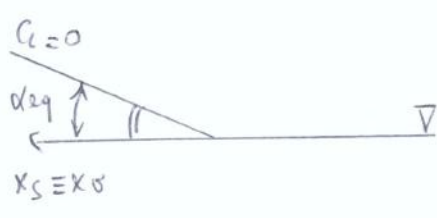
Sostituendo all'interno del
mistero precedente di e
rifernendo la soluzione dell'EP
a θ , dunque dividendo per
 P_3 , si ha un sistema di due
equazioni nelle due incognite

Allons:

$$\underline{\rho_{11}} = \frac{\begin{vmatrix} -h_{14} & h_{12} \\ -h_{23}\lambda & h_{22} + \lambda_1 \end{vmatrix}}{\begin{vmatrix} h_{11} + \lambda_1 & h_{12} \\ h_{21} & \lambda_1 + h_{22} \end{vmatrix}} = 9.196 \cdot 10^{-3} + 4.837 \cdot 10^{-3} i \rightarrow M = 0.01039 \quad (\Delta\varphi/\theta) \\ \underline{\rho_{21}} = \frac{\begin{vmatrix} h_{21} & \lambda_1 + h_{22} \\ h_{11} + \lambda_1 & -h_{14} \end{vmatrix}}{\begin{vmatrix} h_{21} & -h_{23}\lambda \\ h_{11} + \lambda_1 & h_{12} \end{vmatrix}} = 1.064 + 0.4677 i \rightarrow M = 1.2376 \quad (\Delta\alpha/\theta) \\ \underline{\rho_{31}} = \frac{\begin{vmatrix} h_{21} & h_{22} + \lambda_2 \\ h_{21} & h_{22} + \lambda_2 \end{vmatrix}}{\begin{vmatrix} h_{21} & h_{22} + \lambda_2 \\ h_{21} & h_{22} + \lambda_2 \end{vmatrix}} = 27,74^\circ = 27^\circ 44' \\ \underline{\rho_{12}} = \frac{\begin{vmatrix} h_{11} + \lambda_1 & h_{12} \\ h_{21} & h_{22} + \lambda_2 \end{vmatrix}}{\begin{vmatrix} h_{11} + \lambda_1 & h_{12} \\ h_{21} & h_{22} + \lambda_2 \end{vmatrix}} = 23,683^\circ = 23^\circ 40'$$

trocciamo il diagramma di Argand per il corto periodo, considerando un verso antiorario per le pulsazioni delle oscillazioni, ovvero considerando l'autovolte A_2 , che presenta parte reale negativa e parte immaginaria positiva.

Primo però avveriamo che:



$$\Delta\gamma = \Delta\theta - \Delta\alpha$$

$$\left\{ \begin{array}{l} Y_{ep} = 0 \\ \theta_{ep} = 0 \\ \alpha_{ep} \end{array} \right.$$

$$\begin{cases} Y = Y_{\text{ref}} + \Delta Y = \Delta Y \\ \vartheta = \vartheta_{\text{ref}} + \Delta \vartheta = \Delta \vartheta \\ \alpha = \alpha_{\text{ref}} + \Delta \alpha \end{cases} \Rightarrow Y = \vartheta - \Delta \alpha$$

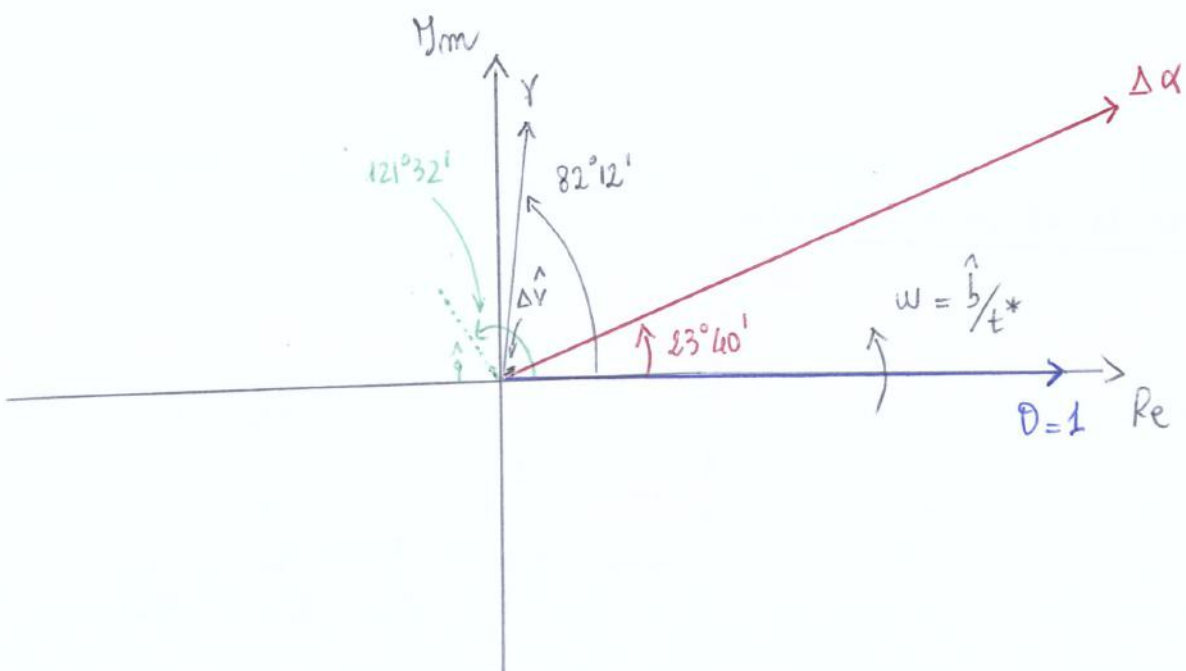
$$\Rightarrow \frac{Y}{\theta} = 1 - \frac{\Delta \alpha}{\theta} = 1 - \frac{\rho_{21}}{\rho_{31}} = -0.064 - 0.4677i \rightarrow n = 0.472 \\ \varphi = 82^\circ 12'$$

$$\therefore \hat{J} = P_{31} e^{\lambda_1 \hat{t}} \rightarrow \hat{q} = \underbrace{P_{31} \lambda_1}_{\hat{J}} e^{\lambda_1 \hat{t}} \rightarrow \hat{q} = \lambda_1 = -0.0116 + 0.0189i$$

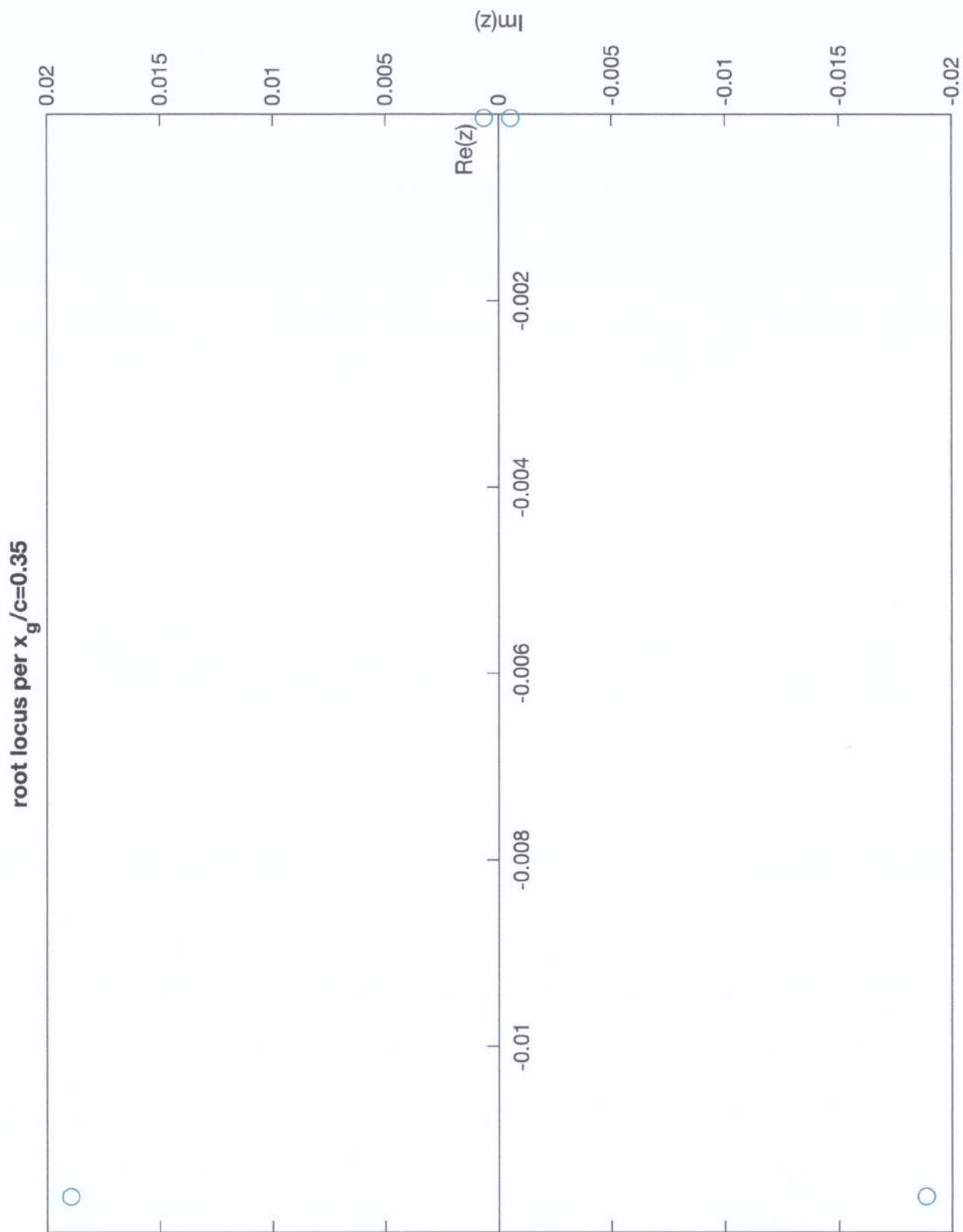
$$\hookrightarrow \kappa = 0.0221$$

$$\varphi = 121^{\circ}32'$$

DIAGRAMMA DI ARCANO - CORTO PERIODO



Determiniamo ora ρ^{13}/ρ_{33} e ρ^{23}/ρ_{33} per trovare il disegno di frangere relativo al fugitivo.



un solo modo.

Quale modo rimane?

Il modo che rimane (se rimane) è il corto periodo, più quanto abbiamo fatto, l'ipotesi di $\Delta \hat{V} = 0$.

Riconosciamo che:

$$\begin{aligned} PH \rightarrow & \left\{ \begin{array}{l} \cancel{\Delta V}, \text{o} \text{ importanti} \\ \Delta \alpha \text{ poco importante} \end{array} \right. \\ EP \rightarrow & \left\{ \begin{array}{l} \Delta \alpha, \theta \text{ importanti} \\ \cancel{\Delta V} \text{ poco importante} \end{array} \right. \end{aligned}$$

Hipotizzando $\Delta \hat{V} = \text{cost}$ si ha una soluzione che diventa valida solo nel momento in cui le variabili $\Delta \hat{V}$ non risultano sufficientemente eccitate.

\Rightarrow Abbiamo eliminato il fusoide, in cui $\Delta \hat{V}$ era importante e la soluzione ottenuta è valida per tempi brevi, confrontati con Tfusoide

In tal modo non perdiamo alcuna informazione sullo short period.

\Rightarrow Il sistema ridotto fornisce G_{ewm} del corto periodo

LOCKEED MT-33A

Megli anni '50, se seguito di molte ricerche, si era capito che erano le caratteristiche del corto periodo ad influenzare le dinamiche e tempi brevi del velivolo che interessavano al pilota. Il fusoide non era problema in questo, dato che la dinamica molto lenta, lasciava al pilota le possibilità di intervenire per correggere i parametri di volo.

Il Lockheed MT-33A è stato il primo velivolo a montare un sistema automatico di controllo, ma molto più complesso di quanto si potesse immaginare. Esso era in grado di variare le caratteristiche dinamiche di corto periodo del velivolo, permettendo ai piloti di testare vari tipi di risposte dinamica e tempi brevi.

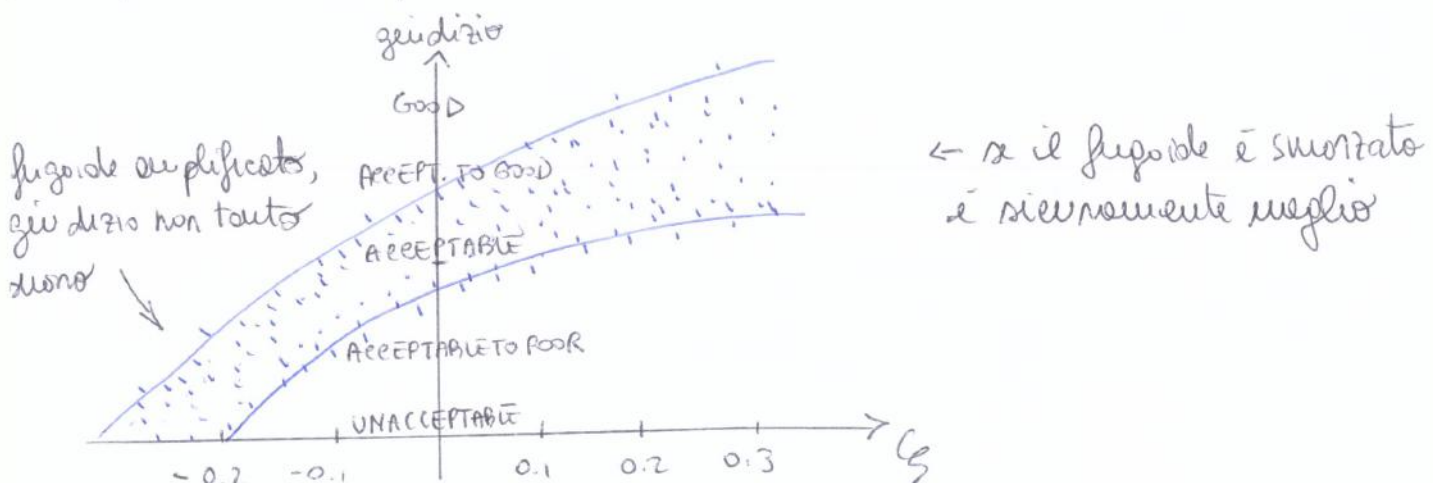
menti ai sensi e garantire una riporta dinamica del velivolo soddisfacente.

DIAGRAMMA DI OPINIONE - FUGOIDE

Ha senso prepararsi delle caratteristiche dinamiche del fugoide quando si passa dalle VFR (Visual flight rules) all' IFR (Instruments flight rules).

Nel volo a vista, c'è un riferimento esterno e il pilota riesce a correggere tutti i problemi le dinamiche del fugoide.

Nel caso di scarsa visibilità, senza riferimenti, il fugoide può creare problemi poiché le strumentazioni presenti con certo ritardo nel riportare le informazioni al pilota.



mentre $\delta \approx 0$.

Vediamo come si modifica il sistema:

$$\dot{V} = -h'_{11}\Delta V - h'_{12}\Delta\alpha - h'_{15}\theta - h'_{16}\Delta\delta \approx 0$$

equazione equilibrio dinamico in direzione X (ore vento)

Ma h'_{16} è presente la variazione delle resistenze per effetto della rotazione dell'equilibratore $\rightarrow D_S$

Possiamo considerare $C_{D_S} \approx 0$

$$\dot{\alpha} = -h'_{21}\Delta V - h'_{22}\Delta\alpha - h'_{23}q - h'_{26}\Delta\delta$$

equazione di equilibrio dinamico in direzione Z (ore vento)

Se h'_{26} è presente il C_S , che in linea di principio non può essere trascurato. Il C_S , neostando, evidenzia la variazione di portanza per effetto della rotazione dell'equilibratore.

$$\dot{q} = -h'_{31}\Delta V - h'_{32}\Delta\alpha - h'_{33}q - h'_{36}\Delta\delta$$

equazione di equilibrio dinamico della rotazione attorno a Y

Ma h'_{36} c'è il contributo delle derivate C_{HS} (elevator power), che evidenzia come varia il momento aerodinamico per effetto della rotazione dell'equilibratore.

A questo punto, aggiungiamo la 4^a equazione, $\dot{\delta} = \dots$, ovvero l'equazione di equilibrio dinamico dell'equilibratore ottimo al quale si deve di arrivare.

Moltre, si hanno le due equazioni dello zatterone:

$$\dot{\theta} = q \quad (h'_{53} = 1)$$

$$\dot{\delta} = \frac{d\delta}{dt} \quad (h'_{64} = 1)$$

Andiamo ora ad esplicitare la 4^a equazione

In tale trattazione abbiamo trascurato gli effetti di:

- $\dot{q} \rightarrow$ determina una velocità lineare se moltiplicata per il braccio.
La velocità lineare conseguente a una rotazione determina una forza centrifuga.
Generalmente, il braccio di tale forza rispetto all'asse di cerchiere è trascurabile.
- $\dot{s} \rightarrow$ anche il \dot{s} se moltiplicato per il braccio dà una velocità lineare che determina una forza centrifuga, che però trascuriamo per lo stesso motivo esposto sopra.

Una volta esplicitati i termini meridiali, studiamo sul esplicitore H , ovvero i momenti delle forze esterne.

$$H = H(V, \dot{V}, \alpha, \dot{\alpha}, q, \dot{q}, s, \dot{s})$$

$\rightsquigarrow \approx$ effetto della variazione di velocità
sul momento per dinamiche agenti
sull'equilibrio

Possiamo scrivere dunque che:

$$\Delta H = \frac{\partial H}{\partial V} \Delta V + \frac{\partial H}{\partial \alpha} \Delta \alpha + \frac{\partial H}{\partial \dot{\alpha}} \dot{\alpha} + \frac{\partial H}{\partial q} \Delta q + \frac{\partial H}{\partial s} \Delta s + \frac{\partial H}{\partial \dot{s}} \dot{s} = H_V \Delta V + H_\alpha \Delta \alpha + H_{\dot{\alpha}} \dot{\alpha} + H_q \Delta q + H_s \Delta s + H_{\dot{s}} \dot{s}$$

Ricordiamo che:

$$H = \frac{1}{2} C_{eq} \dot{V}_{eq}^2 S_e C_e C_H$$

Allora:

$$H_V = \frac{1}{2} C_{eq} S_e C_e \left(\frac{\partial H}{\partial V} V_{eq}^2 + 2 V_{eq} \frac{\partial H}{\partial \dot{V}} \right) \rightsquigarrow \approx 0, \text{ poiché } H_{\dot{V}p} = 0 \Rightarrow (H_V)_{ep} \approx 0$$

$$H_\alpha \rightarrow \frac{\partial H}{\partial \alpha} = C_{H\alpha} = b_1 \left(1 - \frac{\partial C}{\partial \alpha} \right), \text{ con } b_1 = \frac{\partial C_H}{\partial \alpha}$$

avendo il $C_{H\alpha}$ possiamo volutare l' H_α .

$H_S \Rightarrow \frac{\partial H}{\partial S} = b_2 \rightarrow$ è poi possibile volutare H_S .

$H_S \rightarrow$ più complessa da determinare e le si può determinare mediante una procedura utilizzata per volutare i termini muovimenti dei sistemi dinamici del 2° ordine \rightarrow vedi più avanti.

Siamo ora in grado di scrivere la 4^a equazione del sistema dinamico:

$$\begin{aligned} & - \underbrace{(I_e + m_e X_e l_t^H)}_{h'_{48} \cdot I_e} \ddot{q} + \underbrace{(m_e X_e V_{eq} + H_q)}_{h'_{43} \cdot I_e} q - \underbrace{(m_e X_e V_{ep} - H_{\dot{\alpha}})}_{h'_{47} \cdot I_e} \dot{\alpha} + \underbrace{H_{\alpha} \Delta \alpha}_{h'_{42} \cdot I_e} + \underbrace{H_S \Delta S}_{h'_{41}} = \\ & = I_e \ddot{s} - H_S \ddot{s} - H_S \Delta S \\ & \quad I_e \cdot h'_{44} \quad h'_{46} \cdot I_e \end{aligned}$$

Faccendo tutti i pesaggi:

$$(I_e + m_e X_e l_t^H) \ddot{q} - m_e X_e V_{eq} q + m_e X_e V_{ep} \dot{\alpha} + I_e \ddot{s} = H_V \Delta V + H_{\alpha} \Delta \alpha + H_{\dot{\alpha}} \Delta \dot{\alpha} + H_q q + H_S \Delta S + H_S \ddot{s}$$

$$I_e \ddot{s} - H_S \ddot{s} - H_S \Delta S = - (I_e + m_e X_e l_t^H) \ddot{q} + (m_e X_e V_{ep} + H_q) q - (m_e X_e V_{ep} - H_{\dot{\alpha}}) \dot{\alpha} + H_{\alpha} \Delta \alpha + H_V \Delta V$$

$$\Rightarrow \ddot{s} = \frac{H_V \Delta V}{I_e} + \frac{H_{\alpha} \Delta \alpha}{I_e} + \frac{(m_e X_e V_{ep} + H_q) q}{I_e} + \frac{H_S \ddot{s}}{I_e} + \frac{H_S \Delta S}{I_e} - \frac{(m_e X_e V_{ep} - H_{\dot{\alpha}}) \dot{\alpha}}{I_e} +$$

$$- \underbrace{\frac{(I_e + m_e X_e l_t^H) \ddot{q}}{h'_{48}}}_{\text{Ie}} \Rightarrow \boxed{\ddot{s} = - \cancel{H_V \Delta V} - \cancel{H_{\alpha} \Delta \alpha} - \cancel{H_S \ddot{s}} - \cancel{H_S \Delta S} - \cancel{H_{\dot{\alpha}} \dot{\alpha}} + }$$

$$- \cancel{H_q q} - \cancel{H_{\alpha} \Delta \alpha} - \cancel{H_V \Delta V} - \cancel{H_S \ddot{s}}$$

Per risolvere il sistema abbiamo dunque:

- 4 eq. dinamiche
- 2 eq. kinematiche $\rightarrow \dot{\theta} = q, \ddot{\theta} = \frac{d\dot{\theta}}{dt}$
- 2 eq. ulteriori $\rightarrow \dot{\alpha} = \frac{d\dot{\alpha}}{dt}, \ddot{\alpha} = \frac{d^2\dot{\alpha}}{dt^2} \rightarrow$ poiché il \ddot{s} dipende anche da $\dot{\alpha}$ e $\ddot{\alpha}$

SOLUZIONI APPROXIMATE DEI TRE MODI① Soluzione approssimata 3° modo

Dalla risoluzione del sistema completo si osserva che tutte le variabili ad eccezione di ΔS sono poco importanti. Allora, riprendendo la 4^a equazione delle dinamiche:

$$I_e \ddot{\delta} - H_g \dot{\delta} - H_S \Delta \delta = 0$$

\Rightarrow oscillazione libera dell'equilibrio

A dx dell'uguale sono state trascurate le variabili $\dot{q}, q, \dot{x}, x, V$

② Soluzione approssimata del 1° modo

Supponiamo di partire da una situazione a comandi bloccati ed invocare il fugoide, per poi liberare l'equilibrio \Rightarrow il fugoide diverrà le fonte della 4^a equazione delle dinamiche

\Rightarrow l'equilibrio rimuoverà con le caratteristiche delle fonte, ovvero con bassa frequenza $\Rightarrow \dot{\delta}, \ddot{\delta}$ possono essere trascurati.

Allora:

$$-H_S \Delta \delta = f(t) \rightarrow \Delta \delta = -\frac{f(t)}{H_S}, \text{ con } f(t) \stackrel{\approx 0}{=} \dots \dot{q} + \dots \dot{x} - \dots \dot{V} + H_a \stackrel{\approx 0}{=} H_a \stackrel{\approx 0}{=} H_a \Delta V$$

Poiché nel fugoide $\dot{q}, q, \dot{x}, \Delta x$ sono variabili poco importanti $\Rightarrow \Delta \delta \approx 0$

Se anche $\Delta \delta \approx 0 \Rightarrow$ il primo modo ottenuto a comandi liberi è praticamente uguale a quello ottenuto a comandi bloccati (fugoide)

③ Soluzione approssimata del 2° modo

Per la soluzione approssimata del secondo modo possiamo considerare $V = \text{cost}$

$$\Rightarrow \Delta V = 0$$

\Rightarrow il sistema si riduce a 3 equazioni dinamiche + 1 cinematica

\Rightarrow l'equazione risolutiva sarà più quartica che fornirà due soluzioni:

L'equazione è la classica equazione di un sistema mossa, molle, smorzato ne, che può anche essere scritta come:

$$\ddot{x} + \frac{R}{m} \dot{x} + \frac{K}{m} x = 0 \quad \text{confrontabile con} \quad \ddot{x} + 2\zeta \omega_m \dot{x} + \omega_m^2 x = 0$$

ri ho che:

$$\omega_m = \sqrt{\frac{K}{m}}$$

$$2\zeta \omega_m = \frac{R}{m} \Rightarrow \zeta = \frac{R}{2\omega_m} = \frac{R}{2\sqrt{mK}} = \frac{R}{2\sqrt{mK}} \Rightarrow R_{CR} = 2\sqrt{mK}$$

Scrivendo l'equazione caratteristica associata all'equazione differenziale:

$$\lambda^2 + \frac{R}{m} \lambda + \frac{K}{m} = 0 \rightarrow \lambda_{1,2} = -\frac{R}{2m} \pm \sqrt{\left(\frac{R}{2m}\right)^2 - \frac{K}{m}}$$

Nel caso di soluzioni complesse esponiate $\left(\frac{R}{2m}\right)^2 - \frac{K}{m} < 0$

$$\Rightarrow \omega = \sqrt{\frac{K}{m} - \left(\frac{R}{2m}\right)^2} = \sqrt{\frac{K}{m}} \cdot \sqrt{1 - \frac{R^2}{4mK}} = \omega_m \sqrt{1 - \zeta^2}$$

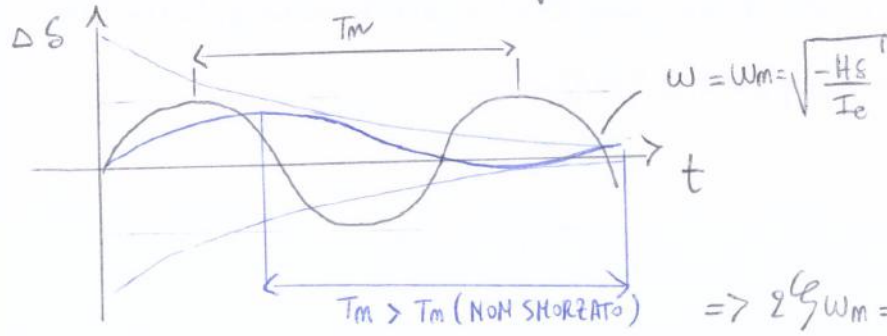
Per cui:

$$\omega_m = \sqrt{\frac{K}{m}} ; \quad \omega = \omega_m \sqrt{1 - \zeta^2} ; \quad R_{CR} = 2\sqrt{mK} ; \quad \zeta = \frac{R}{2\sqrt{mK}} ; \quad T = \frac{2\pi}{\omega}$$

nel nostro caso:

$$\omega = \sqrt{-\frac{H_S}{I_e} - \frac{H_S^2}{4I_e^2}}, \quad T = \frac{2\pi}{\omega} = \frac{2\pi}{\omega_m \sqrt{1 - \zeta^2}}$$

Allora, in presenza del vento facciamo oscillare l'equilibrio e analizziamo le time-histony:



$$\Rightarrow 2\zeta \omega_m = -\frac{H_s}{I_e} \rightarrow H_s = -2\zeta \omega_m I_e$$

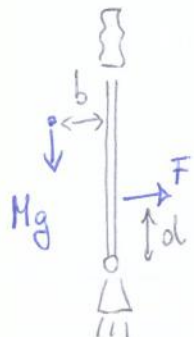
Per cui, moto ω_m (calcolato) e $\omega = \frac{2\pi}{T}$ (T misurato), si calcola ζ :

$$\zeta = \sqrt{1 - \left(\frac{\omega}{\omega_m}\right)^2}$$

Consideriamo un'apprrossimazione solo $\dot{\varphi}$ come effetti inerziali:

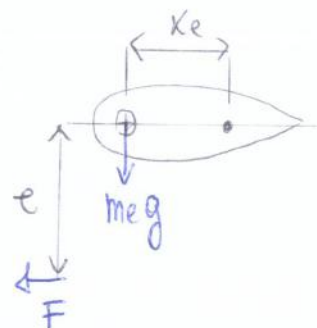
\Rightarrow aggiungiamo un'altra massa M come in figura.

EQUILIBRAMENTO STATICO



$$F_d - Mg b = 0$$

$$F = Mg \frac{b}{d}$$



$$M_e g X_e - F_e = 0$$

$$m_e g X_e - M_e g \frac{b}{d} = 0$$

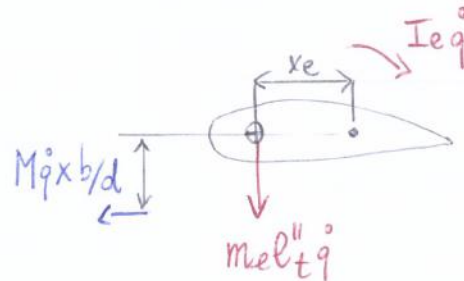
$$\Rightarrow \boxed{M_e X_e - M_e \frac{b}{d} = 0}$$

Dall'equilibrio ottimo dell'asse di cerniere si può ricavare:

$$M = \frac{m_e X_e}{e b/d}$$

EQUILIBRAMENTO DINAMICO

$$+ I_{eq} \ddot{\varphi} - m_e l_t^{\prime\prime} \ddot{\varphi} X_e + M_e \dot{X}_e \frac{b}{d} = 0$$



Sostituendo M ricavato precedentemente si ottiene una quantità $\neq 0$!

Considerando anche gli effetti di a_z , si dovrebbe aggiungere:

$$+ m M_g \frac{b}{d} e - M_e m g X_e$$

Considerando anche gli effetti di \ddot{s} si dovrebbe aggiungere:

$$+ I_e \ddot{s}$$

\Rightarrow in tale situazione non si riesce più avere equilibrio statico e dinamico

\Rightarrow si deva le massa M e se ne aggiungono z , m e m' , come lo abbiamo riportato nelle pagine seguenti.

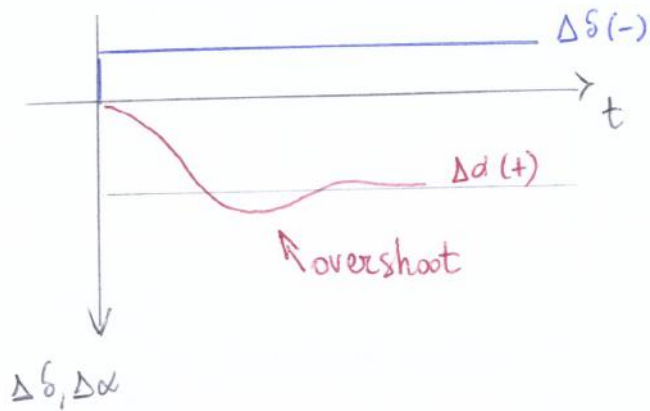
RISPOSTA ALLA MANOVRA

Una manovra è un'azione esercitata dal pilota sui comandi per pensare da una evoluzione di equilibrio a un'altra.

Non siamo interessati a una manovra costituita da una successione di stati di equilibrio (manovra molto lenta), ma solo una manovra che sostiene le dinamiche del velivolo.

Manovra a gradino

La manovra a gradino è irreale, in quanto non è possibile portare staziosamente l'equilibratore da una posizione definita a un'altra. La dinamica, comunque, fa riferimento a tale manovra per definire alcune caratteristiche dinamiche del velivolo, in quanto essa è conservativa, nel senso che qualsiasi manovra realistica determina più sollecitazione inferiore a quelle istantanee.



MANOVRA ISTANTANEA O A GRADINO

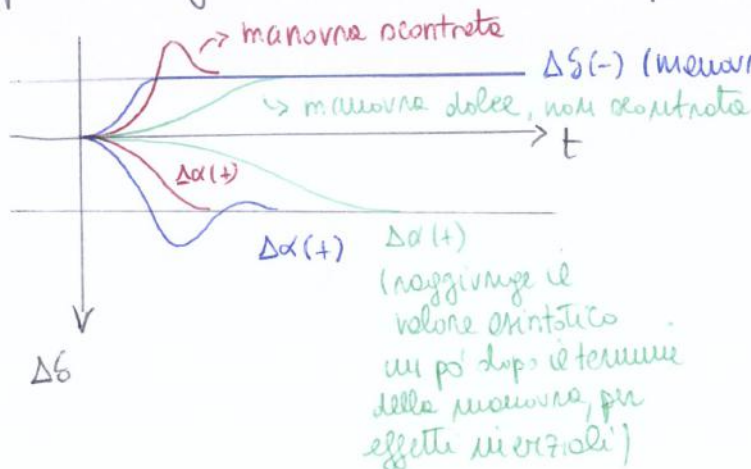
(non reale)

In seguito alla manovra a gradino, varia tutto il vettore di stato.

Abbiamo rappresentato un possibile andamento di $\Delta\alpha$, che se ΔS risulta positivamente, si porterà sul un valore assintotico positivo

Manovra reale

Riportiamo gli andamenti di ΔS e $\Delta\alpha$ per una possibile manovra reale:



$\Delta S(-)$ (manovra brusca, non reale)

Nella MANOVRA SCONTRATA il pilota aggredisce fortemente il velivolo ottengendo l'effetto di beccheggi e poi lo frene (angolarmenete) in maniera da raggiungere il valore assintotico più rapidamente

† seguito delle marce, che permette possono essere come un disturbo, si rimesa il moto variò del veicolo caratterizzato dalla rappresentazione dei due modi. Considerando $\Delta \hat{v} = 0 \rightarrow \hat{v} = \text{cost}$ si ottiene una soluzione valida a tempi brevi, in modo che in tale tempo lo short period si è sviluppato ed esaurito, mentre il lungo periodo non si è ancora sviluppato.

\Rightarrow SISTEMA RIDOTTO in cui rimangono solo le caratteristiche del corto periodo.

Il sistema diventa:

- $\frac{d\hat{v}}{dt} + h_{11}\hat{v} + h_{12}\Delta\alpha + h_{14}\theta \underset{\approx 0}{=} -h_{15}\Delta S(t) \rightarrow$ legge cinematica
- $\frac{d\hat{\alpha}}{dt} + h_{21}\hat{v} + h_{22}\Delta\alpha + h_{23}\hat{q} \underset{\approx 0}{=} -h_{25}\Delta S(t)$
- $\frac{d\hat{q}}{dt} + h_{31}\hat{v} + h_{32}\Delta\alpha + h_{33}\hat{q} \underset{\approx 0}{=} -h_{35}\Delta S(t)$
- $\frac{d\theta}{dt} = \hat{q}$

1^a APPROXIMAZIONE: $h_{25}=0$ (trascuro C_6)

ovviamente $h_{35} \neq 0$

\Rightarrow dalle 2^a equazione: $\hat{q} = -\frac{1}{h_{23}} \frac{d\hat{\alpha}}{dt} - \frac{h_{22}}{h_{23}} \Delta\alpha$

$$\frac{d\hat{q}}{dt} = -\frac{1}{h_{23}} \frac{d^2\hat{\alpha}}{dt^2} - \frac{h_{22}}{h_{23}} \frac{d\Delta\alpha}{dt}$$

\Rightarrow sostituendo nella 3^a equazione:

$$-\frac{1}{h_{23}} \frac{d^2\hat{\alpha}}{dt^2} - \frac{h_{22}}{h_{23}} \frac{d\Delta\alpha}{dt} + h_{32}\Delta\alpha - \frac{h_{33}}{h_{23}} \frac{d\hat{\alpha}}{dt} - \frac{h_{33}h_{22}}{h_{23}} \Delta\alpha = -h_{35}\Delta S$$

$$\boxed{\frac{d^2\hat{\alpha}}{dt^2} + (h_{22} + h_{33}) \frac{d\hat{\alpha}}{dt} + (h_{22}h_{33} - h_{23}h_{32}) \Delta\alpha = h_{23}h_{35}\Delta S}$$

equazione molla -
molla - oscillazione

OSSERVAZIONE

Studiando il diagramma di stabilità, avremo visto che dopo una certa posizione del baricentro il canto periodo passava da un modo oscillatorio a due soluzioni aperiodiche.

In tale caso, invece, vedremo il passaggio da modo oscillatorio a modo aperiodico variando ζ .

Si prendiamo l'equazione:

$$\frac{d^2\alpha}{dt^2} + (h_{22} + h_{33}) \frac{d\alpha}{dt} + (h_{22}h_{33} - h_{23}h_{32}) \Delta\alpha = h_{23}h_{35} \Delta S$$

$$\ddot{x} + 2\zeta \omega_m \dot{x} + \omega_m^2 x = F(t) = h_{23}h_{35} \Delta S(t)$$

In ζ figurano i termini h_{22}, h_{33} , all'interno dei quali troviamo:

$h_{22} \rightarrow C_{2x}$ (h_{22} termine elastico 2^a equazione differenziale)

$h_{33} \rightarrow C_{Mg}$ (h_{33} termine ormonante 3^a equazione differenziale)

Risolvendo l'equazione differenziale:

$$\Delta\alpha = \frac{h_{23}h_{35}}{\omega_m^2} \left[1 - \frac{1}{\sqrt{1-\zeta^2}} e^{-\zeta \omega_m t} \sin\left(\frac{\omega}{\sqrt{1-\zeta^2}} \omega_m t + \varphi\right) \right] \Delta S$$

$$\text{con } \omega_m = \sqrt{h_{22}h_{33} - h_{23}h_{32}}, \quad \zeta = \frac{h_{22} + h_{33}}{2\omega_m}, \quad \varphi = \arctg \sqrt{\frac{1}{\zeta^2} - 1} = \arcsin \sqrt{1 - \zeta^2}$$

$$\omega = \omega_m \sqrt{1 - \zeta^2}, \quad h_{35} = - \frac{C_{MS}}{I_y}$$

- Se $\zeta = 0 \rightarrow \Delta\alpha = \frac{h_{23}h_{35}}{\omega_m^2} [1 - \sin(\omega_m t + \varphi)] \Delta S, \quad \varphi = \pi/2 \rightarrow$ riflessamento tra forzante e mportante

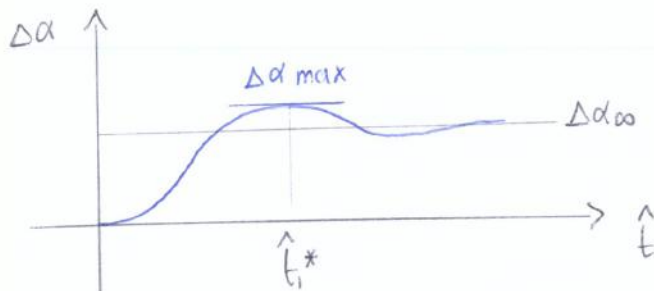
- Se $\zeta = 1 \rightarrow \Delta\alpha = \frac{h_{23}h_{35}}{\omega_m^2} [1 - e^{-\omega_m t}] \Delta S$

perché per $\zeta = 1$ $\frac{\sin(\sqrt{1-\zeta^2} \omega_m t + \varphi)}{\sqrt{1-\zeta^2}} = 0$

Allora:

$$\Delta m = \text{const} \Delta \alpha \rightarrow \boxed{\Delta m_{\text{co}} = \text{const} \Delta \alpha_{\text{co}} = \text{const} \cdot \text{const}' \Delta \delta}$$

Ymoltre:



$\Delta \alpha_{\text{max}} = \text{fatt. di ampl.} \cdot \Delta \alpha_{\text{co}}$

$$\Rightarrow \Delta m_{\text{max}} = \text{const} \Delta \alpha_{\text{max}} = \\ = \text{const. fatt. di ampl.} \Delta \alpha_{\text{co}} = \\ = \text{const} \cdot \text{const}' \cdot \text{fatt. di ampl.} \Delta \delta$$

Per cui:

$$\boxed{\Delta \alpha_{\text{max}} = \text{fatt. di ampl.} \cdot \text{const}' \Delta \delta}$$

$$\boxed{\Delta m_{\text{max}} = \text{const} \cdot \text{const}' \cdot \text{fatt. di ampl.} \cdot \Delta \delta}$$

Ricaviamo ora il fattore di amplificazione:

$$\frac{\Delta \alpha}{\Delta \delta} = K_1 \left[1 - K_2 e^{-K_3 \hat{t}} \sin(K_4 \hat{t} + \varphi) \right] \quad \text{con} \quad K_1 = \frac{h_{23} h_{35}}{w_m^2}, \quad K_2 = \frac{1}{\sqrt{1 - q^2}}, \quad K_3 = q w_m$$

$$\frac{d}{dt} \left(\frac{\Delta \alpha}{\Delta \delta} \right) = K_1 K_2 e^{-K_3 \hat{t}} \left[-K_4 \cos(K_4 \hat{t} + \varphi) + K_3 \sin(K_4 \hat{t} + \varphi) \right]$$

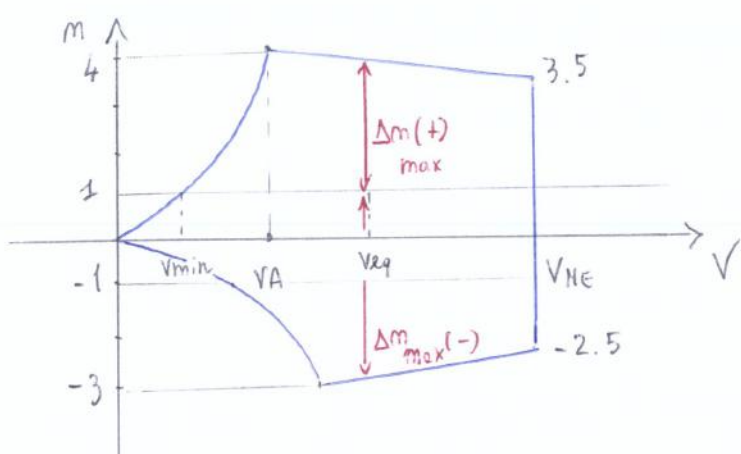
$$\frac{d}{dt} \left(\frac{\Delta \alpha}{\Delta \delta} \right) = 0 \rightarrow \underbrace{K_1 K_2 e^{-K_3 \hat{t}}}_{\text{non ci interessa}} = 0, \quad [-K_4 \cos(K_4 \hat{t} + \varphi) + K_3 \sin(K_4 \hat{t} + \varphi)] = 0$$

$$\text{Poniamo } \beta = K_4 \hat{t} + \varphi \Rightarrow K_4 \cos \beta = K_3 \sin \beta \Rightarrow \tan \beta = \frac{K_4}{K_3} = \frac{w_m \sqrt{1 - q^2}}{q w_m} = \sqrt{\frac{1}{q^2} - 1} = \tan \varphi$$

$$\Rightarrow \tan \beta = \tan \varphi \rightarrow \beta = \varphi \rightarrow K_4 \hat{t} + \varphi = \varphi \rightarrow \boxed{\hat{t} = 0} \quad \begin{array}{l} \text{1^a soluzione, le curve partono da} \\ (\varphi = 0) \quad \text{tangente orizzontale} \end{array}$$

$$\bullet \quad n=1 \rightarrow \beta = \varphi + \pi \rightarrow K_4 \hat{t} + \varphi = \varphi + \pi \rightarrow \boxed{\hat{t}_1^* = \frac{\pi}{K_4} = \frac{\pi}{\frac{w_m}{\sqrt{1 - q^2}}} = \frac{\pi \sqrt{1 - q^2}}{w_m}} \quad \begin{array}{l} \frac{q^2}{2} \\ \text{soluzione} \end{array}$$

Prendiamo un diagramma di manovra molto semplice:



Ad una certa $V_{eq} > V_A$ dobbiamo poter raggiungere il $m_{max}(+)$ e il $\Delta m_{max}(-)$.

Quel è il comando che consente di raggiungere i limiti del diagramma di manovra.

$$\frac{\Delta m_{max}}{\Delta S} = \text{cost. cost. fatt. di suppl.} \rightarrow$$

$$\Delta S = \frac{\Delta m_{max}}{\text{cost. cost. fatt. di suppl.}}$$

Se il ΔS ricade all'interno della escursione permibile dell'equilibrio

↳ progetto ben fatto, il pilota deve stare attento e non superare quel ΔS perché svilupperebbe fattori di carico e contingenza maggiori rispetto a quelli permessi dal diagramma di manovra

Se il ΔS non ricade all'interno dell'escursione permibile dell'equilibrio

↳ non sarà possibile raggiungere i limiti del diagramma di manovra

Tale discorso è analogo a quello visto per le manovre di richiamo.

La monottiva dunque impone di verificare il raggiungimento dei limiti del diagramma di manovra per:

- la RICHIAMATA → noto il gradiente $\frac{dS}{dM}$ e il $\Delta M \rightarrow$ si determina il ΔS

- la MANOVRA a GRADINO → $\Delta S = \frac{\Delta m_{max}}{(\dots)}$

Un'altra verifica che impone la monottiva è la seguente:

a seguito di un ΔS determinato da una manovra istantanea, verificare l'ottica coda-fusoliere, dal punto di vista strutturale, a partire dall' L_{eq} .

DINAMICA LATERO-DIREZIONALE

Riprendiamo le tre equazioni che descrivono la dinamica latero-direzionale:

$$\begin{cases} F_y = m(\ddot{v} + \dot{r}u - p\omega) \\ L = I_x \dot{p} - I_{xz} \dot{r} - I_{xz} pq + (I_z - I_y) qr \\ N = I_z \dot{r} - I_{xz} \dot{p} - I_{xz} qr + (I_y - I_x) pq \end{cases}$$

linearizzando le equazioni:

$$u = u_{eq} + \Delta u, \quad v = v_{eq} + \Delta v, \quad w = w_{eq} + \Delta w, \quad p = \Delta p, \quad q = \Delta q, \quad r = \Delta r$$

ipotizzando Δ piccoli:

$$\begin{cases} F_y = m(\ddot{v} - p w_{eq} + r u_{eq}) \\ L = I_x \dot{p} - I_{xz} \dot{r} \\ N = I_z \dot{r} - I_{xz} \dot{p} \end{cases}$$

non ho senso prendere così vento perché dovremmo edicolare un oggetto istante i momenti di inerzia
 ↓
 se ossi body = ossi di stabilità $\Rightarrow w_{eq} = 0$
 $u_{eq} = V_{eq}$

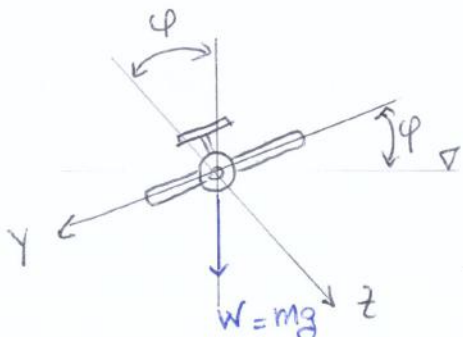
Per cui:

$$\begin{cases} F_y = m(\ddot{v} + r V_{eq}) \\ L = I_x \dot{p} - I_{xz} \dot{r} \rightarrow \text{variabili fondamentali: } N, p, r \\ N = I_z \dot{r} - I_{xz} \dot{p} \end{cases}$$

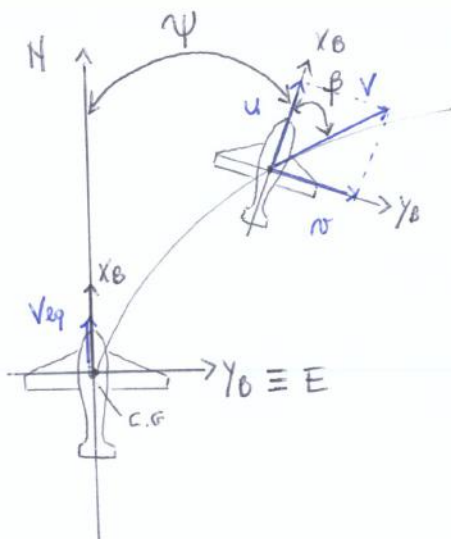
Ora dovrei esplicitare i primi membri, avendo forze esterne e momenti delle forze esterne.

$$F_y = f(N, p, r, ?) = \frac{\partial Y}{\partial N} \Delta N + \frac{\partial Y}{\partial p} \Delta p + \frac{\partial Y}{\partial r} \Delta r + ?$$

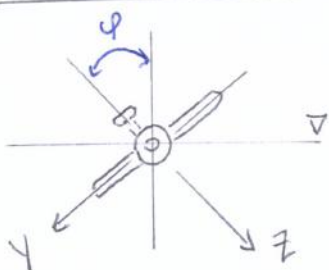
con Y è indicata la risultante delle forze esterne (aerodinamiche e propulsive) in direzione y .



→ Una componente del peso, $mg \sin \psi$, va riportata nelle direzioni y .



VISTA IN PIANA



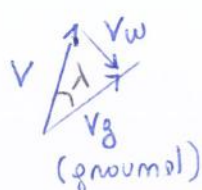
VISTA FRONTALE

A(senza vento): prua (x_B) \equiv rotta (A-B)

P(con vento): prua (x'_B) \neq rotta (A-B)

Volendo seguire la rotta in presenza di vento v_w , $x_B \rightarrow x'_B$ in modo che

$$\vec{v} + \vec{v}_w = \vec{v}_g$$



λ = angolo di deriva (leeway o drift)

v_g deve essere diretto secondo AB

Perciò se x_B è x'_B cambia l'angolo ψ , che inizialmente era coincidente con l'angolo di rotta, ma si ritrovati i casi $\beta=0$, perché non c'è nessun rapporto tra il vettore velocità \vec{v} (velocità all'aria) e l'asse body del velivolo.

Troviamo ora alle 3 equazioni:

$$\cdot \ddot{r} = \frac{Y_N}{m} N + \frac{Y_F}{m} p + \left(\frac{Y_m}{m} - V_{eq} \right) k + g \psi$$

$$\cdot L_N N + L_p p + L_k k = I_x \dot{p} - I_{xz} \dot{r} \rightarrow \dot{p} = \frac{L_N N}{I_x} + \frac{L_p p}{I_x} + \frac{L_k k}{I_x} + \frac{I_{xz}}{I_x} \dot{r}$$

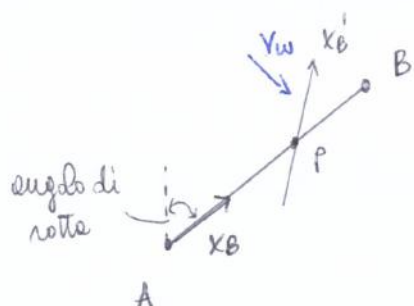
$$\cdot M_N N + M_p p + M_k k = I_z \dot{r} - I_{xz} \dot{p} \rightarrow \dot{r} = \frac{M_N N}{I_z} + \frac{M_p p}{I_z} + \frac{M_k k}{I_z} + \frac{I_{xz}}{I_z} \dot{p}$$

• ψ = yaw angle (angolo di ruotazione): angolo tra le direzioni body iniziale, diventata inerziale e coincidente con H e l'asse body x nelle condizioni generali

• β = sidelip angle (angolo di derapate)

• φ = angolo di sterzo

Apriamo una parentesi:



$$c_{\text{avg}} = \frac{s}{b}$$

$$c_{\text{max}} = \frac{2}{5} \int_0^{b/2} e^y dy$$

Inoltre:

le velocità angolari si sommano ortogonalmente con la quantità $\frac{b}{2} V_{\text{eq}}$

$$\frac{d\psi}{dt} = \frac{d\psi}{d(t/t^*)} = \frac{d\psi}{dt} t^* = p \frac{e}{2V_{\text{eq}}} \cdot \frac{A}{A} = \frac{1}{A} \left(\frac{p b}{2V_{\text{eq}}} \right) = \frac{1}{A} \hat{p}, \quad \text{con } A = \frac{b}{c_{\text{max}}} \neq \lambda = \frac{b}{c_{\text{avg}}}$$

$$\frac{d\psi}{dt} = \frac{1}{A} \hat{p}$$

$$Y \rightarrow C_Y = Y / \frac{1}{2} \rho V^2 S$$

$$L \rightarrow C_L = L / \frac{1}{2} \rho V^2 S b$$

$$N \rightarrow C_N = N / \frac{1}{2} \rho V^2 S b$$

$$N \rightarrow \hat{n} = n / V_{\text{eq}} \approx \beta$$

$$\dot{\beta} \rightarrow \hat{\beta} = \dot{\beta} \cdot \frac{b}{2} V_{\text{eq}}$$

$$P \rightarrow \hat{P} = P \cdot \frac{b}{2} V_{\text{eq}}$$

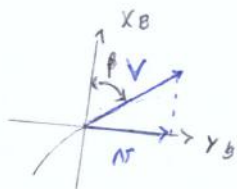
$$E \rightarrow \hat{E} = E / V_{\text{eq}}$$

$$I_x \rightarrow \hat{I}_x = I_x / \rho_{\text{eq}} S (b/2)^3$$

$$I_{xz} \rightarrow \hat{I}_{xz} = I_{xz} / \rho_{\text{eq}} S (b/2)^3$$

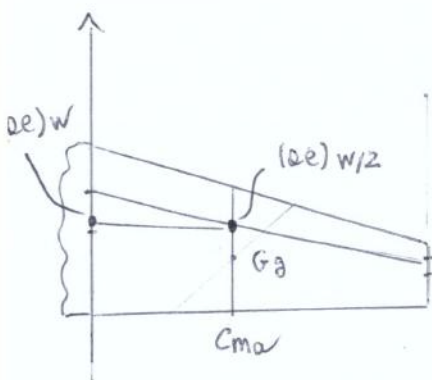
$$I_z \rightarrow \hat{I}_z = I_z / \rho_{\text{eq}} S (b/2)^3$$

$$\rho \rightarrow \hat{\rho} = \rho / \rho_{\text{eq}}$$



$$n = V \sin \beta \approx V \beta \quad \text{se } \beta \text{ piccolo}$$

Ricordiamo anche che:



- Per gli trapetzi, pluritrapetzi ed ellittiche (e profili contee)
 - ⇒ $(ae)w/2$ giace sulla corda di G_g (baricentro)
- Per gli trapetzi e pluritrapetzi
 - ⇒ la corda di $G_g \equiv$ corda media ass. c_{ma}
- Per gli ellittiche ⇒ c di $G_g \neq c_{\text{ma}}$

DERIVATE AERODINAMICHE NEL LATERO - DIREZIONALE

Derivate	C_y	C_e	C_m
β	$C_{y\beta}$ ($C_{z\alpha}$)	$C_{e\beta}$ effetto dietro dell'effetto dietro	$C_{m\beta}$ stabilità direzionale
P	C_{yP} (C_{Lq})	C_{eP} damping derivatives	C_{mP} cross derivatives
R	C_{yR}	C_{eR} cross derivatives	C_{mR} damping derivatives

- in blu sono evidenziate le correzioni con il longitudinale
- damping derivatives $\rightarrow < 0$ (C_{Lq})
- cross derivatives: misura di un momento attorno a un asse per effett. di una velocità angolare attorno a un asse perpendicolare

Derivate/nome	Funzione/effetto	segno	importanza	contributi
$C_{y\beta}$	sugolo β /variaz. di forza secondo y	(-)	medio/bassa	<ul style="list-style-type: none"> fusoliera impennaggio verticale
$C_{e\beta}$ <u>EFFETTO DIEDRO</u>	sugolo β /variaz. di momento attorno a x	(-)	altissima	<ul style="list-style-type: none"> ala free air di diedro d'ole impennaggio verticale posizione ale r.p. e fusoliera diverse riduzione delle z sensibili
$C_{m\beta}$ <u>STABILITÀ DIREZIONALE</u>	sugolo β /variaz. di momento attorno a z	(+)	alta	<ul style="list-style-type: none"> impennaggio verticale fusoliera ala
C_{yP}	vel. p/variazione di forza secondo y	(-)	bassa	impennaggio verticale
C_{eP} <u>DAMPING DERIVATIVES</u>	vel. p./variazione di momento attorno a x	(-)	media	<ul style="list-style-type: none"> ala - imp. verticale impennaggio orizzontale
C_{mP} <u>CROSS DERIVATIVES</u>	vel p/variaz. di momento attorno a z	(-)	media	<ul style="list-style-type: none"> ala impennaggio verticale
C_{yR}	vel R/variaz. di forza secondo y	(+)	bassa	impennaggio verticale
C_{eR} <u>CROSS DERIVATIVES</u>	vel R/variaz. di momento att. a x	(+)	media	ala
C_{mR} <u>DAMPING DERIVATIVES</u>	vel R/variaz. di momento att. a z	(-)	media	ala

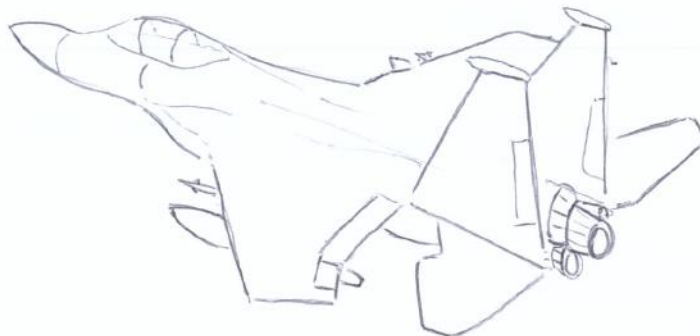
esempio

IDROVORSA Me-72



$C_{LSR} = 0$ perché non c'è bocchio rispetto all'asse X_B

F-15:



C_{SR} molto importante.
Togliendo il sistema automatico di controllo dell'F-15, si muovono di più, più veloci con il timone rispetto a quanto si ottiene con gli alettoni.

3^o eq) $C_{mbz}, C_{LSE} \rightarrow C_{MSR}$: derivate di manovra
del cammino direzionale
del timone

C_{MSR} : effetto in bordante (vider destra) che si ottiene muovendo gli alettoni

In presenza dei comandi, dunque, il sistema dinamico assume la forma:

$$\ddot{\bar{x}} = A\bar{x} + B\bar{u} \quad \text{con} \quad \bar{u} = \begin{Bmatrix} \delta_a \\ \delta_r \end{Bmatrix}, \quad B \in \mathbb{R}^{5 \times 2}$$

In maniera del tutto analoga a quanto visto per le dimensioni longitudinali è possibile, per una trasmissione meccanica reversibile, pensare a una dimensione latero-direzionale e comandi liberi.

In tal caso, le variabili δ_a, δ_r non sono più sotto del pilota, ma diventano variabili indipendenti. Allora:

- occorre aggiungere alle equazioni delle dimensioni scritte i termini contenenti le derivate $C_{YSE}, C_{YSR}, C_{LSE}, C_{LSR}, C_{MSR}, C_{MSR}$ moltiplicate per le variazioni angolari delle superfici mobili
- occorre aggiungere 2 nuove equazioni di equilibrio dinamico alla rotazione

Delle quattro di equazione:

$$\lambda^4 + B_2 \lambda^3 + C_2 \lambda^2 + D_2 \lambda + E_2 = 0$$

4 SOLUZIONI REALI
2 REALI + 1 COPPIA COMPLESSA CONIUGATA
2 COMPL. CONIUGATE

Generalmente, per il lato-azionale si ottengono 2 soluzioni reali + 1 coppia complessa coniugata.

1^a SOLUZIONE REALE - ROLL SUBSIDENCE OR ROLL MODE (convergenza di rollio)

- Valore negativo e in modulo $\gg 0 \rightarrow$ moto periodico molto smorzato
- $\dot{\varphi}$ importante
- $\ddot{\beta}, \dot{\psi}$ poco importanti

Il vettore velsità V rimane all'incirca nel piano di simmetria e l'axe body x del velivolo rimane ortogonalmente nella direzione del moto indisturbato.

\Rightarrow Il velivolo ribatte lateralmente e generalmente, poiché il moto è smorzato, la velsità di variazione dell'angolo si muove rapidamente.

Questo non vuol dire che il velivolo ritorni alle condizioni iniziali, in questo primo momento di risposta dinamica del velivolo esso si porta a un valore di $\dot{\varphi} \neq 0$.

Il roll-mode può essere studiato mediante una trattazione molto semplice mediante un'unica equazione di equilibrio dinamico attorno all'axe x

2^a SOLUZIONE REALE - SPIRAL MODE (modo spirale)

- piede in modulo e $> 0 <$ di 0. \rightarrow moto periodico polo smorzato o polo amplificato
- $\dot{\varphi}, \dot{\psi}$ importanti
- $\ddot{\beta}$ poco importante

Supponendo un spiral-mode polo instabile, $\dot{\varphi}$ continua ad aumentare sviluppandosi al roll-mode e intanto varia anche $\dot{\psi}$, l'angolo tra l'axe body x e la direzione dell'axe body nelle situazioni iniziali. $\dot{\psi}$ continua a rimanere all'incirca contenuta nel piano di simmetria.

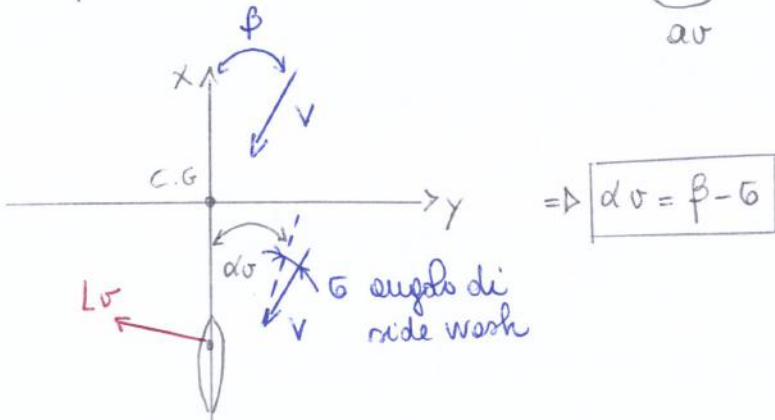
CONTRIBUTO IMPENMAGGIO VERTICALE

$C_N = C_{L_N} \frac{1}{2} \rho V^2 S_N$, con S_N : superficie in piante impennaggio verticale

$$(C_c)_N = C_{L_N} \frac{S_N}{S}$$

Se si trasse una D_N (draq dell'impennaggio verticale) $\Rightarrow (C_y)_N = -C_{L_N} \frac{S_N}{S}$

$$\Rightarrow \left(\frac{\partial C_y}{\partial \beta} \right)_N = (C_{y_p})_N = - \frac{S_N}{S} \frac{\partial C_{L_N}}{\partial \beta} = - \frac{S_N}{S} \underbrace{\frac{\partial C_{L_N}}{\partial \alpha_U} \cdot \frac{\partial \alpha_U}{\partial \beta}}_{av}$$



L'angolo di sidewash è generato da vari fenomeni aerodinamici, tra cui le vorticità che si sviluppano attorno all'ala e l'effetto di raddrizzamento dei filtri fluidi ai portelli delle fusoliere.

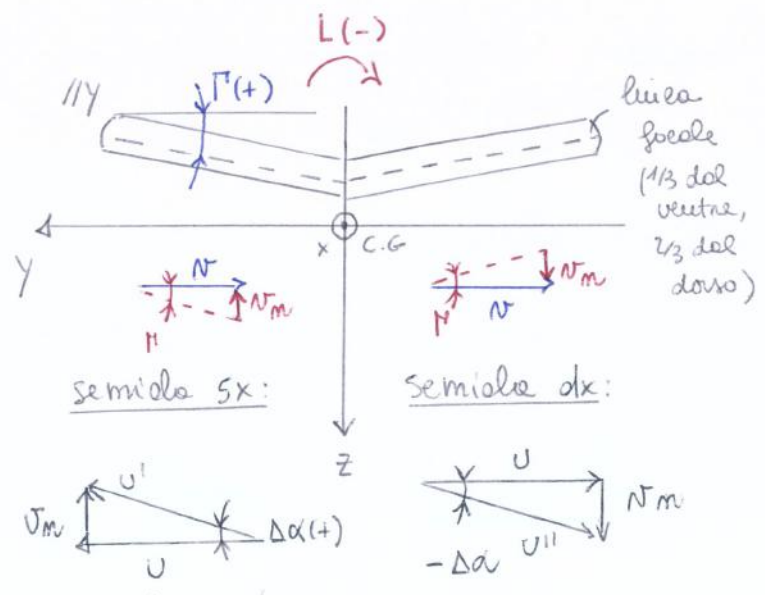
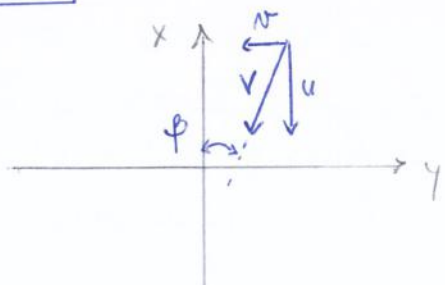
$$\Rightarrow \frac{\partial \alpha_U}{\partial \beta} = 1 - \frac{\partial \beta}{\partial \phi} = \text{side wash factor}$$

$$\Rightarrow (C_{y_p})_N = - \frac{S_N}{S} \alpha_U \left(1 - \frac{\partial \beta}{\partial \phi} \right)$$

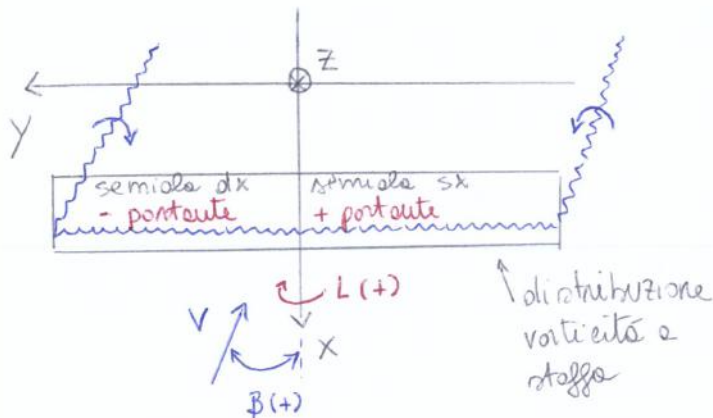
$$\text{Per cui, } C_{y_p} = (C_{y_p})_b + (C_{y_p})_N < 0$$

con α_U : coeff. angolare di portata dell'impennaggio verticale

$$\textcircled{2} \quad C_{l_p} < 0 \quad \underline{\text{EFFETTO DIEDRO}}$$



④ Diverse riduzioni delle due semiali

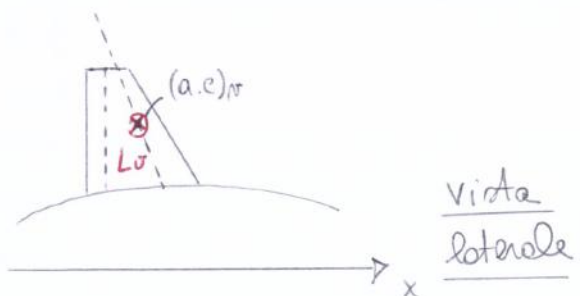
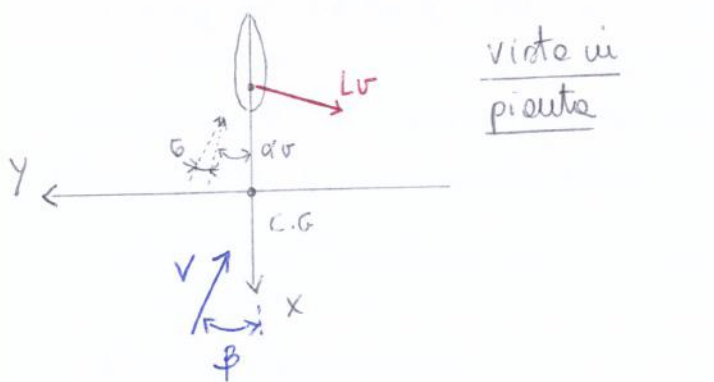


La distribuzione di vorticita e dunque di velocità si dota forse in modo che su una semiala ci sia un'incidenza inferiore e sull'altra un'incidenza maggiore

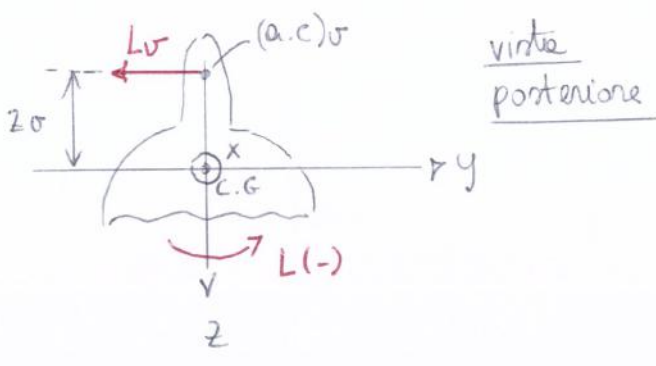
$$\Rightarrow L > 0 \text{ (rollio)}$$

$$\Rightarrow (C_{\text{ef}})_4 > 0 \text{ (contributo molto piccolo)}$$

⑤ Impennaggio verticale



Se la deriva è trapezoidale, l'(a.e)r giace nel quarto anteriore della corda boricentrale (boricentro geom.)



$$\begin{aligned} &\downarrow \text{roll} \\ \Rightarrow & L = -L_N \cdot z_v \\ L_N &= \frac{1}{2} \rho V^2 S_v a_v dv \\ \alpha_r &= \beta - \delta \rightarrow \frac{\partial \alpha_r}{\partial \beta} = 1 - \frac{\partial \delta}{\partial \beta} \end{aligned}$$

$$\Rightarrow C_L = \frac{L}{\frac{1}{2} \rho V^2 S_b} = - \frac{S_v}{S} \frac{a_v}{b} dv z_v = - \frac{S_v}{S} \frac{a_v}{b} (\beta - \delta) z_v$$

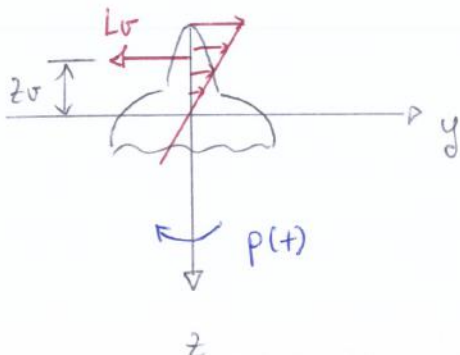
$$\Rightarrow (C_{\text{ef}})_N = - \frac{S_v}{S} \frac{a_v}{b} \left(1 - \frac{\partial \delta}{\partial \beta}\right) z_v < 0 \quad \Rightarrow \delta < 0 \text{ se } \beta > 0!$$

③ $C_m \beta$ STABILITÀ DIREZIONALE

\rightarrow Vogliamo che sia > 0 perché, con un $\beta > 0$, deve svilupparsi un momento riportante che tende ad annidare il β .

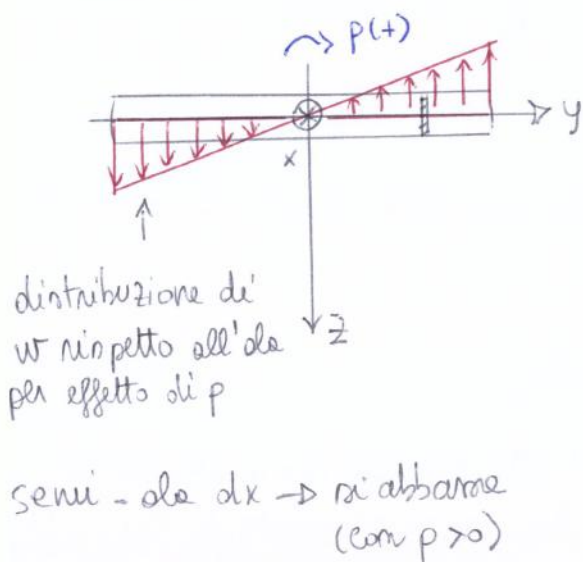
② C_{dp} DERIVATA DI SMORZAMENTO (< 0) \rightarrow per effetto di una velocità di rollio, generalmente si genera un momento di rollio di segno opposto. (non sempre)

① Impennaggio verticale



$$\Rightarrow L_r \cdot z_v = -(L)_p^{\text{roll}}$$

② Contributo dell'ale

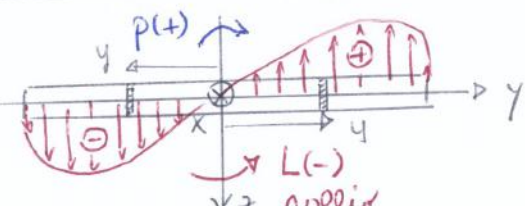


$$\Rightarrow \Delta\alpha > 0 \Rightarrow \Delta L > 0$$

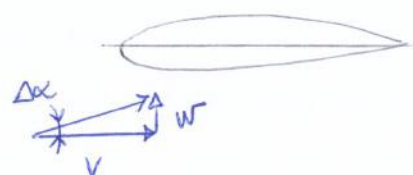
Si avrà invece l'opposto nell'altra semi-ale. Potremmo comunque affermare che, alle estremità dell'ale:

$$\Delta\alpha = \pm \frac{pb}{2V}, \text{ dove } b \text{ è la larghezza} = p b/2 \text{ e } \Delta\alpha = w/V, \text{ se } \Delta\alpha \text{ piccolo}$$

Distribuzione di lift



Considerando una generica sezione delle semiali di destra, si ha che:

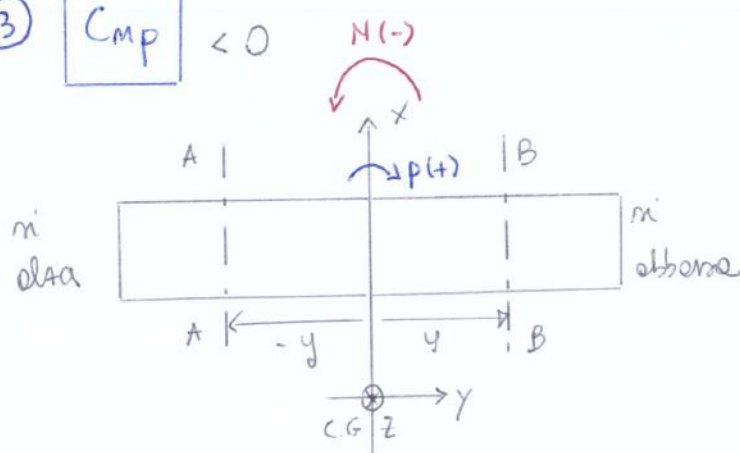


La distribuzione di $\Delta\alpha$ ovvia lo stesso andamento della distribuzione di velocità rispetto all'ale.

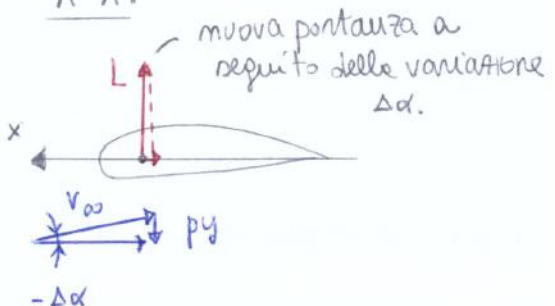
Indipendentemente dall'angolo iniziale α , il velivolo volerà maggiormente fino a portarsi a una situazione di equilibrio che avrà un angolo α aumentato.

L'autostezione può essere l'anticorso della vite. I velivoli che volano in vite devono presentare caratteristiche di autostezione.

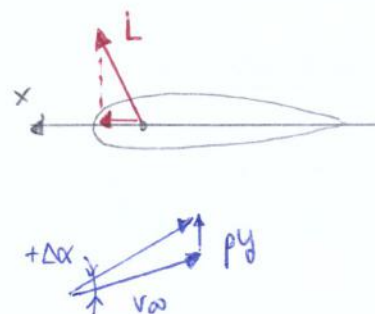
$$③ C_{mp} < 0$$



A-A:



B-B:



1) Contributo alle

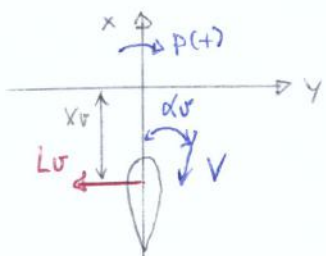
$$\left\{ \begin{array}{l} \text{- per } L: \quad \downarrow \quad \text{N}(-) \quad \uparrow \\ \text{- per } D: \quad \uparrow \quad \text{N}(+) \quad \downarrow \end{array} \right.$$

Una diminuzione di α evidenta componete una diminuzione di Lift, e dunque di resistenza aerodinamica, e dunque di resistenza.

Tra i due contributi vince di gran lunga quello di $L \Rightarrow C_{mp} < 0$

2) Contributo all'impennaggio orizzontale

Per effetto di $p(+)$, messo sull'impennaggio orizzontale una distribuzione lineare di velocità che, compenendosi con la velocità di traslazione, comporta un'accelerazione delle velocità di αv (mediamente) nelle viti più piccole.



$\Rightarrow L_v$ in direzione y negativa

$$\Rightarrow L_v \cdot x_v \Rightarrow (N_v)v > 0 \Rightarrow (C_{mp}) > 0$$

contributo
piccolo

Ad esempio, velivolo da trasporto: $C_{mp} = 0.008 - 0.10 C_{L_{eq}}$

Sull'impennaggio verticale non si ha solo un $\Delta \alpha_r$, ma:

$$\Delta \alpha_r = \Delta \alpha_{r1} + \Delta \alpha_{r2} = \frac{rlv}{V} + \left(\frac{\partial \delta r}{\partial r} \right)_{re}$$

$\left(\frac{\partial \delta r}{\partial r} \right)_{re} \rightarrow$ sidewash factor r , da non confondere con il side wash factor $(1 - \frac{2\delta}{\beta})$
 è dovuto al sistema vorticoso dissimmetrico derivante
 dalla dissimmetria di portanza per effetto di M

$$\Rightarrow \Delta \alpha_r = \underbrace{\frac{rl}{2V}}_{\hat{R}} \left(\frac{2lrv}{b} + \frac{\partial \delta r}{\partial r} \frac{2V}{b} \right) = \hat{R} \left(\frac{2lrv}{b} + \frac{\partial \delta r}{\partial r} \right)$$

Per cui, contributo ale + contributo impennaggio verticale $\Rightarrow C_{sr} > 0$

③ $C_{mr} < 0$ damping derivatives

① Contributo ale \rightarrow Drag semielle $\propto (r+)^\uparrow$
 Drag semielle $\propto (r+)^\downarrow \quad \left. \right\} \Rightarrow (Nr)_{de} < 0$

② Impennaggio verticale $\rightarrow L_v \cdot l_v = (Nr) < 0$

TRATTAZIONE SEMPLIFICATA ROLL-MODE

ψ importante

ψ, β non importanti

Poniamo allora un'equazione di roll-mode, come un moto attorno all'asse di rollio e scrivere dunque un'equazione di equilibrio dinamico attorno ad x :

$$- I_x \dot{\psi} + L_p \dot{\beta} + L_q \dot{\varphi} = 0 \quad (\text{perché comandi bloccati}) \\ = 0, \text{ perché } L_q = 0$$

Per il fatto che il velivolo non obbedisce, non si generano spizzi aerodinamici e il flusso rimane presso-simmetrico.